

26931/H/06



RSF  
629.89  
Tri  
r-1  
2006

FINAL PROJECT - RF1483

# DESIGN AND IMPLEMENTATION OF pH CONTROL USING NEURAL NETWORK BASED TRACKING CONTROL SYSTEM

DENY TRIYATNO  
NRP 2401100072

Advisor Lecturer  
Hendra Cordova, ST. MT.

Department of Engineering Physics  
Faculty of Industrial Technology  
Sepuluh Nopember Institute of Technology  
Surabaya 2006

PERPUSTAKAAN ITS	
Tgl. Terima	15-8-06
Terima Dari	H
No. Agenda Prp.	226395

**TUGAS AKHIR**

**RANCANG BANGUN SISTEM PENGENDALIAN pH  
DENGAN MENGGUNAKAN NEURAL NETWORK  
BERBASIS TRACKING CONTROL SYSTEM**

OLEH:

  
**DENY TRIYATNO**  
NRP. 2401 100 072

**Surabaya, Juli 2006**

**Mengetahui/Menyetujui  
Pembimbing**



**HENDRA CORDOVA, ST, MT**  
NIP. 132 125 672

**Ketua Jurusan  
Teknik Fisika FTI-ITS**

  
  
**DR. Ir. TOTOK SUHARTANTO, DEA**  
NIP. 131 879 399

**RANCANG BANGUN SISTEM PENGENDALIAN pH  
DENGAN MENGGUNAKAN NEURAL NETWORK  
BERBASIS TRACKING CONTROL SYSTEM**

**TUGAS AKHIR**

Diajukan Untuk Memenuhi Salah Satu Syarat  
Memperoleh Gelar Sarjana Teknik  
pada  
Bidang Studi Rekayasa Instrumentasi dan Kontrol  
Program Studi S-1 Jurusan Teknik Fisika  
Fakultas Teknologi Industri  
Institut Teknologi Sepuluh Nopember

Oleh:

**DENY TRIYATNO**  
NRP. 2401100072

Disetujui oleh Tim Penguji Tugas Akhir:

1. Hendra Cordova, ST., MT. .... (Dosen Pembimbing)
2. Gunawan Nugroho, ST., MT. .... (Ketua Tim Penguji)
3. Ir. Ya'umar, MT. .... (Staf Penguji)
4. Ir. Sarwono, MM. .... (Staf Penguji)
5. Fitri Adi Iskandariato, ST. .... (Staf Penguji)

**SURABAYA**  
**JULI, 2006**

# RANCANG BANGUN SISTEM PENGENDALIAN pH DENGAN MENGGUNAKAN NEURAL NETWORK BERBASIS TRACKING CONTROL SYSTEM

**Nama Mahasiswa** : DENY TRIYATNO  
**NRP** : 2401100072  
**Jurusan** : Teknik Fisika  
**Dosen Pembimbing** : HENDRA CORDOVA, ST., MT.

## Abstrak

*pH mempunyai pengaruh pada proses-proses industri, misalnya proses pengolahan farmasi, bioteknologi, proses kimia, serta pemrosesan pembuangan limbah buangan. Salah satu cara untuk mengendalikan pH adalah dengan volumetri atau titrasi dengan menggunakan larutan asam dan larutan basa. Dari data proses titrasi didapatkan kurva titrasi yang nonlinier, karena hubungan yang logaritmik antara harga pH dan volume larutan penetral. Di luar range larutan netral ( $pH = 7$ ) maka gain prosesnya relatif kecil, namun jika didalam range larutan netral maka gain prosesnya sangat besar. Oleh karena itu merupakan salah satu alasan mengapa penggunaan pengendali PID konvensional dapat menimbulkan kegagalan pada suatu sistem pengendaliannya. Pada penelitian ini dirancang sebuah sistem pengendalian pH dengan menggunakan sebuah sistem pengendalian pH dengan menggunakan Neural Network berbasis Tracking Control System. Sistem kontrol yang dikembangkan mampu menghasilkan performansi untuk set point 7 sehingga didapatkan nilai Rise Time ( $T_r$ ) = 20 detik, maksimum overshoot ( $M_p$ ) = 33,72%, Settling Time ( $T_s$ ) = 190 detik dan Error steady state ( $E_{ss}$ ) = 0,8% sedangkan untuk set point 6 didapat nilai performansi sistem yakni  $T_r = 12$  detik,  $M_p = 33,45\%$ ,  $T_s = 146$  detik dan  $E_{ss} = 6,5\%$ .*

**Kata kunci:** Neural Network, nonlinier, pH, Tracking Control



# DESIGN AND IMPLEMENTATION OF pH CONTROL USING NEURAL NETWORK BASED TRACKING CONTROL SYSTEM

**Student's Name** : DENY TRIYATNO  
**NRP** : 2401100072  
**Department** : Engineering Physics  
**Advisor Lecturer** : HENDRA CORDOVA, ST., MT.

## **Abstrak**

*pH has an effect for industrial processes, for example in a pharmaceutical process, biotechnology, chemical process and liquid waste disposal processing process. One of many ways to control pH value is using acid and base volumetric or titration. Non linear titration curve is gotten by titration process, because pH value and neutralizing solution are logarithmic function. Out of neutral solution range (pH=7), the process gain is small relatively, but in neutral solution range the process gain is big. Because of that the reason why PID conventional controller can make mistake in a control system. In this research will design a pH control system using Neural Network controller based Tracking Control System. The control system which has been designed is able to perform a system performance for pH = 7 as a set point as written given Rise Time ( $T_r$ ) = 20 second, maximum overshoot ( $M_p$ )=33,72%, Settling Time ( $T_s$ )=190 second and Error steady state ( $E_{ss}$ ) = 0,8% but for pH = 6 as a set point given a system performance that  $T_r$  = 12 second,  $M_p$  = 33,45%,  $T_s$ =146 second and  $E_{ss}$  = 6,5%.*

**Keyword:** Neural Network, nonlinier, pH, Tracking Control

## KATA PENGANTAR

Segala puji syukur saya panjatkan kehadirat Allah Subhaanahu wa Ta'aala yang telah banyak melimpahkan rahmat, taufiq, hidayah, serta memberi iman dan kesabaran juga shalawat serta salam semoga tetap terlimpah kepada Nabi Besar Muhammad SAW sehingga saya dapat menyelesaikan tugas akhir yang berjudul **“Rancang Bangun Sistem Pengendalian pH Dengan Menggunakan Neural Network Berbasis Tracking Control System”**.

Pada kesempatan ini saya ingin mengucapkan terima kasih yang sebesar-besarnya kepada :

1. Yang tercinta keluarga saya, Ibu Karmi dan Bapak Komiran atas kasih sayangnya serta kesabaran dalam mendidik dan ketulusan dalam do'anya, terima kasih buat adikku, Rita, atas dorongan, sayang dan do'anya.
2. Bapak Dr. Ir. Totok Suhartanto DEA sebagai Ketua Jurusan Teknik Fisika ITS.
3. Bapak Dr. Bambang Lelono W., ST. MT., selaku Dosen Wali yang telah memberikan arahan dan nasehat kepada saya selama menjalani masa perkuliahan.
4. Bapak Hendra Cordova ST. MT., selaku Dosen Pembimbing atas kesabarannya dalam membimbing saya dalam mengerjakan Tugas Akhir hingga saya dapat menyelesaikan tepat pada waktunya.
5. Pihak-pihak yang turut membantu dan mendukung penyelesaian tugas akhir ini.

Saya berharap Tugas Akhir ini dapat memberikan kontribusi yang berarti dan dapat menambah wawasan bagi pembaca dan mahasiswa Teknik Teknik Fisika.

Surabaya, Juli 2006  
Penulis

## DAFTAR ISI

<b>BAB</b>	<b>HALAMAN</b>
LEMBAR JUDUL.....	i
LEMBAR PENGESAHAN.....	ii
ABSTRAK.....	iv
KATA PENGANTAR.....	vi
DAFTAR ISI.....	vii
DAFTAR GAMBAR.....	xi
DAFTAR TABEL.....	xv
DAFTAR NOTASI.....	xvii
I. PENDAHULUAN.....	1
1.1 Latar Belakang Permasalahan.....	1
1.2 Rumusan Permasalahan.....	4
1.3 Batasan Masalah.....	4
1.4 Tujuan.....	5
1.5 Metodologi Penelitian.....	5
1.6 Sistematika.....	6
1.7 Manfaat.....	6
II. TEORI PENUNJANG.....	7
2.1 Teori Dasar pH larutan.....	7
2.2 Kurva Titrasi.....	12
2.3 Sistem Pengukuran dan Sensor pH.....	15
2.4 Penguat Instrumentasi.....	27
2.5 ADC (Analog To Digital Converter).....	28

2.6 Port Paralel .....	30
2.7 Jaringan Syaraf Tiruan .....	33
2.7.1 Konsep Proses Belajar JST .....	37
2.7.2 Arsitektur Jaringan Syaraf Tiruan .....	39
2.7.3 Algoritma Belajar Jaringan Syaraf Tiruan Tiga Lapis Umpan Maju .....	40
2.7.4 Algoritma Pembelajaran dengan <i>Error</i> <i>Backpropagation</i> .....	42
2.7.5 Adaptasi Bobot-bobot pada Lapisan Output .....	44
2.7.6 Adaptasi Vektor Bobot pada Lapisan Tersembunyi .....	46
2.8 Jaringan Syaraf Tiruan pada Sistem Pengendalian .....	49
III. PERANCANGAN PERANGKAT KERAS DAN PERANGKAT LUNAK .....	53
3.1 Perancangan Perangkat Keras .....	53
3.1.1 Rangkaian Pengkondisi Sinyal .....	54
3.1.2 Analog To Digital Converter (ADC) .....	55
3.1.3 Rangkaian Eksternal Paralel Port .....	57
3.1.4 Driver Motor .....	59
3.2 Perancangan Perangkat Lunak .....	61
3.2.1 Pelatihan JST <i>Backpropagation</i> .....	61
3.2.2 Sistem Pengendalian .....	62
IV. PENGUJIAN DAN ANALISA .....	65
4.1 Pengujian Perangkat Keras .....	65
4.1.1 Pengukuran Sensor pH .....	65
4.1.2 Pengukuran dan Pengujian Rangkaian Pengkondisi Sinyal .....	67
4.1.3 Pengukuran dan Pengujian ADC .....	69
4.1.4 Pengujian Control Valve .....	69
4.1.5 Pengujian Rangkaian Eksternal Port Paralel .....	71
4.2 Uji Open Loop .....	72
4.3 Parameter JST .....	73
4.4 Sistem Pengendalian pH dengan Menggunakan Jaringan Syaraf Tiruan .....	77
V. KESIMPULAN DAN SARAN .....	79
5.1 Kesimpulan .....	79
5.2 Saran .....	79
DAFTAR PUSTAKA .....	
LAMPIRAN A Listing Program JST Training .....	A-1
LAMPIRAN B Listing Program Validasi JST .....	B-1



LAMPIRAN C Listing Program Tes ADC dan JST Controller	C-1
LAMPIRAN D Listing Program Unit_IO dan Unit_Motor_Positioner .....	D-1
LAMPIRAN E Data Training .....	E-1
LAMPIRAN F Data Hasil Training Dan Validasi .....	F-1
LAMPIRAN G Blok Diagram Sistem Pengendalian pH Dan Fungsi Transfer .....	G-1
LAMPIRAN H Grafik Uji Tracking Set Point .....	H-1
LAMPIRAN I Gambar Komponen Miniplant Sistem Pengendalian pH .....	I-1
LAMPIRAN J Pembuatan Larutan Asam Dan Larutan Basa	J-1

## DAFTAR GAMBAR

GAMBAR	HALAMAN
Gambar 2.1: Kurva Titration untuk Asam Kuat dan Basa Kuat (Doherty, 1999) . . . . .	14
Gambar 2.2 : Grafik hubungan tegangan keluaran elektrode Terhadap variasi temperatur (Yien, 2001) . . .	18
Gambar 2.3 : Elektroda Gelas (Yien, 2001) . . . . .	21
Gambar 2.4 : Skematik aliran $H^+$ pada membran elektroda	23
Gambar 2.5 : Elektroda Referensi (Yien, 2001) . . . . .	24
Gambar 2.6 : Elektroda Kombinasi (Yien, 2001) . . . . .	25
Gambar 2.7 : Rangkaian Ekuivalen elektroda kombinasi . .	27
Gambar 2.8 : Rangkaian Penguat Sederhana (Curtis, 1997)	27
Gambar 2.9 : ADC Successive Approximation (Datasheet ADC0804 National Semiconductor) . . . . .	29
Gambar 2.10 : Pin-pin pada konektor D-tipe 25 (www.senet.com.au/~cpeacock) . . . . .	31
Gambar 2.11: Rangkaian Eksternal dengan IC 74LS151 (Datasheet SN54/74LS151 Motorola) . . . . .	33
Gambar 2.12 : Model Syaraf Tiruan (Freeman, 1992) . . . .	34
Gambar 2.13 : Fungsi Aktivasi (Kusumadewi, 2003) . . . .	37
Gambar 2.14 : Belajar dengan Pengawasan . . . . .	38
Gambar 2.15 : Belajar tanpa Pengawasan . . . . .	38

Gambar 2.16 : Arsitektur JST FeedForward Backpropagation (Rumelhart et al., 1985) .....	41
Gambar 2.17 : Tiga Lapis Arsitektur Jaringan Syaraf Metode belajar Backpropagation .....	42
Gambar 2.18 : Jaringan Syaraf Tiruan digunakan sebagai Identifikasi dan pengendali .....	50
Gambar 2.19 : Diagram Blok Aplikasi Neural Network Tracking Controller (Tai, Wang, Ashenayi, 1992) .....	51
Gambar 2.20 : Konsep pembelajaran dengan pendekatan Fungsi $u=f(error)$ .....	51
Gambar 3.1 : Skema perangkat keras Miniplant Sistem Pengendalian pH .....	53
Gambar 3.2 : Miniplant Sistem Pengendalian pH .....	54
Gambar 3.3 : Rangkaian Pengkondisi Siyal .....	55
Gambar 3.4 : Rangkaian ADC (National Semiconductor, 1999) .....	56
Gambar 3.5 : Rangkaian Eksternal Paralel Port .....	58
Gambar 3.6 : Rangkaian Driver Motor .....	60
Gambar 3.7 : Control Valve Miniplant Pengendalian pH ...	60
Gambar 3.8 : Blok Diagram Sistem Pengendalian pH. ....	61
Gambar 3.9 : Flowchart proses pelatihan (Laurence, 1994)	62
Gambar 3.10 : Tampilan Perangkat Lunak Sistem Pengendalian pH .....	63
Gambar 3.11 : Flowchart Program Kontroller .....	63
Gambar 4.1 : Grafik Output Sensor pH .....	66
Gambar 4.2 : Grafik Kelinieritasan Pengkondisi Sinyal ...	68
Gambar 4.3 : Grafik Respon Laju Aliran Terhadap Bukaannya Valve. ....	70
Gambar 4.4 : Grafik Uji Open Loop .....	72
Gambar 4.5 : Grafik Hasil Pembelajaran JST .....	75
Gambar 4.6 : Grafik Data Target untuk Validasi Model JST	75
Gambar 4.7 : Grafik Output model hasil validasi model JST	75
Gambar 4.8 : Grafik Respon Sistem secara online untuk Set point pH = 7 .....	77

Gambar 4.9 : Grafik sinyal kontrol secara online untuk Set point pH = 7. ....	77
Gambar 4.10 : Grafik Respon Sistem secara online untuk Set point pH = 6 ....	78
Gambar 4.11 : Grafik sinyal kontrol secara online untuk Set point pH = 6 ....	78



## DAFTAR TABEL

TABEL	HALAMAN
Tabel 2.1: Hubungan ion hidrogen dan ion hidroksida terhadap Nilai pH ( <a href="http://www.sensorex.com">www.sensorex.com</a> ) . . . . .	14
Tabel 2.2: Error pada Elektroda oleh pengaruh temperatur ( <a href="http://www.Sensorex.com">www.Sensorex.com</a> ) . . . . .	19
Tabel 2.3: Alamat Port Paralel ( <a href="http://www.senet.com.au">www.senet.com.au</a> ) . . . . .	31
Tabel 2.4: Fungsi tiap pin konektor D-Type 25 Paralel Port ( <a href="http://www.senet.com.au">www.senet.com.au</a> ) . . . . .	32
Tabel 2.5: Algoritma belajar, arsitektur dan aplikasinya . . .	40
Tabel 2.6: Tabel Keterangan untuk Gambar 2.17 . . . . .	43
Tabel 3.1: Tabel Kebenaran Multiplexer 74LS151 . . . . .	59
Tabel 4.1: Hasil Pengukuran Output Sensor pH . . . . .	64
Tabel 4.2: Hasil pengujian dan kalibrasi pengkondisi sinyal	67
Tabel 4.3: Hasil pengukuran bukaan valve terhadap flow . .	70
Tabel 4.4: Hasil pengujian rangkaian eksternal paralel port	71
Tabel 4.5: Nilai bobot dan bias hasil pembelajaran JST . . .	76

## DAFTAR NOTASI

- $E_x$  : konstanta tergantung elektroda referensi  
 $R$  : konstanta  
 $TK$  : temperatur absolut (Kelvin)  
 $n$  : muatan ion  
 $F$  : konstanta  
 $a_i$  : aktivitas ion  
 $R_\theta$  : resistansi pada suhu  $\theta$   
 $R_{\theta_1}$  : resistansi pada suhu referensi ( $289^\circ\text{K}$ )  
 $\beta$  : konstanta termistor  
 $\theta$  : suhu ( $^\circ\text{Kelvin}$ )  
 $E_g$  : Beda potensial total elektroda gelas  
 $E_o$  : Beda potensial pada elektroda gelas yang besarnya konstan  
 $T$  : Temperatur ( $^\circ\text{K}$ ) , dimana pada  $0^\circ\text{C} = 273^\circ\text{K}$

# BAB I

## PENDAHULUAN

### 1.1 Latar Belakang Permasalahan

pH adalah besaran yang secara kualitas digunakan untuk menentukan konsentrasi ion hidrogen pada suatu larutan. Besarnya pH mempunyai pengaruh pada proses-proses industri, misalnya proses pengolahan farmasi, bioteknologi, proses kimia, serta pemrosesan pembuangan limbah buangan. Salah satu cara untuk mengendalikan pH adalah dengan volumetri atau titrasi menggunakan larutan asam basa. pH biasa dinyatakan sebagai negatif logaritma konsentrasi ion hidrogen dan dapat digambarkan dalam kurva titrasi berbentuk 'S'. Karena nonlinieritas dari logaritma tersebut maka besar penguatannya adalah 10 kali untuk setiap kenaikan atau penurunan satu unit nilai pH. Titik dimana besar antara konsentrasi larutan asam dan larutan basa adalah sama, maka titik tersebut dinamakan titik ekuivalen ( $\text{pH}=7$ ). Sehingga untuk larutan asam kuat dan basa kuat pada titik ekuivalen gain prosesnya sangat tinggi, artinya bahwa dengan sedikit penambahan atau pengurangan larutan titrasi pada nilai pH sekitar 7 maka pengaruh terhadap perubahan harga pH sangat besar. Sehingga merupakan salah satu alasan mengapa penggunaan pengendali PID konvensional dapat menimbulkan kegagalan pada suatu sistem pengendaliannya.

Oleh karena itu dibutuhkan pengendali yang dapat belajar (*learn*) bagaimana mengatasi hubungan yang logaritmik antara harga pH dengan volume larutan titrasinya (Sean, 1999). Salah satu tipe pengendali yang dapat belajar adalah pengendali berbasis jaringan syaraf tiruan (*Artificial Neural Network*) disingkat JST. Selain itu alasan penting penggunaan JST sebagai pengendali adalah bahwa JST dapat digunakan untuk mengatasi model yang sangat kompleks, nonlinier serta fungsi-fungsi yang

multi-dimensional. Khususnya kemampuan dalam penentuan arsitektur jaringan syaraf, misalnya jaringan dengan banyak lapisan (*multi-layered perceptron*) yang telah dibuktikan untuk pemetaan variabel-variabel proses yang nonlinier (Cybenko, 1989; Hornick et al., 1989).

Konsep belajar pada JST mencontoh kemampuan belajar otak manusia, sehingga penurunan matematis (model) JST mengacu pada mekanisme serta susunan otak. Sebuah model otak menghubungkan beberapa model syaraf linier atau nonlinier yang diproses dalam bentuk distribusi paralel, sehingga komputasinya lebih cepat. Selain itu JST mempunyai kemampuan seperti pembelajaran dan pengorganisasian diri, sehingga JST dapat beradaptasi terhadap perubahan data, belajar karakteristik sinyal masukan dan memetakan terhadap keluaran. Jika terdapat presentasi input yang baru setelah pembelajaran dilakukan, JST akan melakukan generalisasi untuk memberi output yang sesuai. Hal ini yang mendasari dipakainya pengendali berbasis JST. Untuk merancang pengendali ini terlebih dahulu dibentuk model jaringan berdasarkan identifikasi proses yang dikendalikan. Selanjutnya berdasarkan model jaringan ini (*neural network model*) yang mewakili sistem yang sebenarnya, dirancang pengendali JST (*neurocontroller*). Jadi terdapat dua langkah yang diperlukan untuk membentuk model dan pengendali, dimana masing-masing mekanisme biasanya memakai pembelajaran rambat mundur kesalahan (*error back-propagation*). Bila rentang masukan-keluaran sistem besar dan nonlinier, maka pembelajaran akan membutuhkan waktu komputasi yang lama. Selain itu bila karakteristik dinamik berubah dari yang telah dipelajarinya (misal tidak ada di rentang input-output), maka harus dilakukan pembelajaran ulang untuk kondisi yang berubah tersebut.

Sejumlah peneliti telah memperkenalkan skema baru yang tidak memerlukan pembelajaran sistem dinamika balik sistem (*inverse dynamic system*) atau identifikasi. Skema tersebut berdasarkan bahwa tujuan utama semua teori maupun aplikasi



perancangan sistem pengendalian adalah menentukan aksi kendali yang sesuai (*proper*) agar performansi sistem seperti yang diinginkan, artinya jika pengetahuan aksi kontrol cukup, maka secara eksplisit tidak diperlukan pembelajaran dinamika balik sistem oleh JST. Pembelajaran dilakukan hanya menggunakan dua kumpulan data yaitu *error e* dan *aksi kendali u* yang sesuai. Jadi waktu yang diperlukan untuk belajar akan lebih singkat dan pengendali akan lebih kokoh terhadap perubahan parameter maupun sinyal referensi sistem yang dikendalikan (Tai, Wang, Ashenayi, 1992).

Beberapa peneliti telah melakukan sebuah penelitian tentang sistem pengendalian pH, yakni rancang bangun sistem pengendalian proses netralisasi pH berbasis PC (Rasiawan, 2002), namun masih banyak terdapat beberapa kelemahan, diantaranya adalah bahwa mode kontrol yang digunakan hanya PID konvensional sehingga tidak mampu mengatasi karakteristik sistem yang nonlinier. Metode lain yang telah dilakukan adalah perancangan controller PID self tuning berbasis jaringan syaraf tiruan pada proses netralisasi pH (Andry F., 2004). Controller yang digunakan pada penelitian tersebut telah mampu menunjukkan performa yang lebih baik untuk *risetime*, *time settling* dan *maksimum overshoot* jika dibandingkan dengan pengendali yang hanya terdiri dari PID saja. Namun pada penelitian tersebut hanya diimplementasikan secara *offline* sehingga belum dapat diketahui kehandalan controller jika diimplementasikan secara *online*.

Beranjak dari permasalahan seperti tersebut diatas, penelitian ini mencoba untuk merancang dan mengimplementasikan sebuah sistem pengendalian proses yang nonlinier sehingga diharapkan mampu mengatasi karakteristik dari proses di *miniplant* sistem pengendalian pH berdasar *artificial neural network* berbasis *Tracking Control System* dengan skema baru yang diperkenalkan oleh Tai (Tai, Wang, Ashenayi, 1992). Berdasar hasil penelitian yang dilakukan oleh Tai bahwa istilah *Neural*

*Network* berbasis *Tracking Control System* dapat didefinisikan sebagai suatu jaringan syaraf tiruan yang berfungsi sebagai *classifier* antara set point dan sinyal kontrol sehingga diharapkan sinyal keluaran dari plant mampu dikendalikan agar dapat mencapai nilai sinyal masukan referensi (*set-point*) yang diberikan.

## 1.2 Rumusan Permasalahan

Masalah yang diangkat dalam penelitian ini adalah bagaimana mengendalikan pH dan mengimplementasikan metode *Neural Network* yang berbasis *Tracking Control System* pada *miniplant* sistem pengendalian pH.

## 1.3 Batasan Masalah

Batasan masalah yang digunakan dalam pelaksanaan tugas akhir ini adalah sebagai berikut:

- Metode kontrol yang digunakan adalah *Neural Network* dengan arsitektur umpan maju dengan kaidah belajar propagasi balik berbasis *Tracking Control System*.
- Level tangki titrasi dijaga konstan.
- Pengaruh suhu dikompensasi oleh rangkaian kompensator suhu.
- Variabel yang dikendalikan adalah nilai pH larutan pada tangki reaksi, sedangkan yang dimanipulasi adalah laju aliran larutan basa.
- Plant yang dikendalikan merupakan proses dengan satu masukan dan satu keluaran, yakni nilai pH yang terukur pada tangki reaksi sebagai masukan dan besarnya laju aliran larutan basa sebagai keluaran.

- Variabel Proses yang dikendalikan dibatasi antara range pH=6 sampai dengan pH=8.

#### 1.4 Tujuan

Tujuan dalam melakukan penelitian ini adalah untuk merancang dan membuat sistem pengendalian pH dengan metode *neural network* berbasis *tracking control system*.

#### 1.5 Metodologi Penelitian

Metodologi yang direncanakan untuk pelaksanaan pengerjaan penelitian ini adalah sebagai berikut:

- Studi literatur mengenai *Neural Network* (Algoritma pelatihan propagasi balik), Hardware (Akuisisi data yang meliputi Rangkaian Pengkondisi Sinyal ADC, DAC, Control valve dan plant itu sendiri), interfacing komputer dengan plant, dan pemrograman menggunakan Delphi 7.0.
- Mempelajari proses pengendalian pH yang ada di-plant (control valve, transmitter, tanki dll).
- Perancangan miniplant sistem pengendalian pH baik *hardware* maupun *software* berdasarkan hasil studi literatur yang telah dilakukan
- Mengaplikasikan perancangan hardware dan software ke *miniplant* melalui hubungan antarmuka menggunakan komputer dengan port parallel.
- Melakukan pengujian dan analisa sistem yang telah dirancang dan diimplementasikan baik *software* maupun *hardware*-nya.
- Penyusunan laporan dan buku tugas akhir.



### 1.6 Sistematika

Pada penelitian ini dibuat laporan dengan sistematika laporan sesuai petunjuk yang dipakai untuk penulisan laporan tugas akhir yang terdiri dari : Bab I pendahuluan yang berisi latar belakang, permasalahan, tujuan, batasan masalah, metodologi penelitian, sistematika laporan dan manfaat. Pada bab II teori penunjang berisi materi yang menunjang keberhasilan dalam menyelesaikan permasalahan dan menunjang tercapainya tujuan yang diharapkan pada penelitian ini. Bab III adalah desain rancangan beserta pertimbangan yang dipergunakan dalam rancangan sistem. Bab IV Pengujian dan analisa data hasil pengujian. Kesimpulan dan saran yang merupakan bab V, berisi keseluruhan hasil akhir penelitian dan memberikan saran atau masukan yang berhubungan dengan penelitian ini.

### 1.7 Manfaat

Manfaat yang diperoleh dari hasil penelitian ini adalah untuk mengetahui karakteristik pengendali jika diimplementasikan pada sistem pengendalian proses yang nonlinier yakni pengendalian pH.



## BAB II

### TEORI PENUNJANG

Bab ini akan menjelaskan tentang reaksi larutan asam kuat dan larutan basa kuat, ketetapan kesetimbangan, yang berkaitan dengan penetralan pH, *Neural Network*, yang meliputi algoritma belajar, *Neural Network feedforward*, dan metode belajar *backpropagation* serta perhitungan *error* pada *Neural Network*.

#### 2.1 Teori Dasar pH Larutan

Proses penetralan harga pH memerlukan pengetahuan beberapa aspek kimia pada proses tersebut. Dua yang terpenting untuk diketahui adalah teori tingkah laku terjadinya reaksi dan perubahan harga pH terhadap beberapa masukan pelarut untuk menjaga harga pH yang ingin diatur. Atau yang lebih khusus adalah penurunan model kurva titrasi pH terhadap larutan yang bersifat asam atau basa. Pada subbab ini teori tentang konstanta kecepatan reaksi tidak dibahas terlalu detail, hanya diturunkan untuk mencari pengaruh konstanta ini terhadap kecepatan reaksi penetralan.

Larutan adalah campuran yang serba sama (homogen) antara zat terlarut dan zat pelarut. Zat terlarut biasanya jumlahnya lebih kecil dibandingkan dengan pelarut. Konsentrasi zat terlarut di dalam larutan berhubungan dengan sifat koligatif larutan, dan dapat dinyatakan dengan beberapa satuan konsentrasi yaitu:

- ✓ Molaritas (mol/l)
- ✓ Molalitas (mol/l kg pelarut)
- ✓ Fraksi mol
- ✓ Normalitas (gr ekuivalen/l)

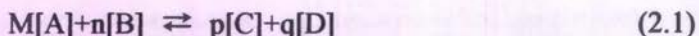
- ✓ Persentase (%)

Sifat koligatif juga dapat didefinisikan sebagai sifat-sifat larutan yang hanya bergantung pada jumlah partikel zat terlarut di dalam larutan tanpa di pengaruhi sifat-sifat kimia zat terlarut, meliputi:

- ✓ Penurunan tekanan uap jenuh
- ✓ Kenaikan titik didih
- ✓ Penurunan titik Beku
- ✓ Tekanan osmotik

Salah satu konsentrasi yang berhubungan dengan teori pH adalah normalitas yaitu jumlah gram ekivalen (grek) zat terlarut dalam tiap 1 liter larutan atau jumlah mgram-ekivalen (mgrek) zat terlarut dalam tiap 1 ml larutan (1 grek=1000 mgrek). Satuan ini nantinya banyak digunakan untuk menentukan konsentrasi larutan asam atau larutan basa dan ion yang terdapat dalam larutan (1 grek asam  $\sim$  1mol  $H^+$  dan 1 grek basa  $\sim$  1 mol  $OH^-$ ).

Teori pendukung yang harus dijelaskan terlebih dahulu sebelum membahas terlalu jauh adalah hukum kesetimbangan reaksi. Hukum kesetimbangan reaksi dapat dinyatakan dengan persamaan 2.1,



dengan [A], [B], [C] dan [D] adalah konsentrasi zat-zat A, B, C dan D saat kesetimbangan, (m, n, p dan q) adalah koefisien-koefisien reaksi dari zat A, B, C dan D, maka konstanta kesetimbangan  $K$  dapat dinyatakan sebagai:

$$K = \frac{[C]^p [D]^q}{[A]^m [B]^n} \quad (2.2)$$

Besarnya konsentrasi produk yang dihasilkan pada suatu reaksi yang berjalan dalam kesetimbangan bergantung pada besar kecilnya harga  $K$ . Apabila  $K$  besar berarti konsentrasi zat-zat produk yang dihasilkan lebih banyak dibandingkan konsentrasi zat-zat reaktan (yang tersisa setelah reaksi kesetimbangan), dan sebaliknya.

Asam menurut teori Arrhenius adalah zat yang dapat menaikkan konsentrasi ion  $H^+$  atau  $H_3O^+$  didalam larutan. Ion  $H_3O^+$  disebut ion hidronium, terjadi dari ikatan kovalen koordinasi antara ion  $H^+$  yang dilepaskan suatu asam dan molekul air yang bertindak sebagai pelarut. Notasi [ ] menyatakan suatu konsentrasi. Konsentrasi air ( $H_2O$ ) dalam hal ini tetap bertindak sebagai pelarut dan berharga 1. Menurut teori yang sama, maka Basa adalah suatu zat yang dapat menaikkan konsentrasi ion  $OH^-$  (hidroksida) di dalam air.

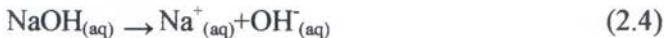
#### *Contoh asam*

HCl adalah suatu zat asam karena di dalam larutannya dapat melepas ion  $H^+$  menurut reaksi:



#### *Contoh basa*

NaOH adalah suatu zat basa karena di dalam air dapat melepas ion  $OH^-$  di dalam air menurut reaksi:



Pemahaman tentang tetapan kesetimbangan yang dihubungkan dengan konsentrasi reaksi HCl dan NaOH adalah sebagai berikut:

✓ HCl

$$K_a = [H^+][Cl^-]/[HCl] \text{ atau } K_a = [H_3O^+][Cl^-]/[HCl] \quad (2.5)$$

✓ NaOH

$$K_b = [Na^+][OH^-]/[NaOH] \quad (2.6)$$





Bila harga  $K_a$  makin besar berarti kesetimbangan bergeser ke arah kanan, berarti hasil ionisasi besar. Dengan demikian asam ini bersifat asam kuat dan sebaliknya bila harga  $K_a$  semakin kecil asam tersebut bersifat asam lemah. Bila harga  $K_b$  semakin besar berarti kesetimbangan bergeser ke arah kanan, berarti hasil ionisasi besar. Dengan demikian basa ini bersifat basa kuat dan sebaliknya bila harga  $K_b$  semakin kecil basa tersebut bersifat basa lemah. Sedangkan tetapan kesetimbangan untuk air diturunkan dengan persamaan reaksi 2.7:



sehingga mempunyai konstanta kesetimbangan:

$$K_c = \frac{[\text{H}^+][\text{OH}^-]}{[\text{H}_2\text{O}]} \text{ atau } K[\text{H}_2\text{O}] = [\text{H}^+][\text{OH}^-] \quad (2.8)$$

karena air sebagai pelarut, maka harga  $[\text{H}_2\text{O}]$  selalu tetap dengan demikian  $K[\text{H}_2\text{O}]$  adalah tetapan juga. Tetapan ini sering disebut sebagai konstanta kesetimbangan air dan dinyatakan sebagai:

$$K_w = [\text{H}^+][\text{OH}^-] \quad (2.9)$$

Dengan perhitungan yang teliti harga  $K_w$  dapat ditentukan besarnya bergantung pada suhu saat pengukuran. Harga  $K_w$  yang digunakan biasanya adalah  $1 \times 10^{-14}$  di dalam suhu kamar  $25^\circ\text{C}$ . Semakin besar suhunya maka harga  $K_w$  semakin besar pula.

Ion adalah partikel-partikel bermuatan yang bergerak didalam pelarut polar. Karena termuati, kehadirannya membentuk sebuah potensial listrik dan jika mengalir akan membentuk aliran arus. Setiap larutan polar dalam suatu reaksi kimia mempunyai satu atau lebih ion dan jika digunakan untuk ionisasi akan membentuk dua partikel bermuatan yang saling berlawanan. Sebagai contoh air terbagi menjadi ion hidrogen dan ion hidroksida. Berdasarkan sedikit keterangan tersebut, maka bila



diinginkan untuk membentuk sistem kontrol reaksi kimia, langkah pertama yang harus dilakukan adalah pengukuran potensial listrik untuk ion-ion tersebut. Secara apriori di asumsikan bahwa partikel yang akan diamati adalah ion  $H^+$ , maka hubungan matematis untuk menerangkan logaritma adalah penggunaan notasi  $p$  untuk *potenz* yang berarti pangkat atau eksponen, konsep tersebut telah dikemukakan oleh kimiawan dari Denmark bernama Sorensen (1909), sehingga dalam  $pH$  dapat ditulis seperti persamaan

$$pH \equiv -\log a_{H^+} \quad (2.10)$$

dimana  $a_{H^+}$  adalah aktivitas ion hidrogen dan dinyatakan dalam satuan normalitas (g-ion/liter). Persamaan 2.11 dapat ditulis sebagai:

$$a_{H^+} = 10^{-pH} \quad (2.11)$$

Persamaan 2.10 dan 2.11 adalah persamaan umum untuk suatu unsur, maka bila dihubungkan dengan ukuran kekuatan asam atau basa,  $pH$  adalah logaritma negatif konsentrasi  $H^+$  dinyatakan

$$pH = \log(1/[H^+]) = -\log [H^+] \quad (2.12)$$

atau,

$$[H^+] = 10^{-pH} \quad (2.13)$$

Semakin kecil harga  $pH$  maka keasaman suatu larutan semakin besar atau kebasaaan suatu larutan semakin kecil. Sebaliknya semakin besar harga  $pH$  maka keasaman suatu larutan semakin kecil atau kebasaaan suatu larutan semakin besar. Analogi dengan besaran  $pH$ , maka besaran lain seperti  $[OH^-]$ ,  $K_w$ ,  $K_a$  dan  $K_b$  dapat dinyatakan sebagai  $pOH$ ,  $pK_w$ ,  $pK_a$  dan  $pK_b$ , sehingga dapat dinyatakan:

$$\text{pOH} = -\log [\text{OH}^-] \quad (2.14)$$

$$\text{pK}_w = -\log K_w \quad (2.15)$$

$$\text{pK}_a = -\log K_a \quad (2.16)$$

$$\text{pK}_b = -\log K_b \quad (2.17)$$

Hubungan pH, pOH dan  $\text{pK}_w$  dapat dicari dengan cara sebagai berikut:

$$K_w = [\text{H}^+][\text{OH}^-] = 10^{-14}$$

$$\log K_w = \log[\text{H}^+] + \log[\text{OH}^-] = \log 10^{-14} = -14$$

$$-\log K_w = -\log[\text{H}^+] + -\log[\text{OH}^-] = -\log 10^{-14} = 14$$

$$\text{pK}_w = \text{pH} + \text{pOH} = 14 \quad (2.18)$$

sehingga  $\text{pK}_w = \text{pH} + \text{pOH}$  dan  $\text{pH} + \text{pOH} = 14$ . Dengan demikian bila harga  $\text{pH} = \text{pOH}$  sama dengan 7 dikatakan larutan itu netral karena konsentrasi ion  $\text{H}^+$  sama dengan ion  $\text{OH}^-$ . Pada pH lebih kecil dari 7 dikatakan larutan itu bersifat asam dan bila lebih besar dari 7 dikatakan larutan tersebut bersifat basa.

## 2.2 Kurva Titrasi

Subbab ini membahas lebih jauh tentang pengaruh perubahan larutan asam atau basa terhadap harga pH nya. Setiap penambahan pereaksi akan mengakibatkan perubahan harga pH. Suatu grafik yang diperoleh dengan mengeluarkan pH terhadap volume (konsentrasi) pereaksi yang ditambahkan disebut kurva titrasi. Bentuk kurva titrasi ini merelasikan konstanta

kesetimbangan ionisasi asam atau basa dan konsentrasi tiap-tiap ion. Pengukurannya memakai rumusan-rumusan pH yang telah dijelaskan sebelumnya. Dalam sistem pengendalian banyak dijumpai bahwa objektifitasnya adalah untuk mendapatkan kesetimbangan antara larutan asam dan larutan basa. Pembentukan kurva tersebut bergantung pada tipe-tipe pelarutnya apakah termasuk dalam kategori asam kuat atau lemah dan sebaliknya untuk basa. Larutan kuat (*'strong'*) didefinisikan dengan disosiasi lengkap dari hidrogen dan hidroksidanya. Sedangkan larutan lemah (*"weak"*) sedikit sekali bagian yang terionisasi. Sehingga konsentrasi ion hidrogen dari asam lemah mempunyai fraksi yang kecil dari total konsentrasi basa. Untuk menghitung konsentrasi ion hidrogen dari campuran asam kuat dan basa kuat dicari terlebih dahulu kontribusinya terhadap air.

Dalam pembahasan ini digunakan contoh reaksi antara NaOH dan HCl. Keduanya pada dasarnya terionisasi secara lengkap.

Ionisasi reaksi tersebut ditulis:



Jumlah dari semua muatan negatif dan positif harus sama, maka

$$[\text{Na}^+] + [\text{H}^+] = [\text{Cl}^-] + [\text{OH}^-] \quad (2.20)$$

Dengan mengasumsikan terjadi ionisasi lengkap dari kedua asam dan basa, maka  $[\text{Na}^+]$  harus sama dengan konsentrasi basa  $x_B$  dan  $[\text{Cl}^-]$  konsentrasi dari asam  $x_A$  sebagai berikut

$$x_B + [\text{H}^+] = x_A + [\text{OH}^-] \quad (2.21)$$

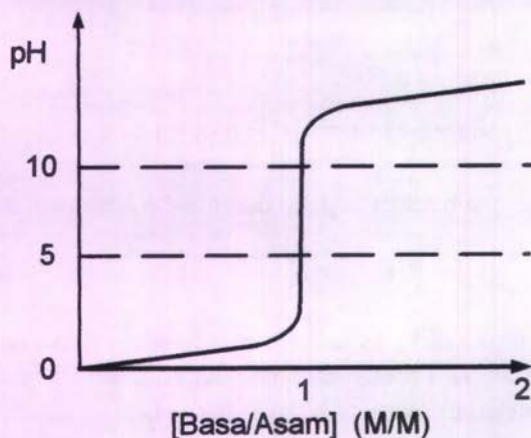
Hubungan  $[H^+]$  dan  $[OH^-]$  menurut persamaan 2.21 dengan mensubstitusikan  $[OH^-]$  dari persamaan 2.18 didapat,

$$x_B \cdot x_A = [H^+] \cdot 10^{-14} / [H^+] \quad (2.22)$$

Persamaan 2.22 diatas dapat digunakan untuk mencari hubungan konsentrasi asam basa terhadap harga pH berikut,

$$x_B \cdot x_A = 10^{-pH} \cdot 10^{-14} \quad (2.23)$$

Pengukuran pH dilakukan dengan mengukur secara selektif aktifitas dari ion Hidrogen menggunakan elektroda pH berimpedansi tinggi. pH merupakan fungsi logaritma, yaitu perubahan satu unit pH merepresentasikan perubahan sepuluh unit konsentrasi ion Hidrogen. Tabel 2.1 menunjukkan hitungan antara kedua konsentrasi ion Hidrogen dan ion Hidroksida terhadap nilai pH. Persamaan 2.23 dapat digunakan untuk mencari kurva titrasi yang dapat dilihat seperti pada gambar 2.1



Gambar 2.1 Kurva Titrasi Untuk Asam Kuat dan Basa Kuat (Doherty, 1999)



Tabel 2.1 Hubungan ion Hidrogen dan ion Hidroksida terhadap nilai pH (www.sensorex.com)

Konsentrasi ion Hidrogen (mol/liter pada suhu 25C)		
pH	H <sup>+</sup>	OH <sup>-</sup>
0	(10 <sup>0</sup> ) = 1	(10 <sup>-14</sup> ) = 0,000000000000001
1	(10 <sup>-1</sup> ) = 0.1	(10 <sup>-13</sup> ) = 0,000000000000001
2	(10 <sup>-2</sup> ) = 0.01	(10 <sup>-12</sup> ) = 0,000000000000001
3	(10 <sup>-3</sup> ) = 0.001	(10 <sup>-11</sup> ) = 0,000000000000001
4	(10 <sup>-4</sup> ) = 0.0001	(10 <sup>-10</sup> ) = 0,000000000000001
5	(10 <sup>-5</sup> ) = 0.00001	(10 <sup>-9</sup> ) = 0,000000000000001
6	(10 <sup>-6</sup> ) = 0.000001	(10 <sup>-8</sup> ) = 0,000000000000001
7	(10 <sup>-7</sup> ) = 0.0000001	(10 <sup>-7</sup> ) = 0,000000000000001
8	(10 <sup>-8</sup> ) = 0.00000001	(10 <sup>-6</sup> ) = 0,000000000000001
9	(10 <sup>-9</sup> ) = 0.000000001	(10 <sup>-5</sup> ) = 0,000000000000001
10	(10 <sup>-10</sup> ) = 0.0000000001	(10 <sup>-4</sup> ) = 0,0001
11	(10 <sup>-11</sup> ) = 0.00000000001	(10 <sup>-3</sup> ) = 0,001
12	(10 <sup>-12</sup> ) = 0.000000000001	(10 <sup>-2</sup> ) = 0,01
13	(10 <sup>-13</sup> ) = 0.0000000000001	(10 <sup>-1</sup> ) = 0,1
14	(10 <sup>-14</sup> ) = 0.000000000000001	(10 <sup>0</sup> ) = 1

### 2.3 Sistem Pengukuran dan Sensor pH

Sistem pengukuran pH terdiri dari tiga bagian yaitu: sensor pH (elektroda pengukur, elektroda referensi, dan sensor temperatur), preamplifier dengan impedansi input tinggi, dan analiser atau transmitter. Elektroda pH dapat digunakan dengan tegangan catu atau tanpa tegangan catu. Jika menggunakan tegangan catu, maka tegangan positif dihubungkan pada elektroda pengukur sedangkan tegangan negatif dihubungkan pada elektroda referensi. Elektroda pengukur yang sensitif terhadap ion Hidrogen menghasilkan tegangan yang besarnya sesuai konsentrasi ion Hidrogen dalam larutan. Elektroda

referensi menghasilkan tegangan yang stabil dan akan dibandingkan dengan potensial elektroda pengukur. Elektroda pH dapat dicatu dengan tegangan yang bervariasi tergantung pada pH dari larutan yang diukur. Impedansi dari keluaran elektroda pH adalah sangat tinggi sehingga untuk mengukur nilai pH diperlukan penguat yang mempunyai impedansi sama atau lebih tinggi.

Sensor pH digunakan pada sistem pengendalian pH, yang mana sensor dan *transmitter* yang digunakan adalah elektrode gelas. Elektrode gelas terbuat dari lapisan gelas yang dapat merespon ion, sehingga dapat menangkap perubahan pergerakan ion dalam struktur membran. Elektrode yang konvensional mempunyai tiga komponen utama, yaitu: membran elektrode, larutan pengisi bahan dalam dan elektrode referensi. Lapisan elektrode bercampur dengan badan gelas, sehingga lapisan luar akan berinteraksi dengan proses, sedangkan lapisan dalam berinteraksi dengan larutan pengisi. Larutan pengisi berisi ion hidrogen dengan aktivitas konstan sedangkan proses juga berisi ion dengan aktivitas yang tidak diketahui. Perubahan tersebut dapat diukur dengan adanya hubungan elektrik yang stabil dengan larutan didalamnya. Perubahan potensial pada membran sebanding dengan perubahan pH dalam proses.

Beberapa elektrode menggunakan sistem ion metal – metal, misalnya merkuri yang terkandung dalam *mercury perchlorate* dan asam *perchlorate*. Tetapi kebanyakan elektrode gelas menggunakan larutan pengisi asam *hydrochloric* atau *chloride* penyangga dimana didalamnya terkandung *silver – silver elektrode chloride*.

Saat hasil pengukuran dari elektrode referensi identik, maka kontribusi tegangan akan menghilangkan satu sama lain. Hal itu menyebabkan perbedaan tegangan pada sirkuit terdapat di sepanjang membran.

Elektroda pH mempunyai resistansi internal yang sangat tinggi, sehingga mempersulit pengukuran. Oleh karena itu dibutuhkan pH meter yang mempunyai impedansi input yang tinggi agar tidak terjadi kehilangan sinyal dari sensor. Rangkaian dari kompensasi suhu pH meter mengacu pada persamaan Nernst, yang secara umum dituliskan dalam persamaan matematis:

$$E = E_x + \frac{\{2.3RTK \log(ai)\}}{nF} \quad (2.24)$$

dengan,

- $E_x$  = konstanta tergantung elektroda referensi
- $R$  = konstanta
- $TK$  = temperatur absolut (Kelvin)
- $n$  = muatan ion
- $F$  = konstanta
- $ai$  = aktivitas ion

untuk pengukuran pH pada suhu kamar ( $T=25^0C$ ) dan  $n=1$ , maka:

$$\frac{2.3RTk}{nF} = 59.16mV / nF \quad (2.25)$$

Oleh karena pH adalah logaritma negatif dari konsentrasi ion hidrogen, maka persamaan umum untuk berbagai kondisi suhu dapat dinyatakan sebagai:

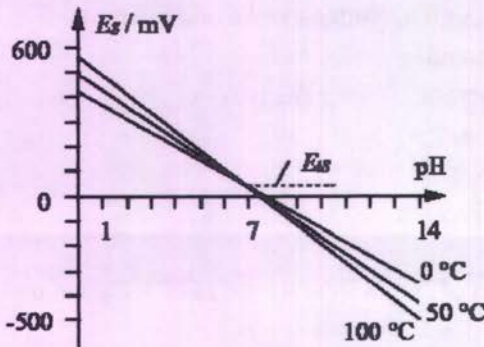
$$E = E_x - 1.98Tk \text{ pH} \quad (2.26)$$

Elektroda dari alat ukur pH adalah sensitif terhadap suhu, sehingga diperlukan kompensasi yang dapat dilakukan secara manual atau otomatis. Dengan cara manual diperlukan pengukur temperatur terpisah, dan pengendalian kompensasi manual pH



meter dengan cara mengatur nilai kompensator temperatur yang mendekati temperatur terukur. Secara otomatis kompensasi temperatur dilakukan dengan pemberian sinyal dari sensor suhu pada pengkondisian sinyal tegangan elektroda pH meter.

Perubahan temperatur dalam larutan akan mempengaruhi keluaran elektroda pH seperti tampak pada persamaan Nernst. Variasi sensitifitas elektroda terhadap temperatur adalah fungsi linier. Gambar 2.2 menunjukkan efek dari variasi temperatur terhadap sinyal elektroda pH.



Gambar 2.2 Grafik hubungan tegangan keluaran elektrode terhadap variasi temperatur (Yien, 2001)

Pada grafik tersebut terlihat bahwa tiga garis dengan kemiringan yang berbeda berpotongan pada satu titik (pada pH 7 dan titik 0 mVolt), hal ini menunjukkan bahwa pada titik itu tidak dipengaruhi oleh suhu dan disebut sebagai titik isopotensial. Temperatur mempunyai pengaruh signifikan pada pH mendekati harga 0 dan harga 14. Saat harga pH adalah 3.0 atau 11.0, perubahan temperatur  $15^{\circ}\text{C}$  dapat mengakibatkan error pH sebesar 0.2. Error karena pengaruh temperatur pada keluaran



elektroda adalah linier sebesar: 0.03 pH error/pH unit/10<sup>0</sup>C. Nilai pH aktual terpengaruh suhu karena perubahan aktifitas ion Hidrogen dalam larutan disebabkan ionisasi dari senyawanya, dalam hal ini kompensator temperatur tidak dibutuhkan. Kompensator temperatur hanya dibenarkan untuk kompensasi perubahan sinyal output elektroda karena pengaruh suhu, tidak untuk perubahan pH larutan aktual. Temperatur juga mempengaruhi impedansi membran kaca. Untuk setiap perubahan 8<sup>0</sup>C di bawah suhu 25<sup>0</sup>C, impedansi spesifiknya mendekati dua kali.

Perbedaan tegangan antara elektroda pH didalam dan diluar kaca diberikan oleh persamaan:

$$E_o - E_i = 0.1984(T+273.16)(7 - \text{pH}) \quad (2.27)$$

Pada grafik 2.2 diatas gradien termal untuk suhu 25 <sup>0</sup>C elektroda pH mengeluarkan 64,12 mV/pH, dengan acuan pH7. Pada suhu 100<sup>0</sup>C gradiennya menjadi 74mV/pH. Pengaruh suhu ini menyebabkan error yang besarnya seperti ditunjukkan pada tabel 2.2

Tabel 2.2 Error pada elektroda oleh pengaruh temperatur (www.sensorex.com)

	pH 2	pH 3	pH 4	pH 5	pH 6	pH 7	pH 8	pH 9	pH 10	pH 11	pH 12
5°	0.3	0.24	0.18	0.12	0.06	0	0.06	0.12	0.18	0.24	0.3
15°	0.15	0.12	0.09	0.06	0.03	0	0.03	0.06	0.09	0.12	0.15
25°	0	0	0	0	0	0	0	0	0	0	0
35°	0.15	0.12	0.09	0.06	0.03	0	0.03	0.06	0.09	0.12	0.15
45°	0.3	0.24	0.18	0.12	0.06	0	0.06	0.12	0.18	0.24	0.3
55°	0.45	0.36	0.27	0.18	0.09	0	0.09	0.18	0.27	0.36	0.45
65°	0.6	0.48	0.36	0.24	0.12	0	0.12	0.24	0.36	0.48	0.6
75°	0.75	0.6	0.45	0.3	0.15	0	0.15	0.3	0.45	0.6	0.75
85°	0.9	0.72	0.54	0.36	0.18	0	0.18	0.36	0.54	0.72	0.9

Kompensator temperatur disertakan pada alat ukur karena elektroda pH terpengaruh oleh perubahan suhu. Untuk menormalkan hasil pengukuran biasanya dipakai termometer resistansi yang dapat berupa termistor atau platinum. Untuk termistor tipe NTC (Negative Temperature Coefisient) mempunyai resistansi 12 k $\Omega$  pada 25 $^{\circ}$ C, dan 0,95 k $\Omega$  pada suhu 100 $^{\circ}$ C, serta  $\beta = 3750^{\circ}$ K dan disipasi daya = 7 mW/ $^{\circ}$ C. Besar nilai resistansi ditentukan oleh persamaan:

$$R_{\theta} = R_{\theta_1} \exp \beta \left\{ \left( \frac{1}{\theta} \right) - \left( \frac{1}{\theta_1} \right) \right\} \quad (2.28)$$

dengan,

- $R_{\theta}$  = resistansi pada suhu  $\theta$
- $R_{\theta_1}$  = resistansi pada suhu referensi (289 $^{\circ}$ K)
- $\beta$  = konstanta termistor
- $\theta$  = suhu ( $^{\circ}$ Kelvin)

Untuk termistor tipe NTC (Negative Temperature Coefisient) mempunyai resistansi 12 k $\Omega$  pada 25 $^{\circ}$ C, dan 0,95 k $\Omega$  pada suhu 100 $^{\circ}$ C, serta  $\beta = 3750^{\circ}$ K dan disipasi daya = 7 mW/ $^{\circ}$ C (Mohan, 1994).

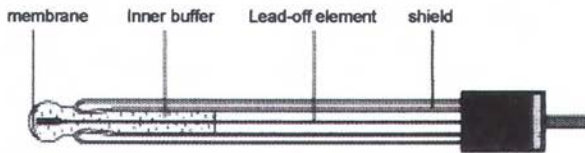
Elektroda merupakan sensor pada pH meter yang akan menghasilkan tegangan berdasarkan pH yang diukur. Elektroda ini dapat menghasilkan tegangan karena elektroda ini mempunyai cairan aktif yang dapat menimbulkan tegangan. Ada tiga jenis elektroda, yaitu:

- Elektroda Pengukur pH

Ada banyak jenis elektroda pengukur pH, salah satu yang paling banyak digunakan adalah elektroda pH gelas, karena mempunyai kepekaan yang tinggi terhadap ion hidrogen.

Elektroda pH gelas adalah elektroda ion selektif terhadap ion hidrogen ( $H^+$ ). Unsur yang mengukur ion selektifnya adalah membran gelas yang umum digunakan yaitu Lithium Silikat ditambah ion-ion Barium dan Lanthanum. Aktifitas air dalam larutan memegang peranan penting dalam respon pH dari membran gelas. Jika ion  $H^+$  yang menembus membran tipis sangat tinggi atau pelarut non air dan beraksi dengan cairan aktif akan potensial yang sangat kecil, potensial yang terukur akan berdeviasi dari yang sesungguhnya.

Bagian dari elektroda pH gelas ditunjukkan pada gambar 2.3 yang mempunyai empat bagian dasar, yaitu membran tipis sebagai pembatas antara inner buffer (cairan aktif) dengan larutan, inner buffer, lead-off element dan shield (pembungkus).



Gambar 2.3 Elektroda Gelas (Yien, 2001)

Sebelum dipakai membran gelas harus direndam dalam air atau buffer sehingga terbentuk lapisan tipis (hidrat jeli). Lapisan ini harus ada pada elektroda pH membran gelas agar pengukuran pH dapat berhasil, karena adanya sifat higroskopis dari gelas. Jika lapisan tersebut hilang atau rusak akan memberikan respon yang kecil atau tidak sama sekali, sehingga slope tidak memuaskan dan pengukuran menjadi salah. Untuk membentuk lapisan tersebut membran direndam dalam air atau buffer pada suhu kamar selama 24 – 48 jam, proses ini dapat dipercepat dengan menaikkan suhu. Bentuknya kecil sehingga mudah digunakan. Lapisan jeli dengan kerusakan ringan dapat diperbaiki dengan membentuk lapisan tersebut kembali, yaitu



dengan menyimpan atau merendamnya dalam larutan KCL 3M pada suhu 50 °C selama beberapa jam.

Bagian dalam elektroda gelas terdapat kawat perak (Ag) yang dilapisi perak Klorida (AgCl) yang terendam dalam larutan HCl. Ujung bawah elektroda gelas terbuat dari membran gelas tipis semipermeable yang hanya peka terhadap ion hydrogen. Apabila bagian luar dari gelas ini terdapat larutan dengan konsentrasi ion hydrogen tinggi (asam), maka ion  $H^+$  akan menerobos masuk kedalam elektroda gelas yang semipermeable sehingga ion  $H^+$  dalam gelas bertambah. Begitu juga sebaliknya jika larutan yang diukur bersifat basa maka ion  $H^+$  dalam gelas akan berkurang. Jadi akan bertambah atau berkurangnya ion  $H^+$  dalam elektroda gelas tergantung banyaknya ion  $H^+$  dalam larutan yang diukur, aliran  $H^+$  ini ditunjukkan gambar 2.4. Elektroda gelas akan menimbulkan beberapa tegangan, tegangan ditimbulkan kaca elektroda, cairan atau larutan dan logam elektroda.

Total tegangan yang terjadi antara elektroda dan larutan dapat dirumuskan sebagai berikut :

$$E_g = E_1 + E_2 + E_3 \quad (2.29)$$

dengan,

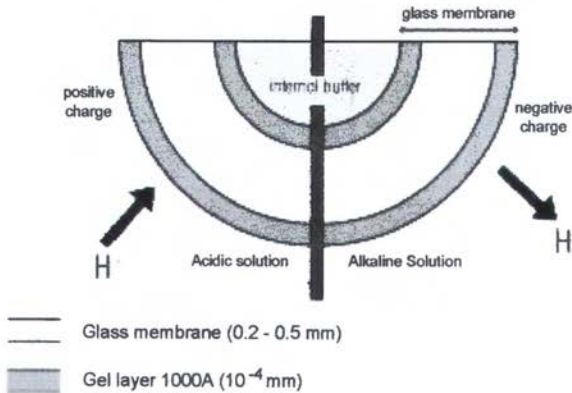
$E_1$  = Tegangan kaca terhadap larutan

$E_2$  = Tegangan cairan dalam kaca terhadap kaca

$E_3$  = Tegangan cairan dalam kaca terhadap logam

Tegangan  $E$  berbanding langsung dengan harga pH larutan. Semakin tinggi konsentrasi ion hydrogen dalam larutan semakin tinggi pula tegangan  $E_1$ . Sedangkan tegangan  $E_2$  dan  $E_3$  konstan (tidak dipengaruhi larutan yang diukur).





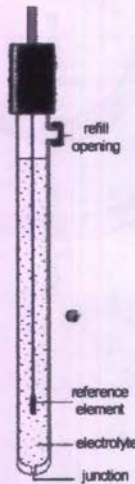
Gambar 2.4. Skematik aliran  $H^+$  pada membran elektroda

- Elektroda Referensi

Elektroda kedua yang dibutuhkan dalam pengukuran pH adalah elektroda referensi yang berfungsi sebagai pelengkap rangkaian agar didapat pengukuran yang stabil. Elektroda Referensi memberikan dan menjaga potensial yang tetap dan tidak dipengaruhi oleh karakteristik larutan, bagian-bagian dari elektroda referensi ditunjukkan pada gambar 2.5.

Elektroda referensi terdiri atas tabung gelas dalam yang berisi perak dan perak klorida ( $Ag$  dan  $AgCl$ ) yang dicelupkan dalam potassium-klorida ( $KCl$ ) konsentrasi tinggi (jenuh). Bagian bawah tabung luar juga terdapat diafragma penghubung dengan larutan yang akan diukur.

Harga beda potensial yang timbul dalam referensi elektroda adalah konstan, dimana  $E_4$  adalah senjang potensial antara elektroda penyalur dengan larutan pembantu ( $KCl$ ) sedangkan  $E_5$  merupakan difusi potensial.



Gambar 2.5 Elektroda Referensi (Yien, 2001)

- Elektroda Kombinasi

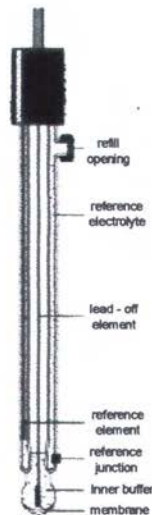
Umumnya transduser pH yang ada dipasaran menyatukan elektroda referensi dan elektroda gelas dalam satu tabung atau dengan nama elektroda kombinasi seperti gambar 2.6. Bagian yang paling sensitif terhadap perubahan harga pH adalah membran elektroda gelas itu sendiri. Perbedaan tegangan terjadi antara permukaan kedua membran gelas. Untuk mengukur perbedaan tegangan, harus ada suatu kontak elektrik pada tiap – tiap sisi membrannya.

Gambar 2.6 menunjukan bagian-bagian dari elektroda kombinasi, dimana besarnya tegangan yang dihasilkan elektroda adalah gabungan antara tegangan yang dihasilkan elektroda gelas dan referensi dapat dicari dengan persamaan :

$$E = E_1 + E_2 + E_3 + E_4 + E_5 \quad (2.30)$$

dengan,

- $E$  = Beda potensial total yang terukur
- $E_1$  = Beda potensial antara sisi luar membran gelas dengan larutan yang terukur
- $E_2$  = Beda potensial antara sisi dalam membran gelas dengan larutan HCl dalam gelas
- $E_3$  = Beda potensial antara elektroda penyalur (Ag+AgCl) dengan HCl
- $E_4$  = Beda potensial antara elektroda penyalur (Ag+AgCl) dengan KCl
- $E_5$  = Beda potensial karena difusi potensial pada diafragma



Gambar 2.6 Elektroda Kombinasi (Yien, 2001)

Beberapa beda potensial diatas haruslah konstan agar diperoleh pengukuran yang seteliti mungkin. Selain  $E_1$  semua



beda potensial diatas adalah konstan, sehingga menurut persamaan Nerst diperoleh tegangan output untuk elektroda gelas :

$$E_g = E_o \frac{0,00592.T.pH}{298} \quad (2.31)$$

dengan,

$E_g$  = Beda potensial total elektroda gelas

$E_o$  = Beda potensial pada elektroda gelas yang besarnya konstan

$T$  = Temperatur ( $^{\circ}K$ ) , dimana pada  $0^{\circ}C = 273^{\circ}K$

Sedangkan elektroda referensi menghasilkan tegangan konstan sebesar  $E_r$ .

$$E_r = E_4 + E_5 \quad (2.32)$$

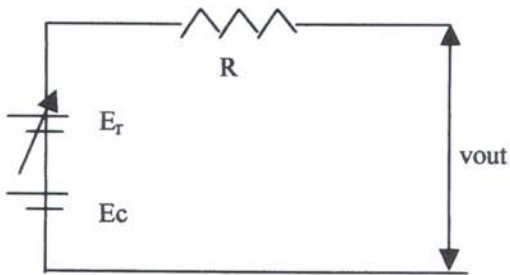
Maka tegangan output elektroda adalah:

$$E = E_g - E_r \quad (2.33)$$

$$E = E_o + \frac{0,00592.T.pH}{298} - E_r$$

$$E = E_o - E_r + \frac{0,00592.T.pH}{298}$$

$$E = E_c + \frac{0,00592.T.pH}{298} \quad (2.34)$$



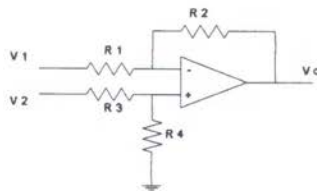
Gambar 2.7 Rangkaian Ekuivalen elektroda kombinasi

Sehingga rangkaian ekivalen dari elektroda dapat dilihat pada gambar 2.7. dengan,

- $R$  = Tahanan dalam elektroda  
= 50 –500 Mega Ohm
- $E_T$  = Tegangan yang tergantung harga pH  
=  $\frac{0,00592.T.pH}{298}$
- $E_c$  = Tegangan yang besarnya konstan

## 2.4 Penguat Instrumentasi

Rangkaian pengkondisi sinyal dapat dibuat dari rangkaian op-amp sederhana.



Gambar 2.8 Rangkaian penguat sederhana (Curtis, 1997)

Sinyal keluaran dari sensor merupakan sinyal dengan tingkat yang kecil sehingga diperlukan suatu rangkaian yang menghasilkan penguatan sehingga menghasilkan sinyal yang sesuai yang dapat dibaca oleh ADC. Dengan menggunakan prinsip superposisi dan asumsi bahwa arus masukan op-amp sangat kecil dan diabaikan maka didapatkan rumus 2.35 sebagai berikut:

$$V_0 = \frac{R_4}{R_3 + R_4} \left(1 + \frac{R_2}{R_1}\right) V_2 - \frac{R_2}{R_1} V_1 \quad (2.35)$$

Apabila  $R_3/R_4 = R_1/R_2$  maka,

$$V_0 = \frac{R_2}{R_1} (V_2 - V_1) \quad (2.36)$$

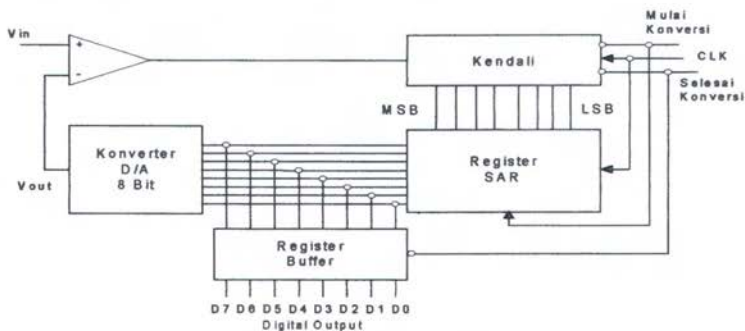
Apabila sinyal  $V_1$  dan  $V_2$  mempunyai resistansi sumber  $R_1$  dan  $R_2$  maka keduanya dijumlahkan pada  $R_3$  dan  $R_4$ . Sumber sinyal  $V_1$  mengalami resistansi sebesar  $R_3 + R_4$ . Apabila  $V_2 = 0$  maka masukan inverting berada pada potensial nol (*ground potential*), dan  $V_1$  dibebani oleh  $R_1$ .

## 2.5 ADC (Analog to Digital Converter)

ADC merupakan pengkonversi sinyal analog menjadi digital. Pengkonversi sinyal diperlukan dalam setiap sistem yang bekerja menggunakan komputer ataupun mikroprosesor karena sinyal-sinyal listrik yang bekerja pada proses adalah sinyal analog sedangkan komputer atau mikroprosesor bekerja dengan sinyal digital. Informasi digital adalah dalam bentuk bilangan biner. Pada saat digunakan pada komputer, bilangan biner ini disebut *binary word*. Tipe ADC yang sering digunakan adalah ADC 0804 yang merupakan pengkonversi sinyal 8 bit. ADC 0804 bekerja dengan cara *successive approximation*. Pengkonversi ini tampak seperti penempatan memory atau port I/O ke mikroprosesor dan tidak memerlukan logika interfacing. Prinsip kerja rangkaian



diatas adalah jika sinyal masukan mulai konversi dari unit kendali diberi logika 0, maka register SAR (*Successive Approximation Register*) akan mereset sehingga keluaran  $V_{out}$  unit DAC (*Digital to Analog*) menjadi nol. Proses konversi diawali dengan pengesetan bit paling berarti (MSB) register SAR oleh unit kendali. Selanjutnya data digital dalam register SAR dikonversikan ke analog oleh unit DAC. Hasil konversi  $V_{out}$  dibandingkan dengan sinyal masukan  $V_{in}$  oleh unit pembanding. Bila  $V_{out}$  lebih besar dari  $V_{in}$  maka unit pembanding akan mengirim sinyal negatif ke unit kendali.



Gambar 2.9 ADC Successive approximation (Datasheet ADC0804 National Semiconductor)

Dengan sinyal negatif ini, unit kendali akan mereset bit paling berarti (MSB) register SAR. Sebaliknya bila  $V_{out}$  lebih kecil dari  $V_{in}$ , unit pembanding akan mengirim sinyal positif ke unit kendali. Dengan sinyal positif ini, unit kendali akan tetap mengeset bit paling berarti (MSB). Pada pulsa clock berikutnya unit kendali akan mengeset bit yang lebih rendah yaitu bit ke 7 register SAR. Kemudian data dikonversikan oleh unit DAC, dan hasil konversi  $V_{out}$  dibandingkan dengan sinyal masukan  $V_{in}$ . Sinyal hasil perbandingan akan menentukan unit kendali untuk mengeset atau mereset register SAR. Demikian seterusnya proses ini berlangsung sampai nilai  $V_{in}$  sama dengan  $V_{out}$ .

Apabila konversi telah selesai, unit kendali mengirim sinyal selesai konversi yang berlogika rendah. Tepi turun sinyal ini akan mengisikan data digital yang ekuivalen dengan nilai  $V_{in}$ , ke dalam register penahan.

## 2.6 Port Paralel

Port paralel adalah port yang sering digunakan untuk antar muka antara komputer dengan perangkat keras luar yaitu printer tetapi penggunaan port paralel sekarang tidak hanya digunakan sebagai port printer tetapi sering digunakan untuk keperluan antar muka (interfacing) yang lain salah satunya sebagai sistem akuisisi data pada sistem kontrol. Port ini menyediakan input hingga 9 bit dan output 12 bit pada saat yang bersamaan dan untuk menggunakannya dibutuhkan rangkaian eksternal. Port ini terdiri dari 4 jalur input, 5 jalur status, dan 8 jalur data.

Port parallel terdiri dari tiga alamat yaitu untuk data, status, dan kontrol. Alamat-alamat tersebut tersusun berurutan, jika port data terletak pada alamat 378h maka port status akan terletak pada alamat 379h dan port control pada alamat 37Ah, seperti pada tabel 2.3.

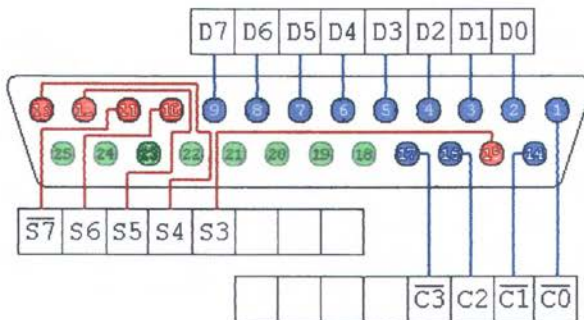
Port paralel seperti yang ditunjukkan pada tabel 2.3 tidak semuanya dimiliki oleh sebuah komputer (PC). Ketika komputer dinyalakan maka secara otomatis BIOS akan memeriksa alamat 3BCh dahulu jika ditemukan port paralel maka port tersebut merupakan LPT1 dan jika ditemukan port lain maka port kedua adalah LPT2 dan seterusnya.

Jika pada komputer hanya ditemukan satu port paralel saja misalnya pada alamat 378h maka port tersebut merupakan LPT1. Port ini bisa kita lihat di belakang cpu, dengan konektor

female tipe D-25. Fungsi masing-masing pin port tersebut dapat dilihat dalam table 2.4 sedangkan bentuk fisiknya dapat dilihat pada gambar 2.10.

Tabel 2.3 Alamat port paralel ([www.senet.com.au/~cpeacock](http://www.senet.com.au/~cpeacock))

Printer	Data Port	Status	Control
LPT1	0x03BC	0x03BD	0x03BE
LPT2	0x0378	0x0379	0x037A
LPT3	0x0278	0x0279	0x027A



Gambar 2.10 Pin-pin pada konektor D-tipe 25  
([www.senet.com.au/~cpeacock](http://www.senet.com.au/~cpeacock))

Ada beberapa cara yang sering digunakan untuk proses pembacaan data 8 bit dengan menggunakan 4 jalur input pada LPT1. Salah satu cara yang sering digunakan adalah *Nibble Mode*. Nibble mode (4 Bit) adalah metode pembacaan setengah byte, metode ini sering digunakan karena dengan menggunakan metode ini kita tidak perlu merubah port menjadi mode inverse dan menggunakannya sebagai jalur data. Mode ini memakai jalur Quad 2 menjadi jalur 1 dengan cara melewatkannya dalam multiplexer untuk membaca data 4 bit pertama pada waktu tertentu. Kemudian multiplexer dengan men-switch selector pada

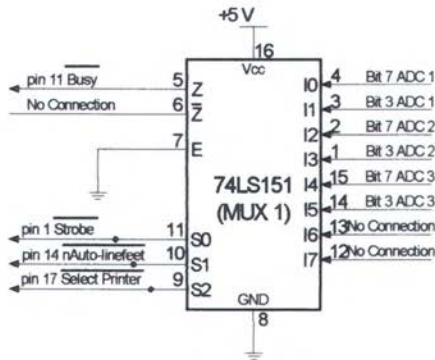


multiplekser sehingga pada proses selanjutnya dilakukan pembacaan data 4 bit kedua.

Tabel 2.4 Fungsi tiap pin konektor D-Type25 Parallel Port ([www.senet.com.au/~cpeacock](http://www.senet.com.au/~cpeacock))

Pin No. (D-Type 25)	SPP Signal	Direction In/Out	Register	Hardware
1	nStrobe	In/Out	Control	Yes
2	Data 0	Out	Data	
3	Data 1	Out	Data	
4	Data 2	Out	Data	
5	Data 3	Out	Data	
6	Data 4	Out	Data	
7	Data 5	Out	Data	
8	Data 6	Out	Data	
9	Data 7	Out	Data	
10	nAck	In	Status	
11	Busy	In	Status	Yes
12	Paper-Out PaperEnd	In	Status	
13	Select	In	Status	
14	nAuto-Linefeed	In/Out	Control	Yes
15	nError / nFault	In	Status	
16	nInitialize	In/Out	Control	
17	nSelect-Printer nSelect-In	In/Out	Control	Yes
18-25	Ground	Gnd		

Hasil pembacaan data tersebut kemudian akan digabungkan menjadi bentuk byte oleh sebuah perangkat lunak. Salah satu kerugian dengan menggunakan mode ini adalah proses pembacaannya menjadi lambat. Rangkaian eksternal yang digunakan adalah IC multiplexer dengan tipe 74LS151, adapun rangkaianannya adalah sebagai berikut :



Gambar 2.11 Rangkaian eksternal dengan IC 74LS151 (Datasheet SN54/74LS151 MOTOROLA)

## 2.7 Jaringan Syaraf Tiruan

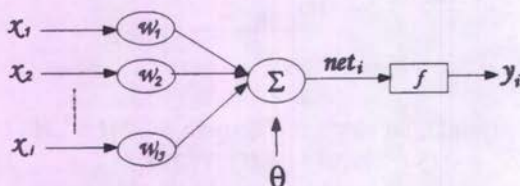
Jaringan Syaraf dapat mensintesis sebuah memori asosiatif yang dapat menghasilkan sebuah keluaran yang sesuai ketika diberi masukan dan menggeneralisasikan ketika diberi masukan yang baru. Unsur penting pada Jaringan Syaraf Tiruan adalah model syaraf, proses belajar dan arsitektur jaringan.

Sebagai salah satu elemen komputasi yang membuat hampir keseluruhan model sistem saraf dikenal juga dengan *artificial neurons* dan bisa bertindak sebagai simpul, satuan maupun elemen-elemen proses. Sedangkan sebagai jaringan saraf, model matematikanya dibangun berdasar beberapa pengertian yaitu:

- a. Pengolahan informasi terjadi pada banyak elemen tunggal yang disebut unit syaraf (*neuron*).
- b. Sinyal dilewatkan antar unit melalui untai penghubung.

- c. Setiap untai penghubung mempunyai bobot hubung.
- d. Setiap unit menggunakan fungsi aktivasi untuk sinyal keluaran.

Berdasarkan pemahaman untuk Jaringan Syaraf Tiruan tersebut, maka dapat dimodelkan satu sel syaraf seperti terlihat pada gambar 2.12:



Gambar 2.12 Model syaraf tiruan (Freeman, Skapura, 1992)

Pada gambar 2.12,  $x$  menyatakan suatu unit input syaraf,  $w$  adalah bobot hubung,  $\theta$  bias,  $f$  fungsi aktivasi dan  $y$  adalah output Jaringan Syaraf Tiruan. Karena dasar rancang bangun teori Jaringan Syaraf Tiruan berdasar pada mekanisme otak manusia, maka lebih tepat model syaraf disini didefinisikan sebagai suatu unit elemen pemroses (*ep*). Sebagai *ep* syaraf membutuhkan harga-harga input jaringan dan beberapa fungsi relasi terhadap output. Selanjutnya sebagai suatu jaringan, input untuk syaraf tersebut dinyatakan dalam bentuk.

$$net_i = \sum x_j w_{ij} + \theta \quad (2.37)$$

sedangkan output untuk setiap unit model syaraf adalah

$$y_i = f(net_i) \quad (2.38)$$



dengan notasi  $i$  menyatakan input dan  $ij$  adalah bobot pada untai input ke syaraf. Bias  $\theta$  berfungsi agar output suatu unit syaraf berada pada rentang tertentu misal dari 0 sampai 1, dan tidak akan melebihi harga-harga ini atau dengan kata lain bahwa output satu unit syaraf adalah termampatkan (*squashing*). Fungsi aktivasi  $f$  menentukan hasil output unit sesuai dengan tingkat aktivasi pada inputnya. Fungsi ini menyatakan secara eksplisit fungsi dari input jaringan. Ada tiga jenis dasar fungsi aktivasi yaitu:

1. Fungsi Bipolar
2. Fungsi Symetric Saturating Linear
3. Fungsi Bipolar Sigmoid

#### ✓ Fungsi Bipolar

Fungsi aktivasi ini mempunyai persamaan

$$f(\text{net}) = \begin{cases} +1, & \text{net} > 0 \\ 0, & \text{net} = 0 \\ -1, & \text{net} < 0 \end{cases} \quad (2.39)$$

dan kurvanya dapat dilihat pada gambar 2.13a.

#### ✓ Fungsi Symetric Saturating Linear

Fungsi ini dapat dilihat pada gambar 2.13b dan dapat dinyatakan dengan persamaan 2.40.

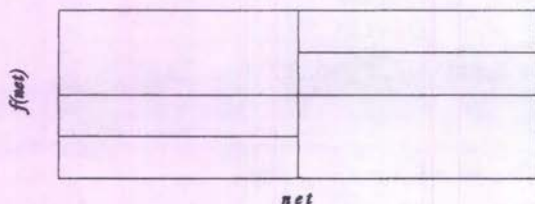
$$f(\text{net}) = \begin{cases} +1, & \text{net} \geq 1 \\ \text{net}, & -1 \leq \text{net} \leq 1 \\ -1, & \text{net} \leq -1 \end{cases} \quad (2.40)$$

✓ Fungsi Bipolar Sigmoid

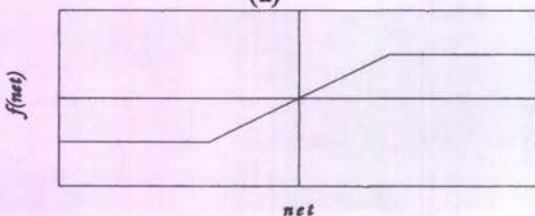
Fungsi *Bipolar Sigmoid* adalah fungsi aktivasi yang paling sering digunakan pada jaringan syaraf tiruan. Pada lapisan tersembunyi digunakan lebih banyak karena kemampuan merelasikan fungsi lebih lembut. Salah satu contoh *Bipolar sigmoid* adalah fungsi logistik ditunjukkan oleh persamaan dibawah ini:

$$f(net) = \frac{1 - \exp(-net)}{1 + \exp(-net)} \quad (2.41)$$

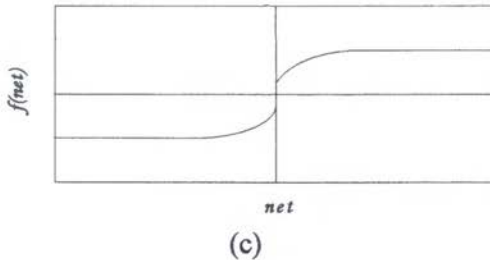
Selain fungsi-fungsi yang tersebut diatas, dalam alikasi jaringan syaraf tiruan terdapat banyak fungsi aktivasi, seperti fungsi linier, fungsi gabungan logaritmik, bipolar sigmoid, tangen hiperbolik, dan sebagainya. Pemakaian fungsi-fungsi sangat bergantung pada tujuan penggunaan jaringan syaraf tiruan atau output yang diinginkan. Biasanya antara input dan output dari jaringan syaraf tiruan mempunyai fungsi aktivasi yang sama dengan fungsi pada unit tersembunyi adalah sigmoid.



(a)



(b)



Gambar 2.13 (a) Fungsi Bipolar, (b) Fungsi Symetric Saturating Linear, (c) Fungsi Bipolar Sigmoid (Kusumadewi, 2003)

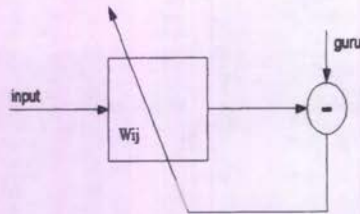
### 2.7.1 Konsep Proses Belajar JST

Kemampuan belajar merupakan sifat utama yang penting dari jaringan syaraf tiruan. Meskipun sulit untuk mendefinisikan arti “belajar” (*learning*) secara tepat, proses belajar pada konteks jaringan syaraf tiruan dapat didefinisikan sebagai perubahan terhadap bobot hubung (*connection weight*) yang berada pada untai hubungan (*connection*) sehingga output jaringan sesuai dengan yang diinginkan. Terdapat dua hal penting pada proses belajar. Pertama, apakah lingkungan (sistem) dimodelkan terlebih dahulu atau tidak untuk dijadikan target pada proses belajar. Hal ini disebut dengan paradigma belajar. Yang kedua adalah bagaimana cara mengubah parameter bobot hubung tersebut, yang dikenal dengan aturan atau algoritma belajar.

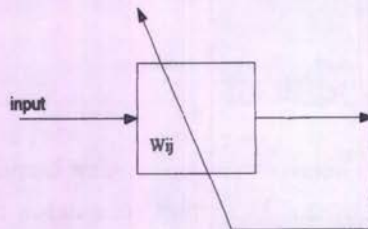
Paradigma belajar dapat diklasifikasikan atas: belajar dengan pengawasan (*supervised learning*) seperti ditunjukkan pada gambar.2.14, belajar dengan penguatan (*reinforcement*



*learning*) dan belajar tanpa pengawasan (*unsupervised learning*) seperti ditunjukkan pada gambar2.15.



Gambar2.14 Belajar dengan pengawasan



Gambar 2.15 Belajar tanpa pengawasan

Pada paradigma belajar dengan pengawasan, harga bobot hubung diubah berdasarkan selisih antara target dengan harga output jaringan sebenarnya. Paradigma belajar tanpa pengawasan tidak memerlukan target, jaringan hanya diberikan urutan input saja. Jaringan memeriksa struktur dasar data input atau korelasi antar pola-pola data input dan mengorganisasikan ke dalam kategori-kategori berdasarkan korelasinya. Ada empat jenis aturan belajar, yaitu: aturan koreksi kesalahan, aturan Boltzman, aturan Hebbian dan aturan kompetitif. Aturan yang sering digunakan oleh beberapa peneliti adalah koreksi terhadap kesalahan (*error backpropagation*) seperti yang akan digunakan dalam penelitian ini.

### 2.7.2 Arsitektur Jaringan Syaraf Tiruan

Mekanisme jaringan syaraf tiruan sebagai elemen pemroses dapat dipandang sebagai garis-garis arah aliran sinyal yang menghubungkan unit input dengan unit output. Oleh karena itu arsitektur jaringan syaraf tiruan didasarkan pada bentuk konfigurasi hubungan antar unit tersebut. Berdasar arah sinyal pada satu unit jaringan syaraf tiruan, secara garis besar ada dua jenis arsitektur yaitu: Jaringan Umpan Maju (*Feedforward Network*) dan Jaringan Umpan Balik atau Berulang (*Feedback* atau *Recurrent Network*).

Jaringan umpan maju (JU) adalah jaringan yang arah sinyalnya dalam arah maju saja dan tidak ada ikal (*loop* atau *feedback*). Secara umum, JU bersifat statik dimana jaringan hanya menghasilkan satu set output untuk setiap urutan nilai input. Dengan demikian JU bersifat *memoryless*, dalam pengertian, tanggapan terhadap suatu input tidak tergantung dari output sebelumnya.

Jaringan berulang atau umpanbalik (JB) adalah jaringan yang arah sinyalnya dalam arah maju dan mundur yang berasal dari hubungan umpanbalik. Pada jaringan ini, paling tidak memiliki satu ikal. Dengan lintasan umpan balik adalah hasil output syaraf dipengaruhi oleh urutan nilai input dan output itu sendiri. Jaringan arsitektur JB ini bersifat dinamis serta dimaksudkan untuk memperoleh output yang stabil. Pada jaringan syaraf tiruan pemakaian arsitektur yang berbeda akan menghasilkan perilaku jaringan yang berbeda pula, dan masing-masing arsitektur membutuhkan algoritma belajar yang sesuai. Terdapat keterkaitan antara paradigma, aturan dan algoritma

belajar serta beberapa aplikasinya seperti yang tertera pada tabel 2.5.

Tabel 2.5 Algoritma belajar, arsitektur dan aplikasinya

Paradigma	Aturan Belajar	Arsitektur	Algoritma Belajar	Aplikasi
Dengan Pengawasan	Koreksi Kesalahan	Jaringan Satu lapis	Algoritma <b>perceptron</b>	Klasifikasi pola
		Jaringan Multilapis	Backropagation Adeline dan Madaline	Aproksimasi fungsi Prediksi Kendali
	Kompetitif	Jaringan Kompetitif	Kuantisasi <b>error</b>	Katagorisasi Kompresi data
Tanpa Pengawasan	Koreksi Kesalahan	Jaringan Multilapis	Sammon's <b>projection</b>	Analisis Data
	Kompetitif	Jaringan Kompetitif	Kuantisasi <b>error</b>	Katagorisasi Kompresi data

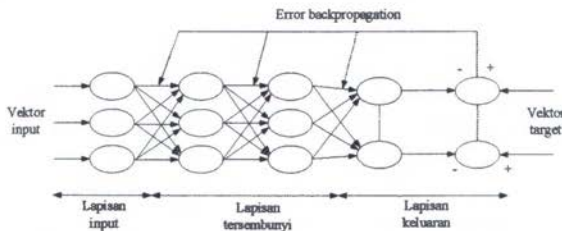
Kedua paradigma, belajar dengan pengawasan dan tanpa pengawasan memakai aturan belajar yang berdasarkan koreksi kesalahan dan kompetitif. Aturan belajar koreksi kesalahan dapat digunakan untuk semua jenis arsitektur. Berdasarkan arsitekturnya terdiri dua macam yaitu jaringan satu lapis dan jaringan multilapis.

### 2.7.3 Algoritma Belajar Jaringan Syaraf Tiruan Tiga Lapis Umpan Maju

Salah satu arsitektur jaringan umpan maju adalah jaringan multilapis terdiri dari satu lapisan input (*input layers*), satu atau



lebih lapisan tersembunyi atau dalam (*hidden layer*), dan satu lapisan output (*output layers*). Susunan ini dikenal dengan jaringan umpan maju dengan tiga lapisan. Proses belajar multilapis ini menggunakan paradigma belajar dengan pengawasan dan belajar propagasi balik yang didasari atas aturan koreksi kesalahan (*error backpropagation*). Bentuk sederhana dari konsep jaringan tersebut diperlihatkan pada gambar 2.16, garis putus-putus menggambarkan suatu proses adaptasi terhadap bobot-bobot hubung. Prosedur belajar secara umum diterangkan sebagai berikut, presentasi pembelajaran meliputi pasangan input output vektor. Jaringan syaraf tiruan pertama kali menggunakan vektor input dibandingkan dengan vektor target. Jika tidak ada perbedaan (kesalahan) maka tidak ada perubahan adaptasi bobot, sebaliknya maka bobot hubung dirubah untuk mereduksi beda tersebut.



Gambar 2.16 Arsitektur JST feedforward Backpropagation  
(Rumelhart et al., 1985)

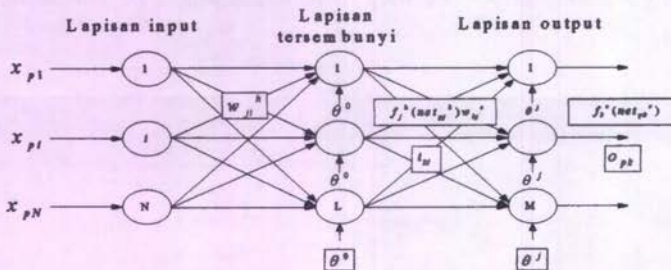
Algoritma *backpropagation* adalah suatu generalisasi dari metoda rata-rata kuadrat terkecil (*Least Mean Square, LMS*). Pada teori mengenai estimasi biasanya pencarian suatu parameter atau variabel yang optimal digunakan fungsi biaya atau indeks performansi yang diturunkan terhadap variabel atau parameter tersebut. Hal ini analog dengan mencari titik maksimum atau minimum fungsi. Selanjutnya fungsi biaya tersebut adalah total



dari *error* (kesalahan) antara output yang diinginkan (target jaringan syaraf tiruan) dan output yang sebenarnya atau output sistem yang diamati.

#### 2.7.4 Algoritma Pembelajaran dengan *Error Backpropagation*

Sebuah jaringan syaraf tiruan dapat disebut sebagai jaringan pemetaan jika dapat menghitung hubungan secara fungsional antara input output. Pada fungsi jaringan syaraf tiruan sebagai pemetaan ini diharapkan jaringan syaraf tiruan dapat mengetahui hubungan fungsional walaupun tidak diketahuinya contoh pemetaan yang benar.



Gambar 2.17 Tiga lapis arsitektur Jaringan Syaraf metode belajar *Backpropagation* (Rumelhart et al.,1985)

Untuk memulai pemahaman tentang algoritma ini misalkan terdapat suatu pasangan vektor input  $x_p = (x_{p1}, x_{p2}, \dots, x_{pN})$ . Vektor input tersebut didistribusikan ke setiap lapisan tersembunyi dengan arah ke depan. Input ke jaringan syaraf tiruan pada unit tersembunyi adalah:

$$net_{pj}^h = \sum_{i=1}^N w_{ji}^h x_{pi} + \theta_j^h \quad (2.42)$$

Bila diasumsikan bahwa fungsi aktivasi setiap untai adalah sama untuk seluruh jaringan input, maka output dari untai ini adalah

$$i_{pj} = f_j^h(\text{net}_{pj}^h) \quad (2.43)$$

Persamaan untuk untai output,

$$\text{net}_{pk}^o = \sum_{j=1}^L w_{kj}^o i_{pj} + \theta_k^o \quad (2.44)$$

$$o_{pk} = f_k^o(\text{net}_{pk}^o) \quad (2.45)$$

Tabel 2.6 Keterangan untuk Gambar 2.17

Notasi	Keterangan
$h, o$	<i>superscript</i> lapisan tersembunyi, output
$w_{ji}^h, w_{kj}^o$	bobot hubung dari unit input ke I, output j
$\text{net}_{pj}^h, \text{net}_{pk}^o$	input jaringan pada unit tersembunyi ke j, k
$f_j^h(\text{net}_{pj}^h), f_k^o(\text{net}_{pk}^o)$	output jaringan pada unit tersembunyi ke j, k
$\theta_j^h, \theta_k^o$	bias pada lapisan tersembunyi ke j, k

Terdapat prosedur yang digunakan untuk algoritma ini, prosedur ini dipakai untuk melakukan komputasi dalam satu iterasi, adapun algoritmanya adalah sebagai berikut:

1. Tentukan vektor input pada jaringan syaraf tiruan dan hitung outputnya
2. Bandingkan output jaringan syaraf tiruan dengan output yang sebenarnya dan hitung kesalahannya (*error*)

3. Tentukan kearah mana perubahan tiap bobot sehubungan dengan pengurangan kesalahan
4. Tentukan seberapa besar perubahan untuk tiap bobot
5. Lakukan adaptasi untuk bobot-bobot tersebut
6. Ulangi no. 1 sampai 5 hingga semua vektor pembelajaran menghasilkan kesalahan yang sesuai

### 2.7.5 Adaptasi Bobot-Bobot pada Lapisan Output

Beranjak dari beragamnya input-input untuk setiap lapisan, maka satu kesalahan saja yang didapat tidaklah cukup untuk metoda *backpropagation* ini. Sehingga perlu didefinisikan sebuah *error* pada semua input yaitu  $\delta_{pk} = (y_{pk} - O_{pk})$ , (notasi ini yang disebut delta) dimana subskrip  $p$  menyatakan vektor pelatihan ke  $p$  dan  $k$  untuk output unit ke  $k$ . Sedangkan  $y_{pk}$  adalah harga output yang diinginkan dengan  $O_{pk}$  adalah output sebenarnya dari unit ke  $k$ . Selanjutnya jumlah dari kesalahan kuadrat dari semua unit output adalah:

$$E_p = \frac{1}{2} \sum_{k=1}^M \delta_{pk}^2 \quad (2.46)$$

Faktor  $\left(\frac{1}{2}\right)$  dalam persamaan 2.46 digunakan untuk kemudahan dalam melakukan deviasi persamaan kesalahan nantinya. Untuk menyatakan arah perubahan bobot-bobot, dihitung gradien negatif dari  $E_p$ ,  $\nabla E_p$  terhadap bobot  $w_{kj}$ . Untuk mempermudah pembahasan, substitusikan  $\delta_{pk}$  ke persamaan 2.46 serta gunakan persamaan 2.42 sehingga menjadi

$$E_p = \frac{1}{2} \sum_i (y_{pk} - o_{pk})^2 \quad (2.47)$$



dan untuk turunannya telah digunakan aturan berantai, sehingga dihasilkan persamaan 2.48 sebagai berikut:

$$\frac{\partial E_p}{\partial w_{kj}^o} = -(y_{pk} - o_{pk}) \frac{\partial f_{pk}^o}{\partial (net_{pk}^o)} \frac{\partial (net_{pk}^o)}{\partial w_{kj}^o} \quad (2.48)$$

Dengan memperhatikan persamaan 2.48 maka suku terakhir persamaan ini dapat ditulis:

$$-\frac{\partial (net_{pk}^o)}{\partial w_{kj}^o} = \left( \frac{\partial}{\partial w_{kj}^o} \sum_{j=1}^L w_{kj}^o i_{pj} + \theta_k^o \right) = i_{pj} \quad (2.49)$$

Bila persamaan 2.45 dan 2.48 digabungkan, didapat gradien negatif sebagai berikut:

$$-\frac{\partial E_p}{\partial w_{kj}^o} = (y_{pk} - o_{pk}) f_k^{\prime o} (net_{pk}^o) i_{pj} \quad (2.50)$$

Karena besar perubahan dari bobot lebih diperhatikan disini, maka 2.50 diambil berbanding lurus dengan gradien negatif. Sehingga bobot pada lapisan output diperbaharui dengan persamaan 2.51,

$$w_{kj}^o(t+1) = w_{kj}^o(t) + \Delta_p w_{kj}^o(t) \quad (2.51)$$

dimana,

$$\Delta_p w_{kj}^o(t) = \eta (y_{pk} - o_{pk}) f_{pk}^{\prime o} (net_{pk}^o) i_{pj} \quad (2.52)$$

$\eta$  disebut dengan parameter laju pembelajaran. Persamaan 2.52 adalah persamaan yang menyatakan perubahan vektor bobot pada lapisan output.

Misal ada dua bentuk fungsi aktivasi output sebagai berikut:

$$f_k^o(\text{net}_{jk}^o) = \text{net}_{jk}^o \quad (2.53)$$

$$f_k^o(\text{net}_{jk}^o) = (1 + e^{-\text{net}_{jk}^o})^{-1} \quad (2.54)$$

dimana persamaan 2.53 adalah fungsi linier dan persamaan 2.54 adalah fungsi logistik. Selanjutnya turunan untuk masing-masing fungsi adalah  $f_k^{o'} = 1$ , sedangkan untuk persamaan kedua adalah  $f_k^{o'} = f_k^o(1 - f_k^o) = o_{pk}(1 - o_{pk})$ . Untuk kedua persamaan tersebut didapat iterasi untuk bobot adalah:

$$w_{kj}^o(t+1) = w_{kj}^o(t) + \eta(y_{pk} - o_{pk})i_{pj} \quad (2.55)$$

untuk output fungsi linier, dan

$$w_{kj}^o(t+1) = w_{kj}^o(t) + \eta(y_{pk} - o_{pk})o_{pk}(1 - o_{pk})i_{pj} \quad (2.56)$$

untuk output sigmoid. Didefinisikan persamaan jumlahan untuk adaptasi bobot, yaitu:

$$\delta_{pk}^o = (y_{pk} - o_{pk})f_k^{o'}(\text{net}_{pk}^o) = \delta_{pk}f_k^{o'}(\text{net}_{pk}^o) \quad (2.57)$$

sehingga persamaan untuk adaptasi bobot dapat ditulis

$$w_{kj}^o(t+1) = w_{kj}^o(t) + \eta\delta_{pk}^o i_{pj} \quad (2.58)$$

### 2.7.6 Adaptasi Vektor Bobot pada Lapisan Tersembunyi

Prinsip dasar perubahan bobot pada lapisan tersembunyi pada dasarnya sama dengan yang dilakukan pada lapisan output.

Kesulitan yang timbul adalah menentukan kesalahan output lapisan tersembunyi.

Hal ini disebabkan karena pengetahuan yang didapat hanya pada output aktual akan tetapi output pada unit tersembunyi tidak didapat. Pemecahan masalah ini dimulai dengan memahami bahwa secara total kesalahan  $E_p$  adalah suatu persamaan yang menghubungkan output pada lapisan luar tersembunyi dengan inputnya. Artinya output lapisan tersembunyi adalah input bagi lapisan output. Pembahasan dimulai bersasar pada persamaan 2.59 untuk lapisan tersembunyi sebagai berikut:

$$\begin{aligned}
 E_p &= \frac{1}{2} \sum_k (y_{pk} - o_{pk})^2 \\
 &= \frac{1}{2} \sum_k (y_{pk} - f_k^o(\text{net}_{pk}^o))^2 \\
 &= \frac{1}{2} \sum_k \left( y_{pk} - f_k^o \left( \sum_j w_{kj}^o i_{pj} + \theta_k^o \right) \right)^2 \quad (2.59)
 \end{aligned}$$

diketahui bahwa  $i_{pj}$  adalah bergantung pada bobot lapisan tersembunyi. Dengan menggunakan kedua persamaan tersebut sehingga dapat dilakukan pencarian gradien  $E_p$  terhadap bobot lapisan tersembunyi.

$$\begin{aligned}
 \frac{\partial E_p}{\partial w_{ji}^h} &= \frac{1}{2} \sum_k \frac{\partial}{\partial w_{ji}^h} (y_{pk} - o_{pk})^2 \\
 &= \frac{1}{2} \sum_k (y_{pk} - o_{pk})^2 \frac{\partial o_{pk}}{\partial (\text{net}_{pk}^h)} \frac{\partial (\text{net}_{pk}^h)}{\partial i_{pj}} \frac{\partial i_{pj}}{\partial (\text{net}_{pj}^h)} \frac{\partial (\text{net}_{pj}^h)}{\partial w_{ji}^h} \quad (2.60)
 \end{aligned}$$



dimana  $\delta_{pk}^o = (y_{pk} - o_{pk})$ . Selanjutnya diperlukan adaptasi perubahan bobot pada lapisan tersembunyi dan secara matematis dapat ditulis seperti rumus 2.61.

$$\Delta_p w_{ji}^h = \eta f_j^h (net_{pj}^h) x_{pi} \sum_k (y_{pk} - o_{pk}) f_k^o (net_{pk}^o) w_{kj}^o \quad (2.61)$$

Gunakan definisi  $\delta_{pk}^o$  untuk persamaan 2.61, sehingga didapat:

$$\Delta_p w_{ji}^h = \eta f_j^h (net_{pj}^h) x_{pi} \sum_k \delta_{pk}^o w_{kj}^o \quad (2.62)$$

Substitusi persamaan (2.59) dan (2.60) ke persamaan (2.62), sehingga didapat

$$\frac{\partial E_p}{\partial w_{ji}^h} = - \sum_k (y_{pk} - o_{pk}) f_k^o (net_{pk}^o) w_{kj}^o f_j^h (net_{pj}^h) x_{pi} \quad (2.63)$$

Perhatikan sekali lagi persamaan 2.63, bahwa setiap bobot pada lapisan tersembunyi diadaptasi bergantung pada semua bentuk kesalahan pada lapisan output  $\delta_{pk}^o$ . Hasil ini menunjukkan terjadinya perambatan balik (*backpropagation*). Kesalahan lapisan output dirambat-balikkan ke lapisan tersembunyi untuk mendapatkan perubahan bobot yang sesuai pada lapisan tersebut. Dengan mendefinisikan sebuah bentuk kesalahan pada lapisan tersembunyi,

$$\delta_{pj}^h = f_j^h (net_{pj}^h) \sum_k \delta_{pk}^o w_{kj}^o \quad (2.64)$$

akan memberi persamaan adaptasi menjadi analog dengan lapisan output sebagai berikut:

$$w_{ji}^h(t+1) = w_{ji}^h(t) + \eta \delta_{pj}^h x_i \quad (2.65)$$

## 2.8 Jaringan Syaraf Tiruan pada Sistem Pengendalian

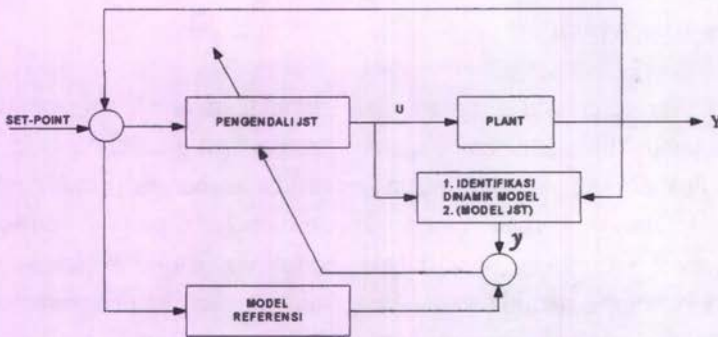
Jaringan syaraf tiruan yang digunakan untuk mengatasi kasus ketidakinleran, pembelajaran, pemrosesan paralel memberi ide untuk alikasinya pada sistem pengendalian cerdas (*intelligent control*). Dari penelitian yang dilakukan oleh *Tai* diperoleh bahwa jaringan syaraf tiruan pada sistem kendali dapat diklasifikasikan dalam beberapa metoda yaitu: pengendalian dengan pengawasan (*supervised control*), *inverse control*, *adaptive control*, dan lain-lainnya. Pada penelitian ini hanya diterangkan skema jaringan syaraf tiruan untuk pengendalian yang hamir sama dengan skema pengendalian adaptif.

Struktur yang digambarkan pada gambar 2.18 sering digunakan untuk identifikasi dan pengendalian sistem. Beberapa referensi memberi nama struktur ini adalah *neural adaptive control* (NAC).

Pada NAC model referensi diletakkan paralel terhadap sistem yang sebenarnya. Pada blok identifikasi terdapat 2 kemungkinan berbeda yang digunakan untuk membedakan mekanisme yang terjadi. Identifikasi (nomor 1) yang dilakukan akan membentuk suatu model jaringan syaraf tiruan. Setelah identifikasi selesai, selanjutnya dilakukan mekanisme adaptasi pengendali (nomor 2).

Mekanisme ini hampir analog pada teori kontrol adaptif. Jadi diperlukan suatu model referensi yang biasanya model ini diambil dari model linier stabil. Model jaringan syaraf tiruan selanjutnya dibandingkan dengan model referensi.





Gambar 2.18 Jaringan Syaraf Tiruan digunakan sebagai Identifikasi dan pengendali

Kemudian kesalahan dirambatkan ke pengendali untuk merubah bobot pengendali. Dengan hanya melihat diagram blok NAC dapat dibayangkan, bahwa mekanisme pengendalian terdiri dari banyak langkah yang harus dilakukan. Dengan kata lain diperlukan waktu yang lebih lama apabila sistem adalah kompleks dan rentang data input-output besar sekali.

#### ✓ Jaringan Syaraf Tiruan sebagai *Tracking Control System*

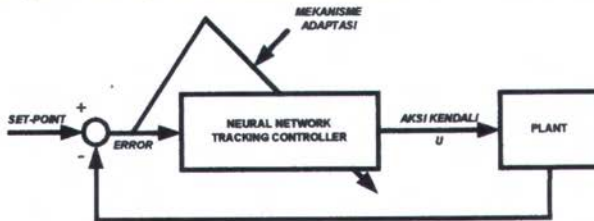
Suatu skema jaringan syaraf tiruan untuk pengendalian diperkenalkan oleh Tai et al., seperti yang telah dijelaskan sebelumnya dan skema pengendali yang memakai jaringan syaraf tiruan diperlihatkan pada gambar 2.19 dan gambar 2.20 untuk pembelajarannya. Struktur dan skema serta mekanisme pembelajaran jaringan syaraf tiruan tersebut digunakan pada penelitian disini. Bentuk semacam ini sering juga disebut identifikasi dinamika balik langsung (*direct inverse dynamic identification*).

Neural Network (NN) atau Jaringan Syaraf Tiruan (JST) disini berfungsi sebagai *Clasifier* antara input JST dan output

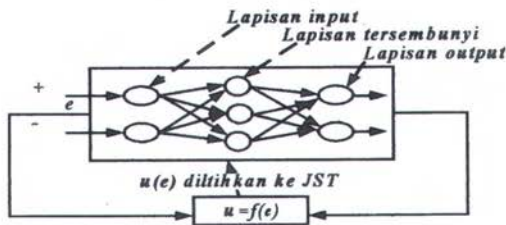




JST, dimana input JST membutuhkan *pre-processing* dan selanjutnya output JST memberikan sinyal kontrol sehingga diharapkan output plant dapat dikendalikan sehingga mampu mencapai nilai sinyal masukan referensi (*set-point*) yang diberikan.



Gambar 2.19 Diagram Blok Aplikasi *Neural Network Tracking Controller* (Tai, Wang, Ashenayi, 1992)



Gambar 2.20 Konsep pembelajaran dengan pendekatan fungsi  $u=f(\text{error})$

Perhatikan sekali lagi gambar 2.19 dan gambar 2.20, dengan hanya memperhatikan skema tersebut terlihat kesederhanaan sistem ini dibanding dengan gambar 2.18. Konsep sistem ini beranjak dari pemahaman bahwa dalam sistem pengendalian bagaimanapun bentuk sistemnya, tujuan utama adalah menghasilkan sinyal atau aksi kendali ( $u$ ) yang sesuai bila terjadi beda antara sinyal output sistem sebenarnya dengan sinyal referensi. Pelatihan hanya terdiri dari sinyal kesalahan (*error*,  $e$ ) dan target aksi kendali ( $u$ ) yang sesuai. Pelatihan semacam ini

lebih dikenal dengan pemetaan input-output atau pendekatan suatu fungsi (*function approximation*) yaitu pembelajaran jaringan syaraf tiruan untuk mendekati  $u=f(\text{error})$ . Perbedaan paling mendasar pada skema NAC adalah bahwa jaringan syaraf tiruan tidak lagi mempelajari dinamika balik sistem. Oleh karena itu tidak diperlukan waktu komputasi pelatihan yang lama. Keandalan dijamin dari sistem ini karena perubahan pada sistem (*nonlinier*) akan memberikan kesalahan yang sama seperti yang telah dipelajari oleh pengendali, sehingga pengendali tidak perlu dilatih lagi bila terdapat gangguan atau perubahan set-point.

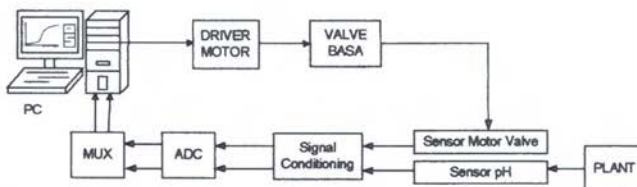
### BAB III

## PERANCANGAN PERANGKAT KERAS DAN PERANGKAT LUNAK

Pada bab ini dijelaskan tentang perancangan beserta implementasi perangkat keras dan perangkat lunak. Untuk perangkat keras terdiri dari miniplant sistem pengendalian pH, rangkaian pengkondisi sinyal, *Analog to Digital Converter* (ADC), Rangkaian eksternal paralel port, dan driver motor DC. Untuk Perangkat lunak digunakan bahasa pemrograman Delphi 7.0 dengan perangkat pendukung Processor AMD 1500 Mhz. Perancangan perangkat lunak ini terdiri dari perancangan algoritma Jaringan Syaraf Tiruan yang meliputi training dan pengendalian.

### 3.1 Perancangan Perangkat Keras

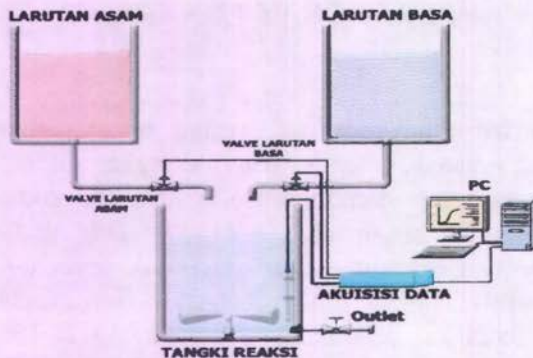
Perangkat keras yang dirancang dalam tugas akhir ini merupakan perangkat yang digunakan untuk sistem akuisisi data pada proses pengendalian. Berikut dijelaskan prinsip dari proses kontrol pada *miniplant* sistem pengendalian pH dan sistem akuisisi data. Perangkat keras sistem pengendalian pH dapat direpresentasikan dalam bentuk skema seperti pada gambar 3.1 dibawah ini:



Gambar 3.1 Skema Perangkat Keras *Miniplant* Sistem Pengendalian pH



Sedangkan desain *miniplant* sistem pengendalian pH dapat direpresentasikan seperti gambar 3.2.



Gambar 3.2 Miniplant Sistem Pengendalian pH

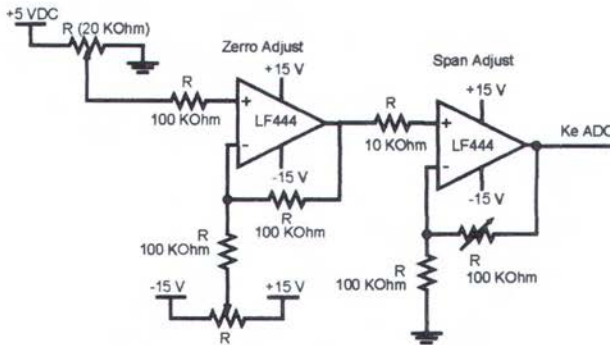
Tangki pencampur memiliki dua masukan aliran yaitu aliran larutan asam ( $\text{HCL}$  0,1 M) dan aliran larutan basa ( $\text{NaOH}$  0,1 M) dengan sistem semi batch. Dalam hal ini sensor diletakkan didalam tangki reaksi. Agar pencampuran antara larutan asam dan larutan basa bisa menghasilkan larutan yang homogen maka perlu ditambahkan pengaduk. Variabel yang dikendalikan adalah pH yang di dapat dari hasil pencampuran dua larutan tersebut. Sedangkan variabel yang dimanipulasi adalah besarnya aliran larutan basa. Sensor yang digunakan adalah pH elektrode dan sebagai aktuator digunakan motor valve.

### 3.1.1 Rangkaian Pengkondisi Sinyal

Sinyal dari *pH elektrode* adalah sinyal analog berupa tegangan - 282 sampai dengan 282 milivolt sehingga masih harus dikondisikan menjadi tegangan yang sesuai dengan range masukan ADC yaitu 0 – 5 volt. Untuk mengkondisikan tegangan tersebut maka dibutuhkan rangkaian pengkondisi sinyal yang

dapat diatur range keluarannya, rangkaian pengkondisi sinyal menggunakan op-amp.

Karena keluaran dari sensor pH dipengaruhi oleh suhu cairan yang kita ukur maka perlu kita buat kompensator suhu yang kita gabung dengan rangkaian pengkondisi sinyal dari sensor pH tersebut. Kompensator suhu kita rancang berada pada Range  $25^{\circ}\text{C}$  -  $40^{\circ}\text{C}$ . Rangkaian pengkondisi sinyal dapat dilihat pada gambar 3.3.



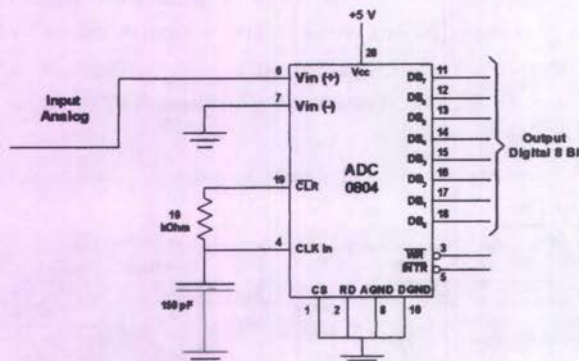
Gambar 3.3 Rangkaian pengkondisi sinyal

Op-amp yang digunakan dalam tugas akhir ini merupakan Integrated Circuit (IC) keluaran National Semiconductor dengan seri LF444. Nilai minimum keluaran sensor pH elektrode dikondisikan sehingga memberikan keluaran tegangan 0 volt dan nilai maksimum sensor dikondisikan menjadi tegangan 5 volt untuk bisa dibaca oleh ADC. Proses pengesetan ini dapat dilakukan dengan memutar dua *variable resistor* sebagai *span* dan *zero*.

### 3.1.2 Analog To Digital Converter (ADC)

Analog to digital converter digunakan untuk mengkonversi sinyal analog yang berasal dari sensor pH

elektrode menjadi sinyal digital sehingga dapat diolah oleh kontroler. Dalam tugas akhir ini digunakan ADC 0804 produksi *National Semiconductor* yang dapat merubah sinyal analog menjadi sinyal digital delapan bit.



Gambar 3.4 Rangkaian ADC (Natioanal Semiconductor, 1999)

Rangkaian ADC ditunjukkan seperti pada gambar 3.4. ADC 0804 mempunyai waktu konversi 103-114  $\mu$ s. Masukan ADC berasal dari pengkondisi sinyal null-span bernilai antara 0 sampai 5 Volt.  $V_{in(-)}$  dihubungkan ke ground dan keluaran unit penguat dihubungkan pada  $V_{in(+)}$ . Kaki tegangan referensi dibiarkan terbuka sehingga besarnya nilai tegangan referensi adalah sama dengan tegangan *supply* ( $V_{cc}$ ) yaitu sebesar 5 volt. Clock dari ADC memakai pembangkit internal, sehingga hanya diperlukan sebuah hambatan dan kapasitor yang dihubungkan pada jalur CLK-R dan CLK-IN. Dengan frekuensi yang disarankan  $f = 640$  kHz, dengan nilai kapasitor  $C = 150$  pF nilai  $R$  dapat dicari dari persamaan :

$$f = \frac{1}{1,1 RC} \quad (3.1)$$

sehingga didapatkan nilai  $R = 9,5$  k $\Omega$ . Dengan menyesuaikan nilai yang ada dipasaran diperoleh  $R = 10$  k $\Omega$ . Untuk memulai konversi



jalur CS dan WR harus diberi logika 0, selesainya konversi ditandai dengan logika 0 pada jalur INTR. Apabila jalur INTR berlogika 0 maka data siap dibaca. Untuk membaca data jalur CS dan RD harus berlogika nol. Resolusi konversi dari ADC ini adalah 5/256 Volt/bit, artinya setiap perubahan tegangan sebesar 19.53125 milivolt akan merubah sebesar satu bit biner.

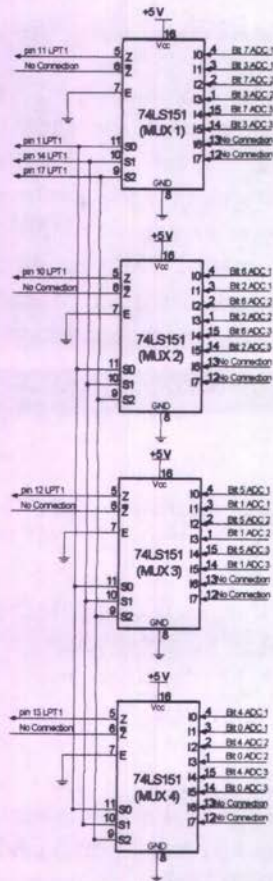
### 3.1.3 Rangkaian Eksternal Paralel Port

Rangkaian eksternal paralel port adalah rangkaian multiplexer yang digunakan untuk mengatur jalur input. Jumlah port yang berfungsi sebagai input pada paralel port hanya 5 pin sehingga untuk mengatasi input yang lebih dari lima bit maka dibutuhkan rangkaian eksternal. Dalam tugas akhir ini membutuhkan input berjumlah 24 bit yaitu berasal dari tiga ADC 8 bit. Prinsip yang digunakan pada dasarnya menggunakan metode *nibble mode* dengan sedikit modifikasi.

$$Z = \bar{E} \cdot (I_0 \cdot \bar{S}_0 \cdot \bar{S}_1 \cdot \bar{S}_2 + I_1 \cdot S_0 \cdot \bar{S}_1 \cdot \bar{S}_2 + I_2 \cdot \bar{S}_0 \cdot S_1 \cdot \bar{S}_2 + I_3 \cdot S_0 \cdot S_1 \cdot \bar{S}_2 + I_4 \cdot \bar{S}_0 \cdot \bar{S}_1 \cdot S_2 + I_5 \cdot S_0 \cdot \bar{S}_1 \cdot S_2 + I_6 \cdot \bar{S}_0 \cdot S_1 \cdot S_2 + I_7 \cdot S_0 \cdot S_1 \cdot S_2) \quad (3.2)$$

Rangkaian eksternal yang digunakan seperti pada gambar 3.5 menggunakan empat buah multiplexer 74LS151 yang di drive secara bersamaan pada selektor  $S_0$ ,  $S_1$  dan  $S_2$ . Jika selektor  $S_0$ ,  $S_1$  dan  $S_2$  diberikan logika 0 maka jalur input yang digunakan adalah jalur  $I_0$  sehingga yang akan disambungkan ke paralel port adalah bit 4 sampai bit 7 ADC1, jika  $S_0$  diberi logika 1 sedangkan  $S_1$  dan  $S_2$  diberi logika 0 maka jalur input yang digunakan adalah jalur  $I_1$  sehingga yang akan disambungkan ke paralel port adalah bit 0 sampai bit 3. Jika  $S_0$  dan  $S_2$  diberi logika 0 sedangkan  $S_1$  diberi logika 1 maka jalur input yang digunakan adalah jalur  $I_2$  sehingga yang akan disambungkan ke paralel port adalah bit 4 sampai bit 7 ADC2, jika  $S_0$  dan  $S_1$  diberi logika 1 sedangkan  $S_2$  diberi logika 0 maka jalur input yang digunakan adalah jalur  $I_3$  sehingga yang

akan disambungkan ke paralel port adalah bit 0 sampai bit 3 ADC2. Jika  $S_0$  dan  $S_1$  diberi logika 0 sedangkan  $S_2$  diberi logika 1 maka jalur input yang digunakan adalah jalur  $I_4$  sehingga yang akan disambungkan ke paralel port adalah bit 4 sampai bit 7 ADC3. Jika  $S_0$  dan  $S_2$  diberi logika 1 sedangkan  $S_1$  diberi logika 0 maka jalur input yang digunakan adalah jalur  $I_5$  sehingga yang akan disambungkan ke paralel port adalah bit 0 sampai bit 3 ADC3.



Gambar 3.5 Rangkaian eksternal paralel port (Motorola, 1998)

Berikut ini adalah tabel kebenaran Multiplexer 74LS151.

Tabel 3.1. Tabel Kebenaran Multiplexer 74LS151 (Motorola, 1998)

E	S <sub>2</sub>	S <sub>1</sub>	S <sub>0</sub>	I <sub>0</sub>	I <sub>1</sub>	I <sub>2</sub>	I <sub>3</sub>	I <sub>4</sub>	I <sub>5</sub>	I <sub>6</sub>	I <sub>7</sub>	Z	Z
H	X	X	X	X	X	X	X	X	X	X	X	H	L
L	L	L	L	L	X	X	X	X	X	X	X	H	L
L	L	L	L	H	X	X	X	X	X	X	X	L	H
L	L	L	H	X	L	X	X	X	X	X	X	H	L
L	L	L	H	X	H	X	X	X	X	X	X	L	H
L	L	H	L	X	X	L	X	X	X	X	X	H	L
L	L	H	L	X	X	H	X	X	X	X	X	L	H
L	L	H	H	X	X	X	L	X	X	X	X	H	L
L	L	H	H	X	X	X	H	X	X	X	X	L	H
L	H	L	L	X	X	X	X	L	X	X	X	H	L
L	H	L	L	X	X	X	X	H	X	X	X	L	H
L	H	L	H	X	X	X	X	X	L	X	X	H	L
L	H	L	H	X	X	X	X	X	H	X	X	L	H
L	H	H	L	X	X	X	X	X	X	L	X	H	L
L	H	H	L	X	X	X	X	X	X	H	X	L	H
L	H	H	H	X	X	X	X	X	X	X	L	H	L
L	H	H	H	X	X	X	X	X	X	X	H	L	H

H = HIGH Voltage Level

L = LOW Voltage Level

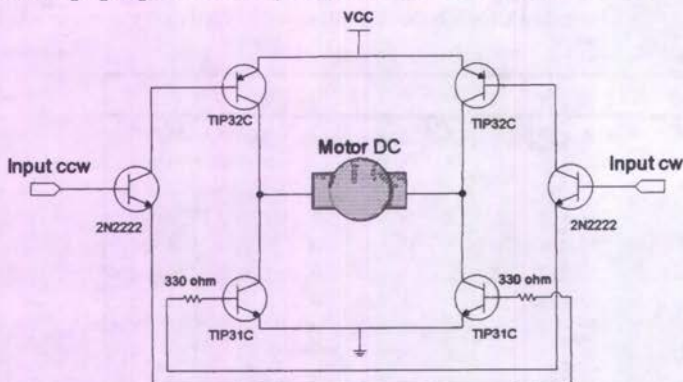
X = Don't Care

### 3.1.4 Driver Motor

Driver motor digunakan untuk memanipulasi gerakan motor yang digunakan untuk membuka dan menutup kontrol valve pada aliran fluida panas. Jenis motor yang digunakan adalah motor DC 22 volt sehingga dibutuhkan driver motor DC dua arah dan sensor posisi bukaan valve. Sensor posisi menggunakan potensiometer, manfaat sensor posisi disini adalah digunakan untuk mengetahui persentase bukaan valve, selain itu juga mempermudah dalam proses pemberian sinyal kontrol pada motor valve. Rangkaian driver motor menggunakan 4 buah

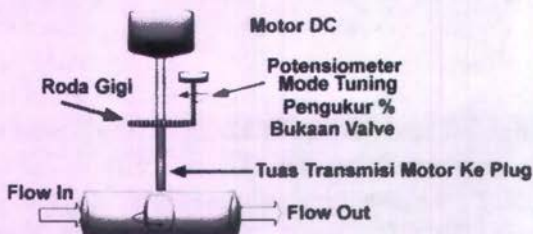


transistor npn yaitu tipe TIP31C dan 2N2222 serta 2 buah transistor pnp tipe TIP32C yang difungsikan sebagai saklar.



Gambar 3.6 Rangkaian Driver motor

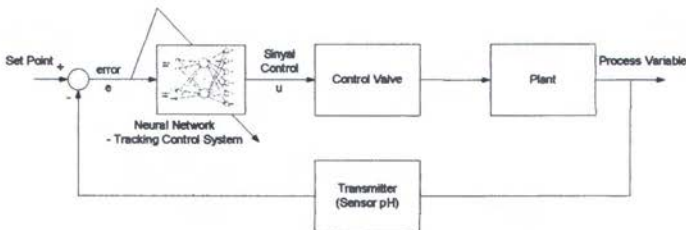
Prinsip kerja dari rangkaian driver motor adalah dengan merubah arah aliran arus yang melewati motor yakni dengan cara memberikan sinyal (logika 1) pada input cw sedangkan input ccw tidak diberi sinyal (logika 0) maka gerak motor akan searah jarum jam dan sebaliknya jika input cw tidak diberi sinyal (logika 0) sedangkan input ccw diberi sinyal (logika 1) maka gerak motor akan berlawanan arah jarum jam. Pada Gambar 3.7 ini dapat dilihat desain control valve yang digunakan pada *miniplant* pengendalian pH.



Gambar 3.7 Control Valve *miniplant* pengendalian pH

### 3.2 Perancangan Perangkat Lunak

Perangkat lunak yang dirancang adalah meliputi perangkat lunak yang berfungsi sebagai kontroler, training, dan unit input dan output yang dapat diintegrasikan dengan perangkat keras sehingga dapat diimplementasikan secara online. Blok diagram sistem secara keseluruhan adalah pada gambar 3.8 berikut:

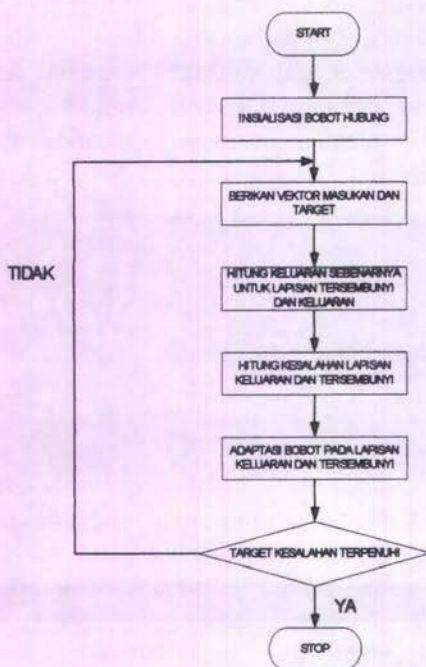


Gambar 3.8 Blok diagram sistem Pengendalian pH.

Perangkat lunak yang dirancang pertama kali adalah proses pembelajaran menggunakan jaringan syaraf tiruan dengan algoritma pembelajaran *backpropagation*, kemudian dilanjutkan dengan perancangan sistem kontrol dengan menggunakan jaringan syaraf tiruan secara online.

#### 3.2.1 Pelatihan JST Backpropagation

Struktur jaringan syaraf tiruan yang digunakan dalam model proses sistem ini adalah multilayer perceptron yang terdiri dari tiga lapis/layer yaitu lapis input, lapis hidden dengan fungsi aktivasi bipolar sigmoid dan lapis output dengan fungsi aktivasi bipolar sigmoid. Metode training atau pelatihan yang digunakan adalah *Backpropagation*. Proses pelatihan menggunakan 82 pasang data input dan output. Tingkat kesesuaian dari model dapat diukur menggunakan RMSE (*Root Mean Square Error*). Di bawah ini adalah gambar *flowchart* proses pelatihan



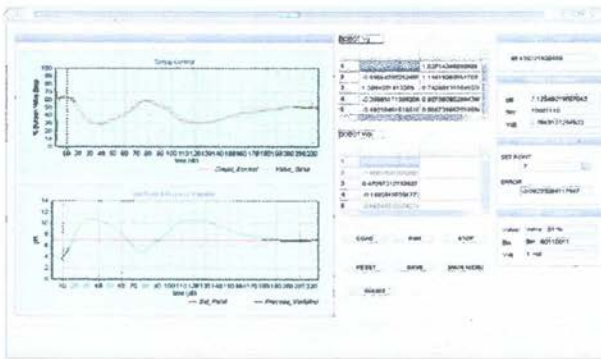
Gambar 3.9. Flowchart proses pelatihan (Laurence, 1994)

### 3.2.2 Sistem Pengendalian

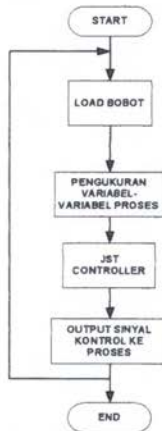
Perangkat lunak sistem pengendalian pH dirancang dengan menggunakan bahasa pemrograman delphi 7 dan sistem operasi yang kompatibel adalah windows 98, ME, 2000, dan Windows XP Profesional. Perangkat lunak yang dirancang terdiri dari beberapa komponen utama yaitu komponen input/output, motor positioner, user interface, dan kontroler. Komponen input/output berfungsi untuk mengambil dan mengirim data dari komputer ke plant atupun sebaliknya, motor positioner berfungsi untuk mengendalikan posisi motor sehingga dapat melakukan aksi yang



dapat membuka dan menutup kontrol valve, user interface adalah tampilan yang berhadapan langsung dengan operator sehingga dapat merubah parameter seperti setpoint, learning rate, bobot jaringan ataupun sampling time serta melihat respon proses dalam bentuk grafik dan nilai-nilai angka. kode program input/output, motor positioner, dan kontroler diberikan dalam lampiran. Flowchart program kontroler terdapat pada gambar 3.11. User interface atau tampilan program ditunjukkan pada gambar dibawah ini :



Gambar 3.10 Tampilan Perangkat lunak Sistem Pengendalian pH



Gambar 3.11 Flowchart program kontroler



## BAB IV

### PENGUJIAN DAN ANALISA

#### 4.1 Pengujian Perangkat keras

Pengujian ini dilakukan terhadap perangkat keras yang meliputi sensor pH, pengkondisi sinyal, Analog to Digital konverter (ADC), Driver motor beserta kontrol valve. Sebelum dilakukan pengujian pada semua perangkat keras tersebut maka terlebih dahulu dilakukan pengukuran.

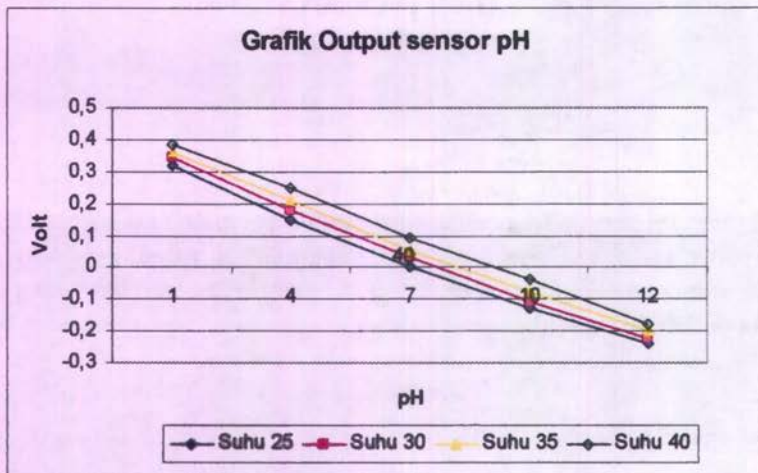
##### 4.1.1 Pengukuran Sensor pH

Pengujian ini dilakukan dengan menggunakan cairan buffer dengan nilai pH 1, 4, 7, 10 dan pH 12. Selain itu kita juga merubah suhu dari cairan tersebut untuk mendapatkan karakteristik sensor pH terhadap perubahan suhu. Range perubahan suhu yang kita gunakan adalah  $25^{\circ}\text{C}$  -  $40^{\circ}\text{C}$ . Sensor pH kita masukkan dalam cairan buffer kemudian kita ukur tegangan output dari sensor tersebut. Hasil dari pengukuran dapat dilihat pada tabel 4.1 dan grafik dapat dilihat pada gambar 4.1. Dari data itu terlihat bahwa output sensor pH cukup linier untuk perubahan suhu cairan dari range  $25^{\circ}\text{C}$  -  $40^{\circ}\text{C}$ .

Tabel 4.1 Hasil Pengukuran Output Sensor pH.

pH	Output Sensor pH (Volt)			
	$25^{\circ}\text{C}$	$30^{\circ}\text{C}$	$35^{\circ}\text{C}$	$40^{\circ}\text{C}$
1	0,32	0,344	0,36	0,386
4	0,148	0,18	0,21	0,25
7	0,001	0,03	0,05	0,09
10	-0,13	-0,11	-0,08	-0,04
12	-0,242	-0,224	-0,2	-0,178





Gambar 4.1 Grafik Output Sensor pH.

Linieritas masing-masing tegangan output sensor pH adalah sebagai berikut:

Jika sensor pH diukur pada suhu  $25^{\circ}\text{C}$ , maka didapatkan persamaan matematis

$$y = -0.1402x + 0,44 \quad (4.1)$$

Jika sensor pH diukur pada suhu  $30^{\circ}\text{C}$ , maka didapatkan persamaan matematis

$$y = -0.1426x + 0.4718 \quad (4.2)$$

Jika sensor pH diukur pada suhu  $35^{\circ}\text{C}$ , maka didapatkan persamaan matematis

$$y = -0.141x + 0.491 \quad (4.3)$$

Jika sensor pH diukur pada suhu 40°C, maka didapatkan persamaan matematis

$$y = -0.1418x + 0.527 \quad (4.4)$$

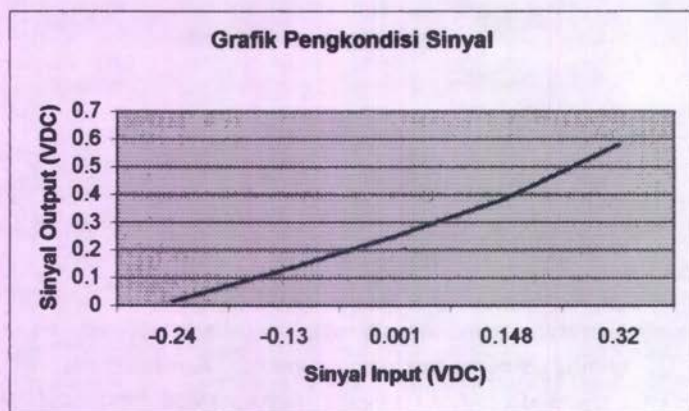
#### 4.1.2 Pengukuran dan Pengujian Rangkaian Pengkondisi Sinyal

Pengukuran rangkaian pengkondisi sinyal dilakukan dengan memberikan sinyal masukan yang berupa tegangan DC dari *regulator* untuk mendapatkan harga span dan zero yang diinginkan. Nilai range output dari sensor pH adalah - 282 sampai dengan +282 milivolt, sedangkan nilai masukan ADC adalah 0 – 5 volt DC sehingga perlu adanya penguatan. Kalibrasi dilakukan dengan cara merubah harga resistansi pada *variabel resistor* zero dan span pada rangkaian pengkondisi sinyal untuk mendapatkan nilai tegangan yang ditentukan berdasar pada range sinyal masukan yang telah ada, yakni berkisar antara 0 – 5 Volt DC. Setelah proses kalibrasi dilakukan, maka proses pengujian dilakukan dengan mengambil 6 titik daerah pengujian dan melakukan pengujian sebanyak 10 kali dari pengambilan data. Sehingga didapatkan hasil pengujian seperti ditunjukkan pada tabel 4.2 dan gambar 4.2.

Tabel 4.2 hasil pengujian dan kalibrasi pengkondisi sinyal

pH	Sinyal input (Volt DC)	Teg. konversi (Volt DC)	Sinyal Output (Volt DC)	Error
12	-0,24	0,000	0,015	0,015
10	-0,13	0,110	0,13	0,020
7	0,001	0,240	0,25	0,010
4	0,148	0,368	0,388	0,010
1	0,32	0,560	0,580	0,020
Error rata-rata				0,015

Didapatkan grafik input terhadap output pengkondisi sinyal seperti pada gambar 4.2.



Gambar 4.2 Grafik kelinieritasan pengkondisi sinyal

Dari pengujian dan kalibrasi pengkondisi sinyal didapatkan nilai error pengujian rata-rata sebesar 0,015. Nilai ini didapatkan dengan cara membandingkan antara sinyal keluaran rangkaian pengkondisi sinyal yang sebenarnya dengan hasil perhitungan secara matematis. Berdasarkan tabel 4.2 didapatkan persamaan matematis yang menyatakan hubungan antara sinyal input dan sinyal output rangkaian pengkondisi sinyal seperti dinyatakan dalam persamaan 4.5.

$$y = 0.1388 x - 0.1438 \quad (4.5)$$

dengan,

$y$  = sinyal output rangkaian pengkondisi sinyal (Volt DC).

$x$  = sinyal input rangkaian pengkondisi sinyal (Volt DC).



#### 4.1.3 Pengukuran dan Pengujian ADC

Keluaran dari ADC adalah biner 8-bit dengan nilai desimal 0-255 maka konversi dari keluaran ADC ke tegangan adalah :

$$V_{out} = desimal \times \frac{V_{ref}}{256} \quad (4.6)$$

Pengujian ini dilakukan dengan memberikan sinyal inputan pada ADC berupa tegangan analog DC mulai dari 0 volt sampai dengan 5 volt, kemudian dilakukan pengamatan hasil konversi dengan bantuan perangkat lunak untuk mendapatkan informasi yang diperlukan. Selanjutnya hasil pengukuran dan pengkonversian dari perangkat lunak dibandingkan dengan harga sebenarnya (sinyal inputan). Data diambil 5 sample dengan perubahan kenaikan sinyal tegangan inputan sebesar 0,5 Volt, dan pengujian dilakukan 10 kali sehingga diperoleh 100 data.

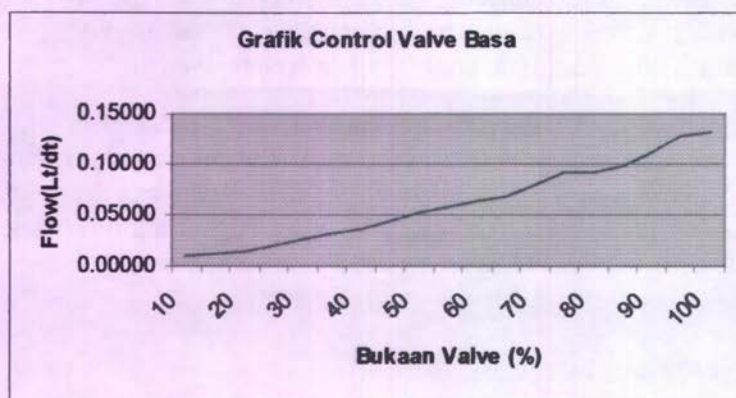
Dari hasil pengujian dan kalibrasi ADC didapatkan nilai error rata-rata sebesar 9,075 mV. Sesuai dengan data sheet dari ADC bahwa maksimum kesalahan pengkonversian yang diijinkan adalah  $\pm 1$  LSB atau  $\pm 19,53125$  mV, maka ADC yang dirancang mempunyai kesalahan konversi yang masih bisa ditolerir.

#### 4.1.4 Pengujian Control Valve

Pengujian ini dilakukan dengan cara memberikan output bukaan valve 0 - 100 % dari komputer dan mencatat besarnya kecepatan aliran larutan basa yang mengalir dari Valve . Hasil pengujian Control Valve ditunjukkan dalam tabel 4.3, yakni dilakukan pengujian dengan setiap kenaikan persen bukaan valve sebesar 5%.

Tabel 4.3. Hasil pengukuran bukaan valve terhadap flow

No.	Bukaan Valve Basa (%)	Flow
1	10	0.05000
2	15	0.03333
3	20	0.02500
4	25	0.02000
5	30	0.01667
6	35	0.01429
7	40	0.01250
8	45	0.01111
9	50	0.01000
10	55	0.00909
11	60	0.00833
12	65	0.00769
13	70	0.00714
14	75	0.00667
15	80	0.00625
16	85	0.00588
17	90	0.00556
18	95	0.00526
19	100	0.00500



Gambar 4.3 Grafik Respon Laju Aliran Terhadap Bukaan Valve

Berdasarkan data pada tabel 4.3 dan grafik 4.3 maka didapatkan hubungan matematik antara persen bukaan valve dan laju aliran (*flow*) larutan basa, yakni  $y = 0.0002x^2 + 0.0034x + 0.0047$  dengan  $x$  adalah persen bukaan control valve untuk larutan basa dan  $y$  adalah besar laju aliran larutan basa (liter/detik).

#### 4.1.5 Pengujian Rangkaian eksternal port paralel

Pengujian ini dilakukan secara keseluruhan dengan memberikan input digital dan mencatat hasil pembacaan oleh perangkat lunak pendukung. Sinyal input digital yang diberikan berasal dari output ADC.

Tabel 4.4 Hasil pengujian rangkaian eksternal paralel port.

No	Perangkat Keras									Perangkat Lunak		
	Tegangan kaki ADC (volt)									Des	Biner	Des
	0	1	2	3	4	5	6	7	Des			
1	0	0	0	0	0	0	0	0	0	0	00000000	0
2	4	4	4	4	0	0	0	0	0	15	11110000	15
3	0	4	4	4	4	0	0	0	0	30	01111000	30
4	4	0	4	4	0	4	0	0	0	45	10110100	45
5	0	0	4	4	4	4	0	0	0	60	00111100	60
6	4	4	0	4	0	0	4	0	0	75	11010010	75
7	0	4	0	4	4	0	4	0	0	90	01011010	90
8	4	0	0	4	0	4	4	0	0	105	10010110	105
9	0	0	0	4	4	4	4	0	0	120	00011110	120
10	4	4	4	0	0	0	0	4	0	135	11100001	135
11	0	4	4	0	4	0	0	4	0	150	01101001	150
12	4	0	4	0	0	4	0	4	0	165	10100101	165
13	0	0	4	0	4	4	0	4	0	180	00101101	180
14	4	4	0	0	0	0	4	4	0	195	11000011	195
15	0	4	0	0	4	0	4	4	0	210	01001011	210
16	4	0	0	0	0	4	4	4	0	225	10000111	225
17	0	0	0	0	4	4	4	4	0	240	00001111	240
18	4	4	4	4	4	4	4	4	0	255	11111111	255

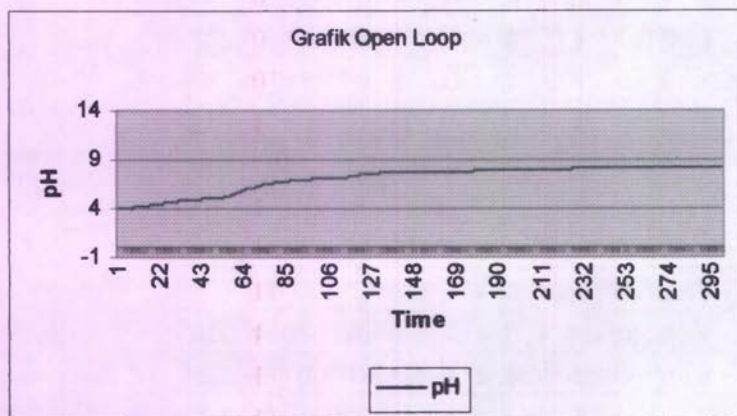


Nilai digital yang berasal dari ADC diukur dengan menggunakan voltmeter digital kemudian dilakukan pembacaan data oleh perangkat lunak untuk dibandingkan nilai yang terukur dalam bentuk desimal. Dari tabel diatas dapat disimpulkan bahwa rangkaian eksternal tersebut memenuhi syarat untuk digunakan baik untuk ADC1, ADC2 maupun ADC3 yang ditunjukkan dengan nilai desimal maupun biner pada perangkat lunak (*warna merah adalah MSB*) sama dengan nilai di perangkat keras.

#### 4.2 Uji Open Loop

Uji open loop dilakukan untuk mengetahui karaktersistik plant yang sebenarnya. Gambar 4.4 adalah grafik hasil uji open loop. Dari grafik pada gambar 4.4 didapatkan fungsi transfer *miniplant* sistem pengendalian pH sebagai berikut:

$$\frac{e^{-t_0s}}{1 + \tau s}$$



Gambar 4.4 Grafik Uji Open Loop

$t_0$  adalah *dead time* atau waktu yang diperlukan sebelum grafik mulai naik yakni 8 detik, sedangkan  $\tau$  adalah 62,3% dari waktu yang diperlukan untuk mencapai keadaan *steady*, yakni sebesar 150,143. Sehingga didapatkan fungsi transfer *miniplant* sistem

pengendalian pH adalah  $\frac{e^{-8s}}{1+150,43s}$ . Dari fungsi transfer

tersebut dapat diketahui bahwa karakteristik plant adalah non-linier.

#### 4.3 Parameter JST

Sebelum menentukan parameter-parameter jaringan syaraf tiruan yang akan digunakan sebagai pengendali, maka dilakukan proses pelatihan dan proses validasi terlebih dahulu. Dalam proses pelatihan digunakan 82 pasang data input (*error*) dan data target (*sinyal kendali*), data untuk proses pelatihan disertakan dalam Lampiran. Untuk memperoleh parameter jaringan syaraf tiruan yang digunakan sebagai pengendali maka dilakukan pelatihan terhadap jaringan syaraf tiruan dengan cara mengubah variasi jumlah *node hidden*, nilai *learning rate* ( $\alpha$ ), dan nilai *momentum* ( $\mu$ ), hingga didapatkan parameter jaringan syaraf tiruan terbaik dengan melihat tingkat kesesuaian model saat diuji atau divalidasi.

Jaringan syaraf tiruan yang digunakan dalam proses pelatihan memiliki parameter-parameter sebagai berikut:

- a. Jumlah *layer*.  
JST yang digunakan jenis *Backpropagation* dengan 3 *layer* yaitu *layer input*, *layer hidden* dan *layer output*.
- b. Jumlah unit tiap *layer*.  
Unit *input* : 1 unit (diambil dari data close loop yang berupa normalisasi sinyal error).  
Unit *hidden* : 30 unit.

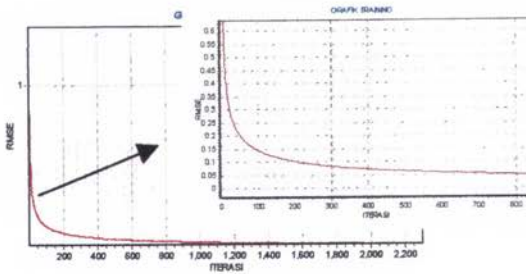
Unit *output* : 1 unit (diambil dari data close loop yang berupa persentase bukaan valve basa dan eror).

Pada *layer input* dan *hidden* masing-masing ditambahkan 1 unit *bias*.

- c. Inisialisasi bobot.  
Bobot diinisialisasikan secara *random* antara  $-0.5$  sampai dengan  $+0.5$ .
- d. Fungsi aktivasi.  
Fungsi aktivasi yang digunakan adalah fungsi *Tangen Hiperbolic* pada *layer hidden*, dan fungsi *Binary Sigmoid* pada *layer output*, hal ini disebabkan karena karakteristik sistem pengendalian pH yang diperoleh dari data close loop bahwa nilai input (*error*) berada pada *range*  $-1$  sampai dengan  $+1$  sedangkan nilai target (*persentase bukaan valve*) berada pada *range*  $0$  sampai dengan  $+1$ .
- e. Nilai *learning rate*.  
Nilai *learning rate* adalah parameter penentu dalam kecepatan belajar jaringan *backpropagation*. Berdasar pada data hasil pembelajaran maka didapatkan nilai  $0,1$  sebagai nilai *learning rate* yang terbaik.
- f. Nilai koefisien momentum.  
Koefisien ini digunakan sebagai alternatif dalam *up-date* bobot. Berdasar pada data hasil pembelajaran maka didapatkan nilai  $0,7$  sebagai nilai *momentum* terbaik.
- g. Data pelatihan.  
Data pelatihan yang digunakan adalah sebanyak 82 pasangan data antara data input model JST (*error*) dan data target model JST (persentase bukaan valve basa) yang didapat dari proses close loop, data training dapat dilihat pada lampiran E.

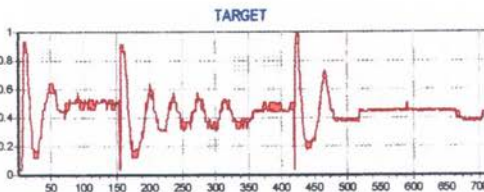
Tingkat kesesuaian dari model yang didapat diukur dengan menggunakan RMSE (*Root Mean Square Error*). Dari grafik 4.5 dapat dilihat bahwa nilai RMSE cenderung turun, dan hingga iterasi ke-2298 nilai RMSE berada pada nilai  $0,03$ .



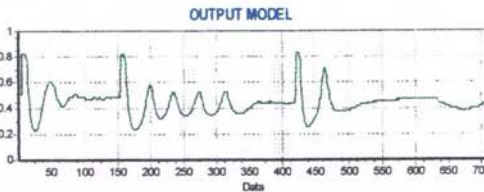


Gambar 4.5 Grafik hasil pembelajaran JST

Namun jika dibandingkan dengan data-data hasil pembelajaran yang mempunyai parameter berbeda dari parameter yang telah dijelaskan sebelumnya, maka bisa dikatakan bahwa parameter JST dengan 1 node input, 30 node hidden, 1 node output, nilai *learning rate* 0,1 dan nilai *momentum* 0,7 adalah yang terbaik, hal ini bisa dilihat pada gambar 4.7, yakni grafik validasi model yang mampu mengikuti pola target yang ditunjukkan pada gambar 4.6. Adapun nilai bobot yang telah diperoleh dari proses pembelajaran dapat dilihat pada tabel 4.5.



Gambar 4.6 Grafik Data Target untuk Validasi model JST



Gambar 4.7 Grafik Output Model hasil Validasi model JST

Tabel 4.5 Nilai bobot dan bias hasil pembelajaran JST

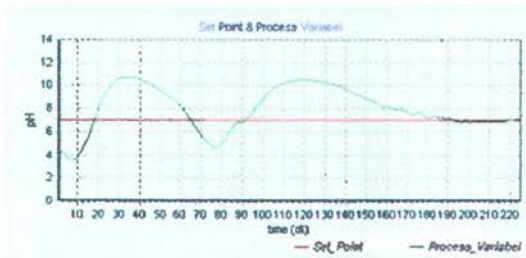
No.	Bobot W <sub>ij</sub> Akhir	Bobot Bias Input	Bobot W <sub>jk</sub> Akhir	Bobot Bias Hidden
1	0.650353	0.5076035	0.4410342	0.988662
2	-2.1915624	0.6875061	-0.5267129	
3	-0.0242539	0.6872199	-0.4316244	
4	-0.1822773	0.7037132	-0.319351	
5	-0.2499485	0.4914231	-0.0354929	
6	0.4043673	0.423951	0.1519386	
7	-0.0384671	0.593379	-0.3005119	
8	-0.6253	0.4921476	0.3045256	
9	0.9530167	0.7502248	0.8193318	
10	0.4043673	0.423951	0.1519386	
11	0.3739283	0.4113098	0.1508878	
12	-0.0546753	0.6968406	-0.4296577	
13	0.0778177	0.5555966	-0.2223233	
14	-0.0823903	0.4586663	-0.0515141	
15	-0.0450603	0.5195819	-0.1886173	
16	-0.6896554	0.526383	0.287283	
17	-0.765608	0.493143	0.356877	
18	0.0368873	0.4982915	-0.1558715	
19	-0.2862805	0.5413283	-0.0758266	
20	0.7154388	0.5578568	0.4526477	
21	0.0065834	0.4795114	-0.1243507	
22	-0.0888443	0.6525419	-0.3516968	
23	0.1897033	0.4882928	-0.0794317	
24	-2.1915624	0.6875061	-0.5267129	
25	-0.4054468	0.537339	0.022229	
26	-0.0501733	0.6433939	-0.3643945	
27	0.1463921	0.4472068	-0.043796	
28	-0.5447267	0.5306249	0.1453042	
29	0.0368873	0.4982915	-0.1558715	
30	-0.0242539	0.6872199	-0.4316244	

Data yang digunakan untuk proses validasi sebanyak 712 pasangan antara data input (*error*) dan data target (*persentase bukaan valve basa*). Dari proses validasi model JST diperoleh nilai RMSE sebesar 0,07574.

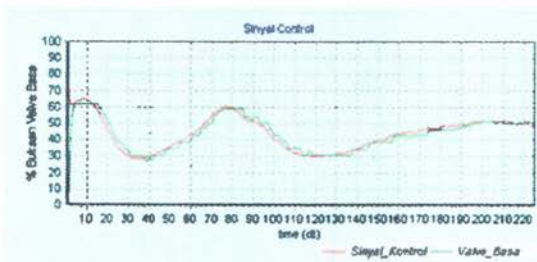
#### 4.4 Sistem Pengendalian pH dengan Menggunakan Jaringan Syaraf Tiruan

Setelah didapatkan parameter yang paling optimal selama proses pelatihan maka parameter-parameter tersebut digunakan sebagai parameter pada proses pengendalian secara online.

Grafik 4.8 dan grafik 4.10 menunjukkan performansi sistem kontrol berbasis jaringan syaraf tiruan seraca on line pada miniplant sistem pengendalian pH. Pada grafik 4.8 dapat dilihat bahwa pada set point pH sama dengan 7, sistem kontrol yang dikembangkan mampu memberikan performansi yang cukup baik. Output proses mampu mengikuti nilai set point yang ditetapkan.



Gambar 4.8 Grafik respon sistem secara online untuk set point pH=7

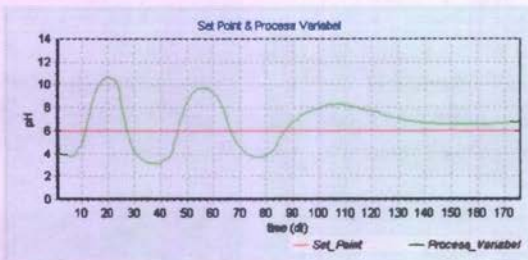


Gambar 4.9 Grafik sinyal kontrol secara online untuk set point pH= 7

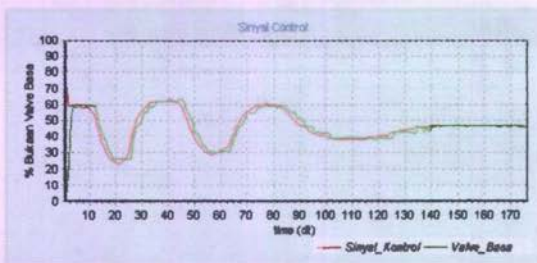


Dari grafik didapatkan nilai  $Tr=20$  detik,  $Mp=33.72\%$ ,  $Ts=190$  detik dengan  $Ess=0.8\%$  dan sampling time 1 detik.

Pada grafik 4.10 dapat dilihat bahwa pada set point pH sama dengan 6, sistem kontrol yang dikembangkan kurang mampu memberikan performansi yang baik.



Gambar 4.10 Grafik respon sistem secara online untuk set point pH= 6



Gambar 4.11 Grafik sinyal kontrol secara online untuk set point pH= 6

Dari grafik didapatkan nilai  $Tr=12$  detik,  $Mp=33.45\%$ ,  $Ts=146$  detik dengan  $Ess=6.5\%$  dan sampling time 1 detik.

## BAB V

### KESIMPULAN DAN SARAN

#### 5.1 Kesimpulan

Dalam tugas akhir ini telah dilakukan implementasi jaringan syaraf tiruan berbasis tracking control system terhadap miniplant pengendalian pH secara on line. Dari penelitian yang dilakukan dapat disimpulkan beberapa hal sebagai berikut :

1. Metode Jaringan Syaraf Tiruan berbasis tracking control system dapat diterapkan dengan baik pada miniplant sistem pengendalian pH.
2. Tidak dibutuhkan pelatihan ulang terhadap JST Controller bila sistem diberi gangguan atau bila terjadi perubahan set point
3. Jaringan syaraf tiruan yang digunakan dalam pengendalian pH menggunakan 1 unit input, 30 unit hidden dan 1 unit output dengan nilai *learning rate* sebesar 0,1 dan nilai *momentum* sebesar 0,7.
4. Sistem kontrol yang dikembangkan mampu menghasilkan performansi untuk set point pH 7 dengan nilai sebagai berikut: *Rise Time*( $T_r$ )=20 detik, *Maksimum Overshoot* ( $M_p$ )=33.72 %, *Settling Time* ( $T_s$ )=190 Rdetik dan *Error Steady State* ( $Ess$ ) = 0.8 %. Sedangkan untuk set point pH 6 didapatkan nilai performansi sebagai berikut:  $T_r$ =12 detik,  $M_p$ =33.45%,  $T_s$ =146 detik dengan  $Ess$ =6.5%.

#### 5.2 Saran

Saran-saran yang dapat diberikan untuk meningkatkan performansi sistem adalah :

1. Untuk pengembangan dan penelitian lebih lanjut perlu ditambahkan kelengkapan data tentang spesifikasi

elemen-elemen pengendali untuk meminimalkan asumsi, dan perbaikan pada segi kualitas hardware baik pada perancangan perangkat elektronik maupun perancangan miniplant sistem pengendalian pH.

2. Dapat digunakan metode jaringan syaraf tiruan yang lain untuk mendapatkan performansi sistem yang lebih baik.



## DAFTAR PUSTAKA

- Christian, Gary D. 2004. **Analytical Chemistry**. Washington: John Willey & Sons. Inc.
- Cordova, Hendra. 1999. **Perancangan Neuroregulator Pada Sistem Pengereman Antilock**. Tesis Magister. Program Studi Instrumentasi dan Control. Program Pascasarjana ITB.
- Doherty, Sean Kevin. 1999. **Control of pH In Chemical Processes Using Artificial Neural Network**. Tesis Ph.D., Liverpool John Moores University.
- Fausett, Laurence. 1994. **Fundamentals of Neural Networks Architectures, Alghoritms, and Applications**. Prentice Hall, Englewood Cliffs.
- Gunterus F. 1994. **Falsafah Dasar Sistem Pengendalian Proses**. Jakarta: Elex Media Komputindo.
- Johnson, Curtis D. 1997. **Process Control Instrumentation Technology**. New Jersey: Prentice – Hall International.
- Kusumadewi, Sri. 2004. **Membangun Jaringan Syaraf Tiruan Menggunakan MATLAB & EXCEL LINK**. Yogyakarta: Graha Ilmu.
- Mubarok, M. Nurdin. 2004. **Implementasi Sistem Kontrol Prediktif Berbasis Jaringan Syaraf Tiruan Secara Online Pada PCT13**. Teknik Fisika ITS: Tugas Akhir Program Studi Rekayasa Instrumentasi.
- Rasiawan. 2002. **Rancang Bangun Sistem Pengendalian Proses Netralisasi pH Berbasis PC Dengan Motor Stepper sebagai Aktuator Control Valve**. Teknik Fisika ITS: Tugas Akhir, Program Studi Rekayasa Instrumentasi.
- Tai, Heng-Ming, Junli Wang and Kaveh Ashenayi. 1992. **A Neural Network – Based Tracking Control System**. IEEE Transaction On Industrial Electronics, vol 39, No. 6.
- Wijaya, Andry Fitra. 2004. **Perancangan Kontroler Neuro PID Self Tuning Berbasis Jaringan Syaraf Tiruan Pada Proses Netralisasi pH di PT Petrokimia Gresik**. Teknik

Fisika ITS: Tugas Akhir, Program Studi Rekayasa Instrumentasi.

Yien, Jean Peter. 2001. **Measuring, Modeling and Controlling the pH Value and the Dynamic Chemical State.**

Finland: Helsinki University of Technology. Espoo.

[www.sensorex.com/support/education/ph\\_education.html](http://www.sensorex.com/support/education/ph_education.html)

[www.senet.com.au/~cpeacock](http://www.senet.com.au/~cpeacock)

Datasheet SN54/74LS151 MOTOROLA

Datasheet ADC0804 National Semiconductor

## LAMPIRAN A

### LISTING PROGRAM JST TRAINING

unit UTraining:

interface

uses

Windows, Messages, SysUtils, Variants, Classes, Graphics, Controls, Forms,  
Dialogs, SkinCtrls, SkinData, DynamicSkinForm, StdCtrls, SkinGrids,  
ExtCtrls, Mask, SkinBoxCtrls, Menus, math, spSkinShellCtrls;

type

```
TFrm_Training = class(TForm)
  spSkinPanel1: TspSkinPanel;
  spDynamicSkinForm1: TspDynamicSkinForm;
  spSkinData1: TspSkinData;
  spStoredSkin1: TspStoredSkin;
  button_Random: TspSkinXFormButton;
  spSkinPanel2: TspSkinPanel;
  spSkinPanel3: TspSkinPanel;
  spSkinGroupBox1: TspSkinGroupBox;
  Ed_Input: TspSkinEdit;
  Ed_Hiden: TspSkinEdit;
  Ed_Output: TspSkinEdit;
  Ed_Learning: TspSkinEdit;
  Ed_Momentum: TspSkinEdit;
  spSkinLabel1: TspSkinLabel;
  spSkinLabel2: TspSkinLabel;
  spSkinLabel3: TspSkinLabel;
  spSkinLabel4: TspSkinLabel;
  spSkinLabel5: TspSkinLabel;
  Timer_Training: TTimer;
  spSkinMainMenu1: TspSkinMainMenu;
  spSkinMainMenuBar1: TspSkinMainMenuBar;
  File1: TMenuItem;
  Rando1: TMenuItem;
  Help1: TMenuItem;
  MainMenu1: TMainMenu;
  HalamanUtama1: TMenuItem;
  Exit1: TMenuItem;
  spSkinGroupBox2: TspSkinGroupBox;
  spSkinGroupBox3: TspSkinGroupBox;
  StringGrid_Data_Input: TspSkinStringGrid;
  spSkinScrollBar_H_Input: TspSkinScrollBar;
  spSkinScrollBar_V_Input: TspSkinScrollBar;
  spSkinGroupBox4: TspSkinGroupBox;
  StringGrid_Target: TspSkinStringGrid;
  spSkinScrollBar_H_Target: TspSkinScrollBar;
  spSkinScrollBar_V_Target: TspSkinScrollBar;
  Button_Load_Data: TspSkinXFormButton;
  spSkinGroupBox5: TspSkinGroupBox;
  StringGrid_Vij: TspSkinStringGrid;
  spSkinScrollBar_H_Vij: TspSkinScrollBar;
  spSkinScrollBar_V_Vij: TspSkinScrollBar;
  spSkinGroupBox6: TspSkinGroupBox;
  StringGrid_Wjk: TspSkinStringGrid;
  spSkinScrollBar_H_Wjk: TspSkinScrollBar;
  spSkinScrollBar_V_Wjk: TspSkinScrollBar;
  spSkinGroupBox7: TspSkinGroupBox;
  spSkinGroupBox8: TspSkinGroupBox;
  StringGrid_Vij_Akhir: TspSkinStringGrid;
  spSkinScrollBar_H_Vij_Akhir: TspSkinScrollBar;
  spSkinScrollBar_V_Vij_Akhir: TspSkinScrollBar;
  StringGrid_Wjk_Akhir: TspSkinStringGrid;
```





```

spSkinScrollBar_H_Wjk_akhir: TspSkinScrollBar;
spSkinScrollBar_V_Wjk_Akhir: TspSkinScrollBar;
spSkinLabel6: TspSkinLabel;
ed_JO: TspSkinEdit;
Button_Normalisasi: TspSkinXFormButton;
Button_Run: TspSkinXFormButton;
spSkinStdLabel1: TspSkinStdLabel;
spSkinStdLabel2: TspSkinStdLabel;
LoadData1: TMenuItem;
Normalisasi1: TMenuItem;
Run1: TMenuItem;
Lbl_MSE: TspSkinStdLabel;
Ed_ERROR: TspSkinEdit;
ED_RMSE: TspSkinEdit;
Lbl_RMSE: TspSkinStdLabel;
bt_Stop: TspSkinButton;
bt_Reset: TspSkinButton;
GRAFIKTRAINING1: TMenuItem;
bt_Save: TspSkinButton;
ONLINE1: TMenuItem;
ESADC1: TMenuItem;
spSkinStdLabel3: TspSkinStdLabel;
ed_ITERASI: TspSkinEdit;
ed_max_Nerasi: TspSkinEdit;
spSkinStdLabel4: TspSkinStdLabel;
spSkinPanel4: TspSkinPanel;
spSkinButtonLabel1: TspSkinButtonLabel;
VALIDASI1: TMenuItem;
SaveDialog1: TspSkinSaveDialog;
SaveDialog2: TspSkinSaveDialog;
Image1: TImage;
ComboBox_Aktifasi_Output: TspSkinComboBox;
ComboBox_Aktifasi_Hidden: TspSkinComboBox;
spSkinStdLabel5: TspSkinStdLabel;
spSkinStdLabel6: TspSkinStdLabel;
spSkinStdLabel7: TspSkinStdLabel;
spSkinStdLabel8: TspSkinStdLabel;
procedure button_RandomClick(Sender: TObject);
procedure FormCreate(Sender: TObject);
procedure HalamanUtama1Click(Sender: TObject);
procedure Rando1Click(Sender: TObject);
procedure Exit1Click(Sender: TObject);
procedure Timer_TrainingTimer(Sender: TObject);
procedure Button_Load_DataClick(Sender: TObject);
procedure Button_NormalisasiClick(Sender: TObject);
procedure Button_RunClick(Sender: TObject);
procedure bt_StopClick(Sender: TObject);
procedure bt_ResetClick(Sender: TObject);
procedure GRAFIKTRAINING1Click(Sender: TObject);
procedure bt_SaveClick(Sender: TObject);
procedure ONLINE1Click(Sender: TObject);
procedure ESADC1Click(Sender: TObject);
procedure VALIDASI1Click(Sender: TObject);
private
{ Private declarations }
public
{ Public declarations }
end;

var

dr,dr1,dr2,dr5:integer;
dr3,dr4:single;
Frm_Training: TFrm_Training;
Inp_K_inp1,Outp_K_Outp,Outp1,Jearate,momentum:single;

Bobot_ij:array[0..10,1..1000]of single;
Bobot_V_ij,Bobot_W_jk,Vil_New,Wjk_New,Bobot_jk:array[0..10,0..1000]of single;

```

```

Delta_Bias_Hidd,Delta_Bias_Inp,Delta_Vij,Vij:array[0..10,0..1000] of Single;
Del1,Def_Zln,Del_In,Delta_Wjk,Wjk: array[0..1000,0..1000] of Single;
Z_In,Zj: array [0..1000,0..1000] of single;
Yin,Y_In,Yk,m,n: array [0..1000] of single;
data_inp:array[1..1000,1..5] of single;
Delta_Bias_Output,Del2,err_data_outp:array[0..1000] of single;

```

```

errormax,RMSE,RMS,MSE,SSE:single;
bias_inp,bias_hidd,x,hidd:integer;

```

```

alfa,A:single;

```

```

Target:integer;
aktif,selesai:boolean;

```

```

Vij_last, Wjk_Last: array [0..1000,0..1000] of single;

```

```

implementation

```

```

uses UMainMenu, ULoad_Data_Train, UAktifasi,UGrafik_Iterasi, UTesADC, U_Validasi;
{$R *.dfm}

```

```

procedure TFrm_Training.button_RandomClick(Sender: TObject);
var
  i,j,k,d:integer;
begin

```

```

momentum:=StrToFloat(Ed_Momentum.Text);

```

```

{-----kondisi jika target terpenuhi proses berakhir-----}

```

```

StringGrid_Vij.RowCount:=(StrToInt(Ed_Hidden.Text)+1);
StringGrid_Wjk.RowCount:=(StrToInt(Ed_Hidden.Text)+2);
StringGrid_Vij_Akhir.RowCount:=(StrToInt(Ed_Hidden.Text)+1);
StringGrid_Wjk_Akhir.RowCount:=(StrToInt(Ed_Hidden.Text)+2);
if (learate>1)or (learate<0) or (momentum>1)or (momentum<0) then
begin

```

```

  ShowMessage('Momentum dan Learning rate harap '+
    'diisi nilai dengan range 0 - 1');

```

```

  exit;

```

```

end

```

```

else

```

```

  begin

```

```

    Bias_inp:=StrToInt(Ed_Input.Text)+1;

```

```

    bias_hidd:=StrToInt(Ed_Hidden.Text)+1;

```

```

{-----Ngerandom Bobot Awal NN-----}

```

```

{-----Input Layer-----}

```

```

for i:=1 to StrToInt(Ed_Input.Text) do
  for j:=1 to StrToInt(Ed_Hidden.Text) do
    begin

```

```

      Bobot_ij[0,j]=1;

```

```

{----Untuk mendapatkan nilai bobot awal secara acak----}
{----dengan range nilai -0.5 sampai dengan 0.5-----}

```

```

      Bobot_ij[i,j]:=(random(11)-5)/10;

```

```

{----UpdateVij[i,j]:=(random(11)-5)/10;-----}
{----j baris pada StringGridVij-----}

```

```

      StringGrid_Vij.Cells[0,j]:=inttostr(j); {jumlah node hidden}
      StringGrid_Vij.Cells[i,0]:=inttostr(i); {jumlah node input}

```

```

{----i kolom pada StringGridVij-----}

```

```
StringGrid_Vij.Cells[i,j]:=floatToStr(Bobot_ij[i,j]);
StringGrid_Vij_Akhir.Cells[i,j]:=StringGrid_Vij.Cells[i,j];

{-----nilai -1 pada baris j kolom 1 di StringGridVij (bias hidden)-----}
```

```
StringGrid_Vij.Cells[bias_inp,j]:=floatToStr(Bobot_ij[0,j]);
StringGrid_Vij_Akhir.Cells[bias_inp,j]:=StringGrid_Vij.Cells[bias_inp,j];
StringGrid_Vij.Cells[bias_inp,0]:='Bobot Bias';
StringGrid_Data_Input.Cells[1,0]:='e'+IntToStr(i)+'';
StringGrid_Data_Input.Cells[bias_inp,0]:='Input Bias';
```

```
end;
```

```
{-----Output Layer-----}
```

```
for lc:=1 to StrToInt(Ed_Output.Text) do
for j:=1 to StrToInt(Ed_Hiden.Text) do
begin
```

```
Bobot_jk[k,0]:=1;
```

```
{-----Untuk mendapatkan nilai bobot awal secara acak-----}
{-----dengan range nilai -0.5 sampai dengan 0.5-----}
```

```
Bobot_jk[k,j]:=random(11)-5/10;
```

```
{-----UpdateWjk[k,j]:=random(11)-5/10;-----}
```

```
StringGrid_Wjk.Cells[0,j]:=inttostr(i);
StringGrid_Wjk.Cells[k,0]:=inttostr(k);
StringGrid_Wjk.Cells[k,j]:=floatToStr(Bobot_jk[k,j]);
StringGrid_Wjk_Akhir.Cells[k,j]:=StringGrid_Wjk.Cells[k,j];
StringGrid_Wjk.Cells[k,bias_hidd]:=floatToStr(Bobot_jk[k,0]);
StringGrid_Wjk_Akhir.Cells[k,bias_hidd]:=StringGrid_Wjk.Cells[k,bias_hidd];
```

```
end;
```

```
end;
```

```
end;
```

```
procedure TFrm_Training.FormCreate(Sender: TObject);
var i,d:integer;
begin
StringGrid_Data_Input.Cells[0,0]:='No.';
StringGrid_Target.Cells[0,0]:='No.';
StringGrid_Target.Cells[1,0]:='u(n)';
StringGrid_Target.RowCount:=StrToInt(ed_IO.Text)+1;
StringGrid_Target.Cells[1,0]:='Target';
alfa:=StrToFloat(Ed_Learning.Text);
bias_hidd:=StrToInt(Ed_Hiden.Text)+1;
bias_inp:=StrToInt(Ed_Input.Text)+1;
Target:=StrToInt(Ed_Output.Text);
end;
```

```
procedure TFrm_Training.HalamanUtama1Click(Sender: TObject);
begin
Form1.Show;
Frm_Training.Hide;
end;
```

```
procedure TFrm_Training.Rando1Click(Sender: TObject);
begin
button_RandomClick(Sender);
end;
```



```

procedure TFrm_Training.Exit1Click(Sender: TObject);
begin
  Application.Terminate;
end;

procedure TFrm_Training.Timer_TrainingTimer(Sender: TObject);
var
  i,j,k,r:integer;
begin
  ed_ITERASI.Text:=IntToStr(x);

  for r:=1 to StrToInt(ed_IO.Text) do
  begin
    {-----Looping Data Input Ke Hidden-----}

    for j:=1 to StrToInt(Ed_Hiden.Text) do
    begin
      for i:=1 to StrToInt(Ed_Input.Text) do
      begin

        Z_in[r,j]:=Vij_New[bias_inp,j]+data_inp[r,i]*Vij_New[i,j];

        if (ComboBox_Aktifasi_Hidden.Text='T') then
        begin
          Zj[r,j]:=f2(z_in[r,j]);
        end
        else
          if (ComboBox_Aktifasi_Hidden.Text='L') then
          begin
            Zj[r,j]:=f4(Z_in[r,j]);
          end
          else
            if (ComboBox_Aktifasi_Hidden.Text='BP') then
            begin
              Zj[r,j]:=f1(Z_in[r,j]);
            end
            else
              if (ComboBox_Aktifasi_Hidden.Text='BN') then
              begin
                Zj[r,j]:=f3(Z_in[r,j]);
              end;
            end;
          end;
        end;

      end;
    end;

    {-----Looping Data Hidden to Output-----}

    Y_in[1]:=0;
    for k:=1 to StrToInt(Ed_Output.Text) do
    begin
      for j:=1 to StrToInt(Ed_Hiden.Text) do
      begin

        if (x=1) and (r=1) then
        begin
          Wjk[k,j]:=Wjk_new[k,j];
          Y_in[k]:=Y_in[k]+Zj[r,j]*Wjk[k,j];
        end

        else
        begin
          Wjk[k,j]:=Wjk_new[k,j];
          Wjk[k,bias_hidd]:=Wjk_new[k,bias_hidd];
          Y_in[k]:=Y_in[k]+Zj[r,j]*Wjk[k,j];
        end;
      end;
    end;
  end;
end;

```

```

end;

if (r=1) and (x=1) then
  begin
    yin[k]:=Wjk[k,bias_hidd]+Y_In[k];
  end

  else
  begin
    yin[k]:=StrToFloat(StringGrid_Wjk_Akhir.Cells[k,bias_hidd])+Y_In[k];
  end;

  if (ComboBox_Aktifasi_Output.Text='L') then
  begin
    yk[k]:=f4(yin[k]);
  end
  else
  if (ComboBox_Aktifasi_Output.Text='BP') then
  begin
    yk[k]:=f1(yin[k]);
  end
  else
  if (ComboBox_Aktifasi_Output.Text='T') then
  begin
    yk[k]:=f2(yin[k]);
  end
  else
  if (ComboBox_Aktifasi_Output.Text='BN') then
  begin
    yk[k]:=f3(yin[k]);
  end;

err[r]:=StrToFloat(StringGrid_Target.Cells[1,r])-Yk[k];
SSE:=SSE+sqr(err[r]);
Ed_ERROR.Text:=FloatToStr(err[r]);
if (ComboBox_Aktifasi_Output.Text='BP') then
  begin
    Del2[r]:=err[r]*def1(yk[k]);
  end
  else
  if (ComboBox_Aktifasi_Output.Text='T') then
  begin
    Del2[r]:=err[r]*def2(yk[k]);
  end
  else
  if (ComboBox_Aktifasi_Output.Text='BN') then
  begin
    Del2[r]:=err[r]*def3(yk[k]);
  end
  else
  if (ComboBox_Aktifasi_Output.Text='L') then
  begin
    Del2[r]:=err[r]*def4(yk[k]);
  end;

end;

Delta_Bias_Output[r]:=alfa*Del2[r]; (Perubahan Bobot Bias, delta(B2k))

```

←—————Informasi error dari output Layer—————→

```

for k:=1 to StrToInt(Ed_Output.Text) do
  begin
    for j:=1 to StrToInt(Ed_Hiden.Text) do
      begin
        Delta_Wjk[k,j]:=alfa*Del2[r]*Zj[r,j];
        Delta_Bias_Hidd[k,bias_hidd]:=alfa*Del2[r]; {delta B2 output}
      end;
    end;
  end;

```

end;

{-----Informasi error dari hidden layer-----}

```

for k:=1 to StrToInt(Ed_Output.Text) do
for j:=1 to StrToInt(Ed_Hiden.Text) do
begin
    Del_in[r,j]:=Del2[r]*Wjk[k,j];

    if (ComboBox_Aktifasi_Hidden.Text='BP') then
    begin
        Def_Zln[r,j]:=Def1(Zj[r,j]);
        end
    else
    if (ComboBox_Aktifasi_Hidden.Text='T') then
    begin
        Def_Zln[r,j]:=Def2(Zj[r,j]);
        end
    else
    if (ComboBox_Aktifasi_Hidden.Text='BN') then
    begin
        Def_Zln[r,j]:=Def3(Zj[r,j]);
        end
    else
    if (ComboBox_Aktifasi_Hidden.Text='L') then
    begin
        Def_Zln[r,j]:=Def4(Zj[r,j]);
        end;

    Del1[r,j]:=Del_in[r,j]*Def_Zln[r,j];
end;

```

```

for j:=1 to StrToInt(Ed_Hiden.Text) do
for i:=1 to StrToInt(Ed_Input.Text) do
begin
    Delta_Vij[i,j]:=alfa*Del1[r,j]*Data_inp[r,j];
    Delta_Bias_Inp[bias_inp,j]:=alfa*Del1[r,j];
end;

```

{-----Update Bobot-----}

```

for k:=1 to StrToInt(Ed_Output.Text) do
for j:=1 to StrToInt(Ed_Hiden.Text) do
begin
    Wjk_New[k,j]:=Wjk[k,j]+delta_Wjk[k,j];

    Wjk_New[k,bias_hidd]:=StrToFloat(StringGrid_Wjk.Cells[k,bias_hidd])
    +Delta_Bias_Hidd[k,bias_hidd];

    StringGrid_Wjk_Akhir.Cells[k,j]:=FloatToStr(Wjk[k,j]);
    StringGrid_Wjk_Akhir.Cells[k,bias_hidd]:=FloatToStr(Wjk[k,bias_hidd]);
end;

```

```

for j:=1 to StrToInt(Ed_Hiden.Text) do
For i:=1 to StrToInt(Ed_Input.Text) do
begin
    Vij[i,j]:=Vij[i,j]+delta_Vij[i,j];

    Vij_New[i,j]:=Vij[i,j];

    Vij[bias_inp,j]:=Vij[bias_inp,j]+Delta_Bias_Inp[bias_inp,j];

    Vij_New[bias_inp,j]:=Vij[bias_inp,j];

```



```

StringGrid__Vij_Akhir.Cells[i,j]:=FloatToStr(Vij[i,j]);

StringGrid__Vij_Akhir.Cells[bias_inp,j]:=FloatToStr(Vij[bias_inp,j]);
end;

END; (end of r)
inc(x);

RMSE:=sqrt(SSE/x);
ED_RMSE.Text:=FloatToStr(RMSE);
Form_Train.Series1.AddXY(x,StrToFloat(ED_RMSE.Text),"cIRed");
SSE:=0;

if (x>StrToInt(ed_Max_iterasi.Text)) or (RMSE<0.03) then
Timer_Training.Enabled:=false;

for i:=1 to StrToInt(Ed_input.Text) do
for j:=1 to StrToInt(Ed_Hiden.Text) do
begin
Vij_Last[i,j]:=StrToFloat(StringGrid__Vij_Akhir.Cells[i,j]);
Vij_Last[bias_inp,j]:=StrToFloat(StringGrid__Vij_Akhir.Cells[i+1,j]);
end;

for k:=1 to StrToInt(Ed_Output.Text) do
for j:=1 to StrToInt(Ed_Hiden.Text) do
begin
Wjk_Last[k,j]:=StrToFloat(StringGrid_Wjk_Akhir.Cells[k,j]);
Wjk_Last[k,bias_hiddj]:=StrToFloat(StringGrid_Wjk_Akhir.Cells[k,bias_hiddj]);
end;
end;

procedure TFrm_Training.Button_Load_DataClick(Sender: TObject);
begin
with Form_Load do
begin
Show;
Caption:='Load Data Input & Output Target';
Group_in.Caption:='Data Input';
Group_Out.Caption:='Data Output Target';
Button_Training.Visible:=True;
Bt_JST_Control.Visible:=False;
bt_Validasi_Data.Visible:=False;
bt_LOAD_BOBOT.Visible:=False;
Open_Dialog_in.Title:='Open Data Input';
Open_Dialog_Out.Title:='Open Data Output';
end;
end;

procedure TFrm_Training.Button_NormalisasiClick(Sender: TObject);
var i,j,k,d,r:integer;
begin
if StringGrid_Data_Input.Cells[1,1]='' then
MessageDlg('Anda belum memasukkan data-data pada tabel.',mtInformation,[mbOK],0)
else
for d:=1 to StrToInt(Ed_input.Text) do
for r:=1 to StrToInt(ed_IO.Text) do
begin
Inp:=StrToFloat(StringGrid_Data_Input.Cells[d,r]);
if Inp>K_inp then K_inp:=Inp;
end;

for d:=1 to StrToInt(Ed_input.Text) do
for r:=1 to StrToInt(ed_IO.Text) do
begin
Inp1:=StrToFloat(StringGrid_Data_Input.Cells[d,r]);
StringGrid_Data_Input.Cells[d,r]:=FloatToStr(Inp1/K_inp);
end;

```

```

for r:=1 to StrToInt(ed_IO.Text) do
begin
  Outp:=StrToFloat(StringGrid_Target.Cells[1,r]);
  if Outp>K_Outp then K_Outp:=Outp;
end;

for r:=1 to StrToInt(ed_IO.Text) do
begin
  Outp1:=StrToFloat(StringGrid_Target.Cells[1,r]);
  StringGrid_Target.Cells[1,r]:=FloatToStr(Outp1/K_Outp);
end;

end;

procedure TFrm_Training.Button_RunClick(Sender: TObject);
var i,j,k,r:integer;
begin
if StringGrid_Data_Input.Cells[1,1]=" then
  MessageDlg('Masukkan data-data, kemudian klik Normalisasi sehingga '+
    'bisa dilakukan Proses Training.',mtInformation,[mbOK],0)
else
begin
for i:=1 to StrToInt(Ed_Input.Text)+1 do {jumlah node input}
for r:=1 to StrToInt(ed_IO.Text) do {jumlah pasangan data input}
  data_inp[r,i]:=StrToFloat(StringGrid_Data_Input.Cells[i,r]);

for r:=1 to StrToInt(ed_IO.Text) do
  data_outp[r]:=StrToFloat(StringGrid_Target.Cells[1,r]);

for i:=1 to StrToInt(Ed_Input.Text)+1 do
for j:=1 to StrToInt(Ed_Hidden.Text) do
begin
  Vij[i,j]:=StrToFloat(StringGrid_Vij.Cells[i,j]);
  Bobot_V_ij[i,j]:=StrToFloat(StringGrid_Vij.Cells[i,j]);
  Vij_New[i,j]:=StrToFloat(StringGrid_Vij_Akhir.Cells[i,j]);
end;

for k:=1 to StrToInt(Ed_Output.Text) do
for j:=1 to StrToInt(Ed_Hidden.Text)+1 do
begin
  Wjk[k,j]:=StrToFloat(StringGrid_Wjk.Cells[k,j]);
  Bobot_W_jk[k,j]:=StrToFloat(StringGrid_Wjk.Cells[k,j]);
  Wjk_New[k,j]:=StrToFloat(StringGrid_Wjk_Akhir.Cells[k,j]);
end;

x:=1;
alfa:=StrToFloat(Ed_Learning.Text);
bias_hidd:=StrToInt(Ed_Hidden.Text)+1;
bias_inp:=StrToInt(Ed_Input.Text)+1;
SSE:=0;
RMS:=0;
RMSE:=0;
Timer_Training.Enabled:=True;
dr:=StrToInt(Ed_Input.Text);
dr1:=StrToInt(Ed_Hidden.Text);
dr2:=StrToInt(Ed_Output.Text);
dr3:=StrToFloat(Ed_Learning.Text);
dr4:=StrToFloat(Ed_Momentum.Text);
dr5:=StrToInt(ed_IO.Text);
end;

end;

procedure TFrm_Training.bt_StopClick(Sender: TObject);
begin
  Timer_Training.Enabled:=False;
end;

```

## A-10

```

procedure TFrm_Training.bt_ResetClick(Sender: TObject);
var i,j,k,r,d:integer;
begin
  Timer_Training.Enabled:=False;
  for r:=1 to StrToInt(ed_IO.Text) do
    begin
      StringGrid_Data_Input.Cells[1,r]:="";
      StringGrid_Data_Input.Cells[2,r]:="";
      StringGrid_Target.Cells[1,r]:="";
      StringGrid_Target.Cells[2,r]:="";
    end;

  for i:=1 to StrToInt(Ed_Input.Text)+1 do
  for j:=1 to StrToInt(Ed_Hidden.Text) do
    begin
      StringGrid_Vij.Cells[i,j]:="";
      StringGrid_Vij_Akhir.Cells[i,j]:="";
    end;

  for k:=1 to StrToInt(Ed_Output.Text) do
  for j:=1 to StrToInt(Ed_Hidden.Text) do
    begin
      StringGrid_Wjk.Cells[k,j]:="";
      StringGrid_Wjk_Akhir.Cells[k,j]:="";
    end;

  Ed_ERROR.Text:="";
  ED_RMSE.Text:="";
  Form_Train.Series1.Clear;
  Form_Train.Series2.Clear;
end;

procedure TFrm_Training.GRAFIKTRAINING1Click(Sender: TObject);
begin
  Form_Train.Show;
end;

procedure TFrm_Training.bt_SaveClick(Sender: TObject);
var
  FDATA:TextFile;
  i,j,c:integer;
begin
  Timer_Training.Enabled:=False;
  if SaveDialog1.Execute then
    begin
      AssignFile(FDATA,SaveDialog1.FileName);
      Rewrite(FDATA);
      Writeln(FDATA,'          Data-data Hasil Pelatihan JST);
      Writeln(FDATA,'-----');
      Writeln(FDATA,'');
      Writeln(FDATA,'Jumlah Node Input : ',dr);
      Writeln(FDATA,'Jumlah Node Hidden : ',dr1);
      Writeln(FDATA,'Jumlah Node Output : ',dr2);
      Writeln(FDATA,'Learning Rate : ',dr3:5:2);
      Writeln(FDATA,'Momentum : ',dr4:5:2);
      Writeln(FDATA,'Jumlah Data : ',dr5);
      Writeln(FDATA,'RMSE : ',RMSE:6:4);
      Writeln(FDATA,'Jumlah Iterasi : ',x-1);
      Writeln(FDATA,'');
      Writeln(FDATA,'-----');
      Writeln(FDATA,'');
      Writeln(FDATA,'No. Bobot Vj Akhir Bobot Bias Input ');
      Writeln(FDATA);
      for j:=1 to StrToInt(Ed_Hidden.Text) do
        Writeln(FDATA,j:4,' ',Vij_Last[1,j]:10:7,' ',Vij_Last[2,j]:10:7);
      Writeln(FDATA);
      Writeln(FDATA);
      Writeln(FDATA,'-----');
      Writeln(FDATA);
    end;
end;

```

```

WriteIn(FData,' No. Bobot Wjk Akhir');
WriteIn(FData);
for j:=1 to StrToInt(Ed_Hiden.Text) do
  writeIn(FData,j:4,' ',Wjk_Last[1,j]:10:7);
WriteIn(FData);
WriteIn(FData);
WriteIn(FData,'-----');
WriteIn(FData,' Bobot Bias Hidden');
WriteIn(FData);
WriteIn(FData,' ',Wjk_Last[1,bias_hidd]:10:7);
WriteIn(FData);
WriteIn(FData,'=====');
WriteIn(FData);
WriteIn(FData,' No. Bobot Vj Awal Bobot Bias Input Awal');
for i:=1 to StrToInt(Ed_Input.Text) do
  for j:=1 to StrToInt(Ed_Hiden.Text) do
    begin
      Write(FData,j:4,' ',Bobot_V_ij[i,j]:10:7,' ');
      WriteIn(FData,Bobot_V_ij[i+1,j]:10:7);
    end;
  WriteIn(FData);
  WriteIn(FData,'=====');
  WriteIn(FData);
  WriteIn(FData,' No. Bobot Wjk Awal Bobot Bias Hidden Awal');
  for k:=1 to StrToInt(Ed_Output.Text) do
    for j:=1 to StrToInt(Ed_Hiden.Text) do
      begin
        Write(FData,j:4,' ',Bobot_W_jk[k,j]:10:7,' ');
        WriteIn(FData,Bobot_W_jk[k,StrToInt(Ed_Hiden.Text)+1]:10:7);
      end;
    WriteIn(FData);
    WriteIn(FData,'=====');
  CloseFile(FDATA);
end;
if SaveDialog2.Execute then
  Form_Train.Chart1.SaveToMetafileEnh(SaveDialog2.FileName);

end;

procedure TFrm_Training.ONLINE1Click(Sender: TObject);
begin
  frmTESADC.Show;
  frmTESADC.Caption:='ONLINE';
  frmTESADC.Panel_Controller.Visible:=True;
  Form1.Hide;
end;

procedure TFrm_Training.ESADC1Click(Sender: TObject);
begin
  Form1.Timer1.Enabled:=False;
  form1.Hide;
  frmTesADC.Show;
  frmTESADC.Panel_Controller.Visible:=False;
end;

procedure TFrm_Training.VALIDASI1Click(Sender: TObject);
begin
  Frm_Training.Hide;
  Form_Train.Hide;
  frm_Validasi.Show;
end;

end.

```





## LAMPIRAN B

### LISTING PROGRAM VALIDASI JST

unit U\_Validasi;

interface

uses

Windows, Messages, SysUtils, Variants, Classes, Graphics, Controls, Forms,  
Dialogs, StdCtrls, Grids, TeeProcs, TeEngine, Chart, ExtCtrls, Menus,  
Series, Gauges, SkinCtrls, DynamicSkinForm, spSkinShellCtrls,  
SkinBoxCtrls;

type

```
Tfrm_Validasi = class(TForm)
  GroupBox1: TGroupBox;
  StringGrid_Data_Input: TStringGrid;
  StringGrid_Data_Target: TStringGrid;
  GroupBox2: TGroupBox;
  StringGrid_Bobot_Vij: TStringGrid;
  StringGrid_Bobot_Wjk: TStringGrid;
  Label1: TLabel;
  Label2: TLabel;
  Label3: TLabel;
  Label4: TLabel;
  ed_RMSE: TEdit;
  Label5: TLabel;
  bt_RUN: TButton;
  bt_LOAD_DATA: TButton;
  bt_LOAD_BOBOT: TButton;
  bt_Normalisasi: TButton;
  Button1: TButton;
  Panel1: TPanel;
  Chart1: TChart;
  Series1: TFastLineSeries;
  Panel2: TPanel;
  StringGrid_OUTPUT: TStringGrid;
  Label7: TLabel;
  MainMenu1: TMainMenu;
  File1: TMenuItem;
  View1: TMenuItem;
  GroupBox3: TGroupBox;
  Label8: TLabel;
  Label9: TLabel;
  Label10: TLabel;
  Label11: TLabel;
  Input_Text: TEdit;
  Hidden_Text: TEdit;
  Output_Text: TEdit;
  IO_Text: TEdit;
  Timer_Validasi: TTimer;
  Gauge: TGauge;
  bt_Validasi_Finish: TButton;
  LOADDATA1: TMenuItem;
  LOADBOBOT1: TMenuItem;
  NORMALISASI1: TMenuItem;
  RUN1: TMenuItem;
  SAVE1: TMenuItem;
  EXIT1: TMenuItem;
  HalamanUtama1: TMenuItem;
  spDynamicSkinForm1: TspDynamicSkinForm;
  spSkinMainMenu1: TspSkinMainMenu;
  spSkinMainMenuBar1: TspSkinMainMenuBar;
  File2: TMenuItem;
  LOADDAT1: TMenuItem;
```

## B-2

```
A1: TMenuItem;
NORMALISASI2: TMenuItem;
RUN2: TMenuItem;
View2: TMenuItem;
HalamanUtama2: TMenuItem;
Exit2: TMenuItem;
Timer_Complete: TTimer;
bt_RESET: TButton;
RESET1: TMenuItem;
Label12: TLabel;
RAININGJST1: TMenuItem;
RAININGJST2: TMenuItem;
SaveDialog1: TspSkinSaveDialog;
SaveDialog2: TspSkinSaveDialog;
spSkinStdLabel1: TspSkinStdLabel;
CmbBox_Aktifasi_Hidden: TspSkinComboBox;
spSkinStdLabel2: TspSkinStdLabel;
CmbBox_Aktifasi_Output: TspSkinComboBox;
spSkinStdLabel5: TspSkinStdLabel;
spSkinStdLabel6: TspSkinStdLabel;
spSkinStdLabel7: TspSkinStdLabel;
spSkinStdLabel8: TspSkinStdLabel;
Chart2: TChart;
Series2: TFastLineSeries;
SaveDialog3: TspSkinSaveDialog;
spSkinPanel4: TspSkinPanel;
spSkinButtonLabel1: TspSkinButtonLabel;
procedure bt_LOAD_DATAClick(Sender: TObject);
procedure bt_LOAD_BOBOTClick(Sender: TObject);
procedure bt_NormalisasiClick(Sender: TObject);
procedure bt_RUNClick(Sender: TObject);
procedure Button1Click(Sender: TObject);
procedure Timer_ValidasiTimer(Sender: TObject);
procedure EXIT1Click(Sender: TObject);
procedure LOADDATA1Click(Sender: TObject);
procedure LOADBOBOT1Click(Sender: TObject);
procedure NORMALISASI1Click(Sender: TObject);
procedure RUN1Click(Sender: TObject);
procedure HalamanUtama1Click(Sender: TObject);
procedure LOADDAT1Click(Sender: TObject);
procedure Exit2Click(Sender: TObject);
procedure A1Click(Sender: TObject);
procedure NORMALISASI2Click(Sender: TObject);
procedure RUN2Click(Sender: TObject);
procedure HalamanUtama2Click(Sender: TObject);
procedure Timer_CompleteTimer(Sender: TObject);
procedure bt_Validasi_FinishClick(Sender: TObject);
procedure bt_RESETClick(Sender: TObject);
procedure RESET1Click(Sender: TObject);
procedure RAININGJST1Click(Sender: TObject);
procedure RAININGJST2Click(Sender: TObject);
private
{ Private declarations }
public
{ Public declarations }
end;

var
frm_Validasi: Tfrm_Validasi;
inp_K_inp.Inp1_outp_k_outp.Outp1: single;
Zj_Z_In,Wjk,Vij,data_inp: array [1..1000,1..1000] of single;
err,yk,yin,Y_In,data_outp: array [1..1000] of single;
x,bias_inp,bias_hidd: integer;
RMS,SSE,RMSE,RMSE2: single;
implementation
uses ULoad_Data_Train, UMainMenu, UTraining, UAktifasi;
{$R *.dfm}
```

{----- Prosedur Untuk Loading Data Input (error) dan Output (Target) -----}

```

procedure Tfrm_Validasi.bt_LOAD_DATAClick(Sender: TObject);
begin
if (IO_Text.Text='0') or (Hidden_Text.Text='') then
begin
MessageDlg('Apakah jumlah Data IO yang akan di Uji'
+ ' sudah disetting?', mtInformation, [mbOK], 0);
IO_Text.SetFocus;
end
else

with Form_Load do
begin
Show;
Caption:='Load Data Input & Output Target (Validasi)';
Group_In.Caption:='Data Input (Validasi)';
Group_Out.Caption:='Data Output (Target)';
bt_Validasi_Data.Visible:=True;
Button_Training.Visible:=False;
Bt_JST_Control.Visible:=False;
bt_LOAD_BOBOT.Visible:=False;
Open_Dialog_In.Title:='Open Data Input (Validasi)';
Open_Dialog_Out.Title:='Open Data Output (Validasi)';
end;
end;

procedure Tfrm_Validasi.bt_LOAD_BOBOTClick(Sender: TObject);
begin
if (Hidden_Text.Text='0') or (Hidden_Text.Text='') then
begin
MessageDlg('Apakah jumlah node hidden'
+ ' sudah disetting?', mtInformation, [mbOK], 0);
Hidden_Text.SetFocus;
end
else

with Form_Load do
begin
Show;
Caption:='Load Bobot Vij & Bobot Wjk (Hasil Training)';
Group_In.Caption:='Bobot Vij (Hasil Training)';
Group_Out.Caption:='Bobot Wjk (Hasil Training)';
bt_LOAD_BOBOT.Visible:=True;
bt_Validasi_Data.Visible:=False;
Button_Training.Visible:=False;
Bt_JST_Control.Visible:=False;
Open_Dialog_In.Title:='Open Bobot Vij (Hasil Training)';
Open_Dialog_Out.Title:='Open Bobot Wjk (Hasil Training)';
end;
end;

procedure Tfrm_Validasi.bt_NormalisasiClick(Sender: TObject);
var i,j,k,d,r:integer;
begin
if StringGrid_Data_Input.Cells[1,1]='' then
MessageDlg('Anda belum memasukkan data input!!!', mtInformation, [mbOK], 0)
else
for d:=1 to StrToInt(Input_Text.Text) do
for r:=1 to StrToInt(IO_Text.Text) do
begin
Inp:=StrToFloat(StringGrid_Data_Input.Cells[d,r]);
if Inp>K_inp then K_inp:=Inp;
end;

for d:=1 to StrToInt(Input_Text.Text) do
for r:=1 to StrToInt(IO_Text.Text) do
begin
Inp1:=StrToFloat(StringGrid_Data_Input.Cells[d,r]);
StringGrid_Data_Input.Cells[d,r]:=FloatToStr(Inp1/K_inp);
end;

```



## B-4

```

for r:=1 to StrToInt(IO_Text.Text) do
begin
  Outp:=StrToFloat(StringGrid_Data_Target.Cells[1,r]);
  if Outp>K_Outp then K_Outp:=Outp;
end;

for r:=1 to StrToInt(IO_Text.Text) do
begin
  Outp1:=StrToFloat(StringGrid_Data_Target.Cells[1,r]);
  StringGrid_Data_Target.Cells[1,r]:=FloatToStr(Outp1/K_Outp);
end;
end;

procedure Tfrm_Validasi.bt_RUNClick(Sender: TObject);
var i,j,k,r:integer;
begin
if StringGrid_Data_Input.Cells[1,1]='*' then
  MessageDlg('Masukkan data-data, kemudian klik Normalisasi sehingga '+'
  'bisa dilakukan Proses Validasi.',mInformation,[mbOK],0)
else

begin
  for i:=1 to StrToInt(Input_Text.Text)+1 do {jumlah node input}
  for r:=1 to StrToInt(IO_Text.Text) do {jumlah pasangan data input}
  data_inp[r,i]:=StrToFloat(StringGrid_Data_Input.Cells[r,i]);

  for r:=1 to StrToInt(IO_Text.Text) do
  data_outp[r]:=StrToFloat(StringGrid_Data_Target.Cells[1,r]);

  for i:=1 to StrToInt(Input_Text.Text)+1 do
  for j:=1 to StrToInt(Hidden_Text.Text) do
  begin
    V[i,j]:=StrToFloat(StringGrid_Bobot_V[i,Cells[j,j]));
  end;

  for k:=1 to StrToInt(Output_Text.Text) do
  for j:=1 to StrToInt(Hidden_Text.Text)+1 do
  begin
    W[j,k]:=StrToFloat(StringGrid_Bobot_W[j,k,Cells[k,j]));
  end;

  x:=1;
  Y_In[1]:=0;
  SSE:=0;
  RMSE:=0;
  Gauge.MaxValue:=StrToInt(IO_Text.Text);
  StringGrid_OUTPUT.RowCount:=StrToInt(IO_Text.Text);
  StringGrid_OUTPUT.Cells[1,0]:=Output Model JST';
  bias_inp:=StrToInt(Input_Text.Text)+1;
  bias_hidd:=StrToInt(Hidden_Text.Text)+1;
  Timer_Validasi.Interval:=100;
  Timer_Validasi.Enabled:=True;
end;
end;

procedure Tfrm_Validasi.Button1Click(Sender: TObject);
begin
Form1.Show;
frm_Validasi.Hide;
end;

[***** ALLAHU AKBAR *****]
procedure Tfrm_Validasi.Timer_ValidasiTimer(Sender: TObject);
var
  i,j,k,r:integer;
begin
  {-----Looping Data Input Ke Hidden-----}

```

```

for j:=1 to StrToInt(Hidden_Text.Text) do
begin
for i:=1 to StrToInt(Input_Text.Text) do
begin
Z_In[x,j]:=vij[2,j]+data_inp[x,i]*Vij[i,j]; {bias_inp = 2}

if (CmbBox_Aktifasi_Hidden.Text='T') then
begin
Zj[x,j]:=f2(z_in[x,j]);
{Zj[r,j]:=(1-exp(-1*z_in[r,j]))/(1+exp(-1*z_in[r,j]));}
end
else
if (CmbBox_Aktifasi_Hidden.Text='L') then
begin
Zj[x,j]:=f4(Z_In[x,j]);
end
else
if (CmbBox_Aktifasi_Hidden.Text='BP') then
begin
Zj[x,j]:=f1(Z_In[x,j]);
end
else
if (CmbBox_Aktifasi_Hidden.Text='BN') then
begin
Zj[x,j]:=f3(Z_In[x,j]);
end;
{Zj[x,j]:=f2(z_in[x,j])}
{Zj[x,j]:=(1-exp(-1*z_in[x,j]))/(1+exp(-1*z_in[x,j]));}
end;
end;
end;

```

{-----Looping Data Hidden to Output-----}

```

Y_In[1]:=0;
for k:=1 to StrToInt(Output_Text.Text) do
begin
for j:=1 to StrToInt(Hidden_Text.Text) do
begin
Wjk[k,j]:=Wjk[k,j];
Y_In[k]:=Y_In[k]+Zj[x,j]*Wjk[k,j];
end; {end of loop j}

yin[x]:=Wjk[k,bias_hidd]+Y_In[k];

if (CmbBox_Aktifasi_Output.Text='L') then
begin
yk[x]:=f4(yin[x]);
{yk[k]:=(1-(exp(-1*Yin[k])))/(1+(exp (-1*Yin[k])));}
end
else
if (CmbBox_Aktifasi_Output.Text='BP') then
begin
yk[x]:=f1(yin[x]);
{yk[k]:=(1-(exp(-1*Yin[k])))/(1+(exp (-1*Yin[k])));}
end
else
if (CmbBox_Aktifasi_Output.Text='T') then
begin
yk[x]:=f2(yin[x]);
{yk[k]:=(1-(exp(-1*Yin[k])))/(1+(exp (-1*Yin[k])));}
end
else
if (CmbBox_Aktifasi_Output.Text='BN') then
begin
yk[x]:=f3(yin[x]);
{yk[k]:=(1-(exp(-1*Yin[k])))/(1+(exp (-1*Yin[k])));}
end;

StringGrid_OUTPUT.Cells[1,x]:=FloatToStr(yk[x]);

```

## B-6

```

Rms:=Rms+(sqr(data_Outp[x]-y[k]*j));
end; {end of loop k}

Series1.AddXY(x,(data_Outp[x]),cired); {data target}
Series2.AddXY(x,(y[k]*j),cigrreen); {output MODEL JST}
{Rms:=(sqr(data_Outp[x]-y[k]*j))}
Rmse:=(sqr(Rms/n));
RMSE2:=RMSE;
ed_RMSE.Text:=FloatToStr(RMSE);

StringGrid_OUTPUT.Cells[0,x]:=IntToStr(x);
Gauge.Progress:=x;

inc(i);
if x>(StrToInt(fo_Text.Text)) then
begin
  Rmse:=0;
  Timer_Validasi.Enabled:=False;
  Label12.Visible:=True;
  Timer_Complete.Enabled:=True;
  Gauge.Visible:=False;
end;

end;

procedure Tfrm_Validasi.EXIT1Click(Sender: TObject);
begin
  Application.Terminate;
end;

procedure Tfrm_Validasi.LOADDATA1Click(Sender: TObject);
begin
  bt_LOAD_DATAClick(sender);
end;

procedure Tfrm_Validasi.LOABOBOT1Click(Sender: TObject);
begin
  bt_LOAD_BOBOTClick(sender);
end;

procedure Tfrm_Validasi.NORMALISASI1Click(Sender: TObject);
begin
  bt_NormalisasiClick(sender);
end;

procedure Tfrm_Validasi.RUN1Click(Sender: TObject);
begin
  bt_RUNClick(sender);
end;

procedure Tfrm_Validasi.HalamanUtama1Click(Sender: TObject);
begin
  Button1Click(sender);
end;

procedure Tfrm_Validasi.LOADDAT1Click(Sender: TObject);
begin
  bt_LOAD_DATAClick(sender);
end;

procedure Tfrm_Validasi.Ext2Click(Sender: TObject);
begin
  Application.Terminate;
end;

procedure Tfrm_Validasi.A1Click(Sender: TObject);
begin
  bt_LOAD_BOBOTClick(sender);

```

```

end;

procedure Tfrm_Validasi.NORMALISASI2Click(Sender: TObject);
begin
  bt_NormalisasiClick(sender);
end;

procedure Tfrm_Validasi.RUN2Click(Sender: TObject);
begin
  bt_RUNClick(sender);
end;

procedure Tfrm_Validasi.HalamanUtama2Click(Sender: TObject);
begin
  Button1Click(sender);
end;

procedure Tfrm_Validasi.Timer_CompleteTimer(Sender: TObject);
begin
  if Label12.Visible=False then
    Label12.Visible:=True
  else if Label12.Visible=True then
    Label12.Visible:=False;
end;

procedure Tfrm_Validasi.bt_Validasi_FinishClick(Sender: TObject);
var FValidasi:TextFile;
    dr:integer;
begin
  Timer_Complete.Enabled:=False;
  Label12.Visible:=FALSE;
  SaveDialog1.Title:='Save Output Model JST As';
  SaveDialog2.Title:='Save Grafik Validasi As';
  if SaveDialog1.Execute then
    begin
      AssignFile(FValidasi,SaveDialog1.FileName);
      Rewrite(FValidasi);
      Writeln(FValidasi,'');
      Writeln(FValidasi,'          DATA VALIDASI MODEL JST);
      Writeln(FValidasi,'');
      Writeln(FValidasi,' RMSE  :',RMSE2:2:10);
      //Writeln(FVal,'');
      Writeln(FValidasi,'=====');
      Writeln(FValidasi,' No. Target Output model Error);
      Writeln(FValidasi,'=====');
      for dr:=1 to StrToInt(IO_Text.Text) do
        writeln(FValidasi,' dr:4: ',data_Outp[dr]:2:5,' ',yk[dr]:2:5,' ',data_Outp[dr]-yk[dr]:2:5);
      CloseFile(FValidasi);
    end;

  if SaveDialog2.Execute then
    Chart1.SaveToMetafileEnh(SaveDialog2.FileName);
  if SaveDialog3.Execute then
    Chart2.SaveToMetafileEnh(SaveDialog3.FileName);
end;

procedure Tfrm_Validasi.bt_RESETClick(Sender: TObject);
var i,j,k,r,d:integer;
begin
  Timer_Validasi.Enabled:=False;
  Timer_Complete.Enabled:=False;
  for r:=1 to StrToInt(IO_Text.Text) do
    begin
      StringGrid_Data_Input.Cells[1,r]:="";
      StringGrid_Data_Target.Cells[1,r]:="";
      StringGrid_OUTPUT.Cells[1,r]:="";
    end;

  for i:=1 to StrToInt(Input_Text.Text)+1 do
    for j:=1 to StrToInt(Hidden_Text.Text) do

```



## B-8

```
begin
StringGrid_Bobot_Vij.Cells[i,j]:="";
end;

for k:=1 to StrToInt(Output_Text.Text) do
for j:=1 to StrToInt(Hidden_Text.Text)+1 do
begin
StringGrid_Bobot_Wjkc.Cells[k,j]:="";
end;

ed_RMSE.Text:="";
Hidden_Text.Text:='0';
IO_Text.Text:='0';
RMSE:=0;
RMS:=0;

Series1.Clear;
Series2.Clear;
end;

procedure Tfrm_Validasi.RESET1Click(Sender: TObject);
begin
bt_RESETClick(sender);
end;

procedure Tfrm_Validasi.RAININGJST1Click(Sender: TObject);
begin
frm_Validasi.Hide;
Frm_Training.Show;
end;

procedure Tfrm_Validasi.RAININGJST2Click(Sender: TObject);
begin
RAININGJST1Click(sender);
end;

end.
```

## LAMPIRAN C

### Listing Program TES ADC dan JST Controller

```
unit UTesADC;
```

```
interface
```

```
uses
```

```
Windows, Messages, SysUtils, Variants, Classes, Graphics, Controls, Forms,  
Dialogs, SkinCtrls, SkinData, DynamicSkinForm, ExtCtrls, bsSkinData,  
bsSkinCtrls, StdCtrls, Mask, SkinBoxCtrls, ComCtrls, jpeg, TeeProc,  
TeEngine, Chart, Series, SkinGrids, spSkinShellCtrls, Menus;
```

```
type
```

```
TfrmTESADC = class(TForm)  
    spSkinData2: TspSkinData;  
    spStoredSkinADC: TspStoredSkin;  
    spDynamicSkinForm1: TspDynamicSkinForm;  
    spStoredSkin3: TspStoredSkin;  
    spSkinData3: TspSkinData;  
    spSkinGroupBox1: TspSkinGroupBox;  
    spSkinGroupBox2: TspSkinGroupBox;  
    spSkinGroupBox3: TspSkinGroupBox;  
    spSkinPanel1: TspSkinPanel;  
    spSkinXFormButtonRUN: TspSkinXFormButton;  
    spSkinXFormButtonSTOP: TspSkinXFormButton;  
    spSkinXFormButtonSAVE: TspSkinXFormButton;  
    spSkinXFormButtonCLEAR: TspSkinXFormButton;  
    spSkinXFormButtonHALAMAN_UTAMA: TspSkinXFormButton;  
    spSkinXFormButtonEXIT: TspSkinXFormButton;  
    spSkinLabel1: TspSkinLabel;  
    spSkinLabel2: TspSkinLabel;  
    spSkinLabel3: TspSkinLabel;  
    spSkinLabel4: TspSkinLabel;  
    spSkinLabel5: TspSkinLabel;  
    spSkinLabel6: TspSkinLabel;  
    spSkinLabel7: TspSkinLabel;  
    spSkinLabel8: TspSkinLabel;  
    spSkinLabel9: TspSkinLabel;  
    spSkinGroupBox4: TspSkinGroupBox;  
    spSkinGroupBox5: TspSkinGroupBox;  
    spSkinLabel10: TspSkinLabel;  
    spSkinLabel11: TspSkinLabel;  
    spSkinScrollBar_Valve_BASA: TspSkinScrollBar;  
    Timer_Motor: TTimer;  
    Timer_Sampling: TTimer;  
    Image_dark: TImage;  
    Image_light: TImage;  
    spSkinPanel2: TspSkinPanel;  
    Chart1: TChart;  
    Series1: TFastLineSeries;  
    Series2: TFastLineSeries;  
    Series3: TFastLineSeries;  
    Series4: TFastLineSeries;  
    spSkinCheckRadioBox1: TspSkinCheckRadioBox;  
    Chart2: TChart;  
    Series5: TFastLineSeries;  
    spSkinStringGrid1: TspSkinStringGrid;  
    spSkinScrollBar1: TspSkinScrollBar;  
    Button_Browse: TspSkinSpeedButton;  
    Button_Load_ASAM: TspSkinSpeedButton;  
    CheckBox_OpenLOOP: TspSkinCheckRadioBox;  
    Edit_Asam: TspSkinEdit;  
    spSkinStdLabel1: TspSkinStdLabel;  
    spSkinOpenDialog1: TspSkinOpenDialog;
```

spSkinStdLabel2: TspSkinStdLabel;  
spSkinStdLabel3: TspSkinStdLabel;  
spSkinStdLabel4: TspSkinStdLabel;  
spSkinStdLabel5: TspSkinStdLabel;  
spSkinEdit2: TspSkinEdit;  
spSkinEdit3: TspSkinEdit;  
spSkinEdit4: TspSkinEdit;  
spSkinEdit5: TspSkinEdit;  
Button\_Load\_BASA: TspSkinSpeedButton;  
spSkinStdLabel6: TspSkinStdLabel;  
Edit\_Basa: TspSkinEdit;  
SaveDialog1: TspSkinSaveDialog;  
BUTTON\_RESET: TspSkinXFormButton;  
spSkinScrollBar\_Valve\_Asam: TspSkinScrollBar;  
Panel\_Controller: TspSkinPanel;  
spSkinGroupBox6: TspSkinGroupBox;  
Chart3: TChart;  
Chart4: TChart;  
Series6: TFastLineSeries;  
Series7: TFastLineSeries;  
Series8: TFastLineSeries;  
Series9: TFastLineSeries;  
Stringgrid\_Bobot\_Input: TspSkinStringGrid;  
Stringgrid\_Bobot\_Hdden: TspSkinStringGrid;  
spSkinScrollBar2: TspSkinScrollBar;  
spSkinScrollBar3: TspSkinScrollBar;  
spSkinScrollBar4: TspSkinScrollBar;  
spSkinScrollBar5: TspSkinScrollBar;  
bt\_LOAD\_CONTROLLER: TspSkinXFormButton;  
spSkinGroupBox7: TspSkinGroupBox;  
ed\_Sinyal\_Kontrol: TspSkinEdit;  
spSkinGroupBox8: TspSkinGroupBox;  
spSkinStdLabel7: TspSkinStdLabel;  
spSkinStdLabel8: TspSkinStdLabel;  
spSkinStdLabel9: TspSkinStdLabel;  
ed\_PH\_PV: TspSkinEdit;  
ed\_Bin\_PV: TspSkinEdit;  
ed\_Volt\_PV: TspSkinEdit;  
spSkinGroupBox9: TspSkinGroupBox;  
ComboBox\_SETPOINT: TspSkinComboBox;  
spSkinStdLabel10: TspSkinStdLabel;  
spSkinStdLabel11: TspSkinStdLabel;  
ed\_ERROR: TspSkinEdit;  
spSkinLabel12: TspSkinLabel;  
spSkinLabel13: TspSkinLabel;  
bt\_RUN\_CONTROLLER: TspSkinXFormButton;  
bt\_STOP\_CONTROLLER: TspSkinXFormButton;  
bt\_RESET\_CONTROLLER: TspSkinXFormButton;  
bt\_SAVE\_CONTROLLER: TspSkinXFormButton;  
spSkinGroupBox10: TspSkinGroupBox;  
bt\_MENU\_CONTROLLER: TspSkinButton;  
ed\_Valve\_Basa\_Controller: TspSkinEdit;  
ed\_Bin\_Basa\_Controller: TspSkinEdit;  
ed\_Volt\_Basa\_Controller: TspSkinEdit;  
spSkinStdLabel12: TspSkinStdLabel;  
spSkinStdLabel13: TspSkinStdLabel;  
spSkinStdLabel14: TspSkinStdLabel;  
SaveDialog2: TspSkinSaveDialog;  
CheckRadioButton\_ONLINE: TspSkinCheckRadioButton;  
SaveDialog3: TspSkinSaveDialog;  
SaveDialog4: TspSkinSaveDialog;  
Image1: TImage;  
spSkinStdLabel15: TspSkinStdLabel;  
ed\_nilai\_pH: TspSkinStdLabel;  
ed\_Bukaan\_Asam: TspSkinStdLabel;  
spSkinStdLabel16: TspSkinStdLabel;  
ed\_Bukaan\_Basa: TspSkinStdLabel;  
spSkinGroupBox11: TspSkinGroupBox;  
spSkinStdLabel17: TspSkinStdLabel;  
spSkinStdLabel18: TspSkinStdLabel;

```

cmb_hidden: TspSkinComboBox;
cmb_output: TspSkinComboBox;
spSkinStdLabel19: TspSkinStdLabel;
spSkinStdLabel20: TspSkinStdLabel;
spSkinStdLabel21: TspSkinStdLabel;
spSkinStdLabel22: TspSkinStdLabel;
spSkinStdLabel23: TspSkinStdLabel;
Hidden_Text: TspSkinEdit;
procedure spSkinXFormButtonHalamanUtamaClick(Sender: TObject);
procedure spSkinButtonEXITClick(Sender: TObject);
procedure spSkinXFormButtonEXITClick(Sender: TObject);
procedure spSkinXFormButtonHALAMAN_UTAMAClick(Sender: TObject);
procedure FormCRitae(Sender: TObject);
procedure spSkinXFormButtonRUNClick(Sender: TObject);
procedure spSkinXFormButtonSTOPClick(Sender: TObject);
procedure FormClose(Sender: TObject; var Action: TCloseAction);
procedure FormShow(Sender: TObject);
procedure spSkinScrollBar_Valve_ASAMChange(Sender: TObject);
procedure spSkinScrollBar_Valve_BASACChange(Sender: TObject);
procedure Timer_MotorTimer(Sender: TObject);
procedure Timer_SamplingTimer(Sender: TObject);
procedure spSkinXFormButtonSAVEClick(Sender: TObject);
procedure spSkinXFormButtonCLEARClick(Sender: TObject);
procedure Button_BrowseClick(Sender: TObject);
procedure Button_Load_ASAMClick(Sender: TObject);
procedure Button_Load_BASAClick(Sender: TObject);
procedure BUTTON_RESETEClick(Sender: TObject);
procedure bt_MENU_CONTROLLERClick(Sender: TObject);
procedure bt_LOAD_CONTROLLERClick(Sender: TObject);
procedure bt_RUN_CONTROLLERClick(Sender: TObject);
procedure bt_STOP_CONTROLLERClick(Sender: TObject);
procedure bt_RESET_CONTROLLERClick(Sender: TObject);
procedure bt_SAVE_CONTROLLERClick(Sender: TObject);
procedure Image1Click(Sender: TObject);
private
  { Private declarations }
public
  { Public declarations }
end;

var
frmTESADC: TfrmTESADC;
jmldata, x, divv, Data_Inp1, Data_Inp2, Data_Inp3: Integer;
Rita_norm, error, v_ph, v_Motor_Asam, v_Motor_Basa: Real;
SET_POINT, PEHA, ERROR_PLANT, pH, Persen_Motor_Asam, Persen_Motor_Basa: array of Real;
sp_Motor_Asam, sp_Motor_Basa, Bin, Filt_Bin: array of Integer;
a, b: Boolean;
HRStatus: String;
Vij, Wjk: array [1..100, 1..100] of single;
Z_in, Zj: array [1..100] of single;
Y_in, Yln, Yk: array [1..100] of single;

implementation
uses UMainMenu, Unit_Motor_Positioner, Unit_IO, ULoad_Data_Train, UTraining, Unit_Plant, UAktifasi;
{$R *.dfm}

{fungsi untuk mengkonversi bilangan biner 8 bit menjadi bilangan desimal}
function BitToByte(bit0, bit1, bit2, bit3, bit4, bit5, bit6, bit7: Integer): Integer;
begin
  BitToByte:=bit0*1+bit1*2+bit2*4+bit3*8+bit4*16+bit5*32+bit6*64+bit7*128;
end;

{Procedure untuk mengkonversi bilangan desimal menjadi bilangan biner 8 bit}
{Allohumma Sholli wa Salim 'Alaa Muhammad}
Procedure ByteToBit(nilai: Integer);
begin
  if nilai>=128 then
  begin
    bit[7]=1;
    nilai:=nilai-128;
  end;
end;

```



## C-4

```
end
else
begin
bit[7]:=0;
end;
if nilai>=64 then
begin
bit[6]:=1;
nilai:=nilai-64;
end
else
begin
bit[6]:=0;
end;
if nilai>=32 then
begin
bit[5]:=1;
nilai:=nilai-32;
end
else
begin
bit[5]:=0;
end;
if nilai>=16 then
begin
bit[4]:=1;
nilai:=nilai-16;
end
else
begin
bit[4]:=0;
end;
if nilai>=8 then
begin
bit[3]:=1;
nilai:=nilai-8;
end
else
begin
bit[3]:=0;
end;
if nilai>=4 then
begin
bit[2]:=1;
nilai:=nilai-4;
end
else
begin
bit[2]:=0;
end;
if nilai>=2 then
begin
bit[1]:=1;
nilai:=nilai-2;
end
else
begin
bit[1]:=0;
end;
if nilai=1 then
begin
bit[0]:=1;
end
else
begin
bit[0]:=0;
end;
end;
```

procedure TForm1.TESADC.spSkinXFormButtonHalamanUtamaClick(Sender: TObject);

```

begin
  Form1.Show;
  frmTesADC.Hide;
end;

procedure TfrmTESADC.spSkinButtonEXITClick(Sender: TObject);
begin
  application.Terminate;
end;

procedure TfrmTESADC.spSkinXFormButtonEXITClick(Sender: TObject);
begin
  Output($378,0);
  Application.Terminate;
end;

procedure TfrmTESADC.spSkinXFormButtonHALAMAN_UTAMAClick(Sender: TObject);
begin
  frmTESADC.Hide;
  Form1.Show;
end;

procedure TfrmTESADC.FormCRitae(Sender: TObject);
begin
  spSkinScrollBar_Valve_ASAM.Min:=MinMax_Pos_Motor_Asam('min');
  spSkinScrollBar_Valve_ASAM.Max:=MinMax_Pos_Motor_Asam('max');
  spSkinScrollBar_Valve_BASA.Min:=MinMax_Pos_Motor_Basa('min');
  spSkinScrollBar_Valve_BASA.Max:=MinMax_Pos_Motor_Basa('max');
  a:=False;
  b:=False;
  divv:=0;
  x:=0;
  HRStatus:=' Disconnected';
  Output($378,$00);
end;

procedure TfrmTESADC.spSkinXFormButtonRUNClick(Sender: TObject);
begin
  if CheckBox_OpenLOOP.Checked=False then
    begin
      if Timer_Sampling.Enabled=False then
        Timer_Sampling.Enabled:=True;
      if Timer_Motor.Enabled=False then
        Timer_Motor.Enabled:=True;
      end
    else if CheckBox_OpenLOOP.Checked=True then
      begin
        if (Edit_Asam.Text='') and (Edit_Basa.Text='') then
          begin
            MessageDlg('Anda Belum mengisi File Path Asam dan Basa.',mtrInformation,[mbOK],0);
          end
        else
          if Timer_Sampling.Enabled=False then
            Timer_Sampling.Enabled:=True;
          if Timer_Motor.Enabled=False then
            Timer_Motor.Enabled:=True;
          end;
        end;
      end;

procedure TfrmTESADC.spSkinXFormButtonSTOPClick(Sender: TObject);
begin
  c:=False;
  Timer_Sampling.Enabled:=False;
  Form1.spSkinButtonLabel_OpenLoop.Enabled:=True;
  Output($378,0);
  Timer_Motor.Enabled:=false;
end;

procedure TfrmTESADC.FormClose(Sender: TObject; var Action: TCloseAction);
begin

```

```

Timer_Motor.Enabled:=False;
Timer_Motor.Enabled:=False;
Pos_Motor_Asam(MinMax_Pos_Motor_Asam('min'),False);
Pos_Motor_Basa(MinMax_Pos_Motor_Basa('min'),False);
frm1.Show;
frmTesADC.Hide;
end;

```

```

procedure TfrmTESADC.FormShow(Sender: TObject);
begin
  Timer_Motor.Enabled:=False;
end;

```

```

procedure TfrmTESADC.spSkinScrollBar_Valve_ASAMChange(Sender: TObject);
var min_Asam, max_Asam:integer;
begin
  min_Asam:=MinMax_Pos_Motor_Asam('min');
  max_Asam:=MinMax_Pos_Motor_Asam('max');
  spSkinLabel10.Caption:=IntToStr(Round(((spSkinScrollBar_Valve_ASAM.Position-min_Asam)/
(max_Asam-min_Asam))*100))+ ' % Buka';
end;

```

```

procedure TfrmTESADC.spSkinScrollBar_Valve_BASACHange(Sender: TObject);
var min_Basa, max_Basa:integer;
begin
  min_Basa:=MinMax_Pos_Motor_Basa('min');
  max_Basa:=MinMax_Pos_Motor_Basa('max');
  spSkinLabel11.Caption:=IntToStr(Round(((spSkinScrollBar_Valve_BASA.Position-min_Basa)/
(max_Basa-min_Basa))*100))+ ' % Buka';
end;

```

```

procedure TfrmTESADC.Timer_MotorTimer(Sender: TObject);
begin
  Inc(divv);
  if divv=50 then
  begin
    divv:=0;
    if Image_light.Visible=true then
    begin
      Image_light.Visible:=false;
      a:=true;
      b:=true;
    end
    else
    begin
      Image_light.Visible:=True;
      a:=False;
      b:=False;
    end;
  end;
end;

```

```

{ ASAM }
Pos_Motor_Asam(spSkinScrollBar_Valve_ASAM.Position,a);
Pos_Motor_Asam(spSkinScrollBar_Valve_ASAM.Position,False);
Pos_Motor_Asam(spSkinScrollBar_Valve_ASAM.Position,a);

{ BASA }
Pos_Motor_Basa(spSkinScrollBar_Valve_BASA.Position,b);
Pos_Motor_Basa(spSkinScrollBar_Valve_BASA.Position,False);
Pos_Motor_Basa(spSkinScrollBar_Valve_BASA.Position,b);
end;

```

```

procedure TfrmTESADC.Timer_SamplingTimer(Sender: TObject);
var j,k,min_Asam, min_Basa, max_Asam, max_Basa, kendali_basa, kendali_asam:integer;
begin
  Inc(x);
  SetLength(pH,x);
  SetLength(SET_POINT,x);
  SetLength(ERROR_PLANT,x);
  SetLength(Persen_Motor_Asam,x);

```

```

SetLength(Persen_Motor_Basa,x);
SetLength(sp_Motor_Asam,x);
SetLength(sp_Motor_Basa,x);
SetLength(Bin,x);
SetLength(Filt_Bin,x);
min_Asam:=MinMax_Pos_Motor_Asam('min');
max_Asam:=MinMax_Pos_Motor_Asam('max');
min_Basa:=MinMax_Pos_Motor_Basa('min');
max_Basa:=MinMax_Pos_Motor_Basa('max');
spSkinEdit2.Text:=spSkinStringGrid1.Cells[0,x];
spSkinEdit3.Text:=spSkinStringGrid1.Cells[1,x];
spSkinEdit4.Text:=spSkinStringGrid1.Cells[2,x];
spSkinEdit5.Text:=spSkinStringGrid1.Cells[3,x];

```

```
{----- TES ADC -----}
```

```
if CheckBox_OpenLOOP.Checked=False then
begin
```

```
{-----Begin of Input Motor Asam-----}
```

```

sp_Motor_Asam[x-1]:=Round(((spSkinScrollBar_Valve_ASAM.Position-min_Asam)/(max_Asam-
min_Asam))*100);
spSkinLabel10.Caption:=FloatToStr(sp_motor_Asam[x-1])+ ' % Buka';
Data_Inp1:=Input('Motor_Asam');
Persen_Motor_Asam[x-1]:=((Data_Inp1-min_Asam)/(max_Asam-min_Asam))*100;
spSkinLabel7.Caption:='valve : '+IntToStr(Round(Persen_Motor_Asam[x-1]))+' %';
v_Motor_Asam:=(Data_Inp1/255)*5;
ByteToBit(Data_Inp1);
spSkinLabel8.Caption:='Bin : '+IntToStr(Bit[7])+IntToStr(Bit[6])+IntToStr(Bit[5])
+IntToStr(Bit[4])+IntToStr(Bit[3])+IntToStr(Bit[2])+IntToStr(Bit[1])+IntToStr(Bit[0]);
spSkinLabel9.Caption:=FloatToStr(v_Motor_Asam)+' volt';
{End of Input Motor Asam}

```

```
{-----Begin of Input Motor Basa-----}
```

```

sp_Motor_Basa[x-1]:=Round(((spSkinScrollBar_Valve_BASA.Position-min_Basa)/(max_Basa-
min_Basa))*100);
spSkinLabel11.Caption:=FloatToStr(sp_motor_Basa[x-1])+ ' % Buka';
Data_Inp2:=Input('Motor_Basa');
Persen_Motor_Basa[x-1]:=((Data_Inp2-min_Basa)/(max_Basa-min_Basa))*100;
spSkinLabel1.Caption:='valve : '+IntToStr(Round(Persen_Motor_Basa[x-1]))+' %';
v_Motor_Basa:=(Data_Inp2/255)*5;
ByteToBit(Data_Inp2);
spSkinLabel2.Caption:='Bin : '+IntToStr(Bit[7])+IntToStr(Bit[6])+IntToStr(Bit[5])
+IntToStr(Bit[4])+IntToStr(Bit[3])+IntToStr(Bit[2])+IntToStr(Bit[1])+IntToStr(Bit[0]);
spSkinLabel3.Caption:=FloatToStr(v_Motor_Basa)+' volt';
{End of Input Motor Basa}

```

```
{-----Begin of Input Sensor-----}
```

```

Data_Inp3:=Input('Sensor');
Bin[x-1]:=Data_Inp3;
Filt_Bin[x-1]:=Data_Inp3;
if spSkinCheckRadioButton1.Checked=True then
begin
if Filt_Bin[x-1]-Filt_Bin[x-4]>4 then
Filt_Bin[x-1]:=Filt_Bin[x-2];
end;
pH[x-1]:=((Data_Inp3/255)*11)+1; {untuk menampilkan nilai pH pada grafik dg range 1 - 12}
spSkinStringGrid1.Cells[3,x]:=floatToStr(pH[x-1]);
spSkinLabel4.Caption:=FloatToStr(pH[x-1]);
v_pH:=(Data_Inp3/255)*5;
ByteToBit(Data_Inp3);
spSkinLabel5.Caption:='Bin : '+IntToStr(Bit[7])+IntToStr(Bit[6])+IntToStr(Bit[5])
+IntToStr(Bit[4])+IntToStr(Bit[3])+IntToStr(Bit[2])+IntToStr(Bit[1])+IntToStr(Bit[0]);
spSkinLabel6.Caption:=FloatToStr(v_pH)+' volt';
{End of Input Sensor}

```

```
if x>25 then
```

```

begin
Chart1.BottomAxis.SetMinMax(0,x+6);
Chart2.BottomAxis.SetMinMax(0,x+6);

```



end;

```
Series1.AddXY(x,sp_Motor_Asam[x-1],",,clBlue); {Set Point Bukaan Valve Asam}
Series2.AddXY(x,sp_Persen_Motor_Asam[x-1],",,clRed); {Persen Bukaan Valve}
Series3.AddXY(x,Sp_Motor_Basa[x-1],",,clFuchsia); {Set Point Bukaan Valve Asam}
Series4.AddXY(x,sp_Persen_Motor_Basa[x-1],",,clGreen); {Persen Bukaan Valve}
series5.AddXY(x,pH[x-1],",,clYellow);
```

end;

{----- END OF TES ADC -----}

{----- OPEN LOOP -----}

if CheckBox\_OpenLOOP.Checked=true then  
begin

{-----Begin of Input Motor Asam-----}

```
kendali_asam:=Round(strToFloat(spSkinEdit4.Text));
spSkinScrollBar_Valve_Asam.Position:=kendali_asam;
sp_Motor_Asam[x-1]:=spSkinScrollBar_Valve_ASAM.Position;
spSkinLabel10.Caption:=FloatToStr(sp_motor_Asam[x-1])+ ' % Buka';
Data_Inp1:=Input('Motor_Asam');
Persen_Motor_Asam[x-1]:=((Data_Inp1-min_Asam)/(max_Asam-min_Asam))*100;
spSkinLabel7.Caption:='valve : '+IntToStr(Round(Persen_Motor_Asam[x-1]))+' %';
v_Motor_Asam:=(Data_Inp1/255)*5;
ByteToBit(Data_Inp1);
spSkinLabel8.Caption:='Bin : '+IntToStr(Bit(7))+IntToStr(Bit(6))+IntToStr(Bit(5))
+IntToStr(Bit(4))+IntToStr(Bit(3))+IntToStr(Bit(2))+IntToStr(Bit(1))+IntToStr(Bit(0));
spSkinLabel9.Caption:=FloatToStr(v_Motor_Asam)+' volt';
```

{End of Input Motor Asam}

{-----Begin of Input Motor BASA-----}

```
kendali_basa:=Round(StrToFloat(spSkinEdit3.Text));
spSkinScrollBar_Valve_BASA.Position:=kendali_basa;
sp_Motor_Basa[x-1]:=spSkinScrollBar_Valve_BASA.Position;
spSkinLabel11.Caption:=FloatToStr(sp_motor_Basa[x-1])+ ' % Buka';
Data_Inp2:=Input('Motor_Basa');
Persen_Motor_Basa[x-1]:=((Data_Inp2-min_Basa)/(max_Basa-min_Basa))*100;
spSkinLabel1.Caption:='valve : '+IntToStr(Round(Persen_Motor_Basa[x-1]))+' %';
v_Motor_Basa:=(Data_Inp2/255)*5;
ByteToBit(Data_Inp2);
spSkinLabel2.Caption:='Bin : '+IntToStr(Bit(7))+IntToStr(Bit(6))+IntToStr(Bit(5))
+IntToStr(Bit(4))+IntToStr(Bit(3))+IntToStr(Bit(2))+IntToStr(Bit(1))+IntToStr(Bit(0));
spSkinLabel3.Caption:=FloatToStr(v_Motor_Basa)+' volt';
```

{End of Input Motor Basa}

{-----Begin of Input Sensor-----}

```
Data_Inp3:=Input('Sensor');
Bin[x-1]:=Data_Inp3;
Filt_Bin[x-1]:=Data_Inp3;
if spSkinCheckBox1.Checked=True then
begin
  if Filt_Bin[x-1]-Filt_Bin[x-4]>4 then
    Filt_Bin[x-1]:=Filt_Bin[x-2];
end;
pH[x-1]:=((Data_Inp3/255)*11)+1; {untuk menampilkan nilai pH pada grafik dg range 1 - 12}
spSkinStringGrid1.Cells[3,x]:=floatToStr(pH[x-1]);
spSkinLabel4.Caption:=FloatToStr(pH[x-1]);
v_pH:=(Data_Inp3/255)*5;
ByteToBit(Data_Inp3);
spSkinLabel5.Caption:='Bin : '+IntToStr(Bit(7))+IntToStr(Bit(6))+IntToStr(Bit(5))
+IntToStr(Bit(4))+IntToStr(Bit(3))+IntToStr(Bit(2))+IntToStr(Bit(1))+IntToStr(Bit(0));
spSkinLabel6.Caption:=FloatToStr(v_pH)+' volt';
{End of Input Sensor}
```

if x>=jmidata then

begin

Timer\_Sampling.Enabled:=false;

MessageDlg('Pengambilan Data Open Loop Telah Selesai.',mtInformation,[mbOK],0);

end;

```
Series1.AddXY(x,sp_Motor_Asam[x-1],"c1Blue); {Set Point Bukaan Valve Asam}
Series2.AddXY(x,Person_Motor_Asam[x-1],"c1Red); {Person Bukaan Valve}
Series3.AddXY(x,Sp_Motor_Basa[x-1],"c1Fuchsia); {Set Point Bukaan Valve Asam}
Series4.AddXY(x,Person_Motor_Basa[x-1],"c1Green); {Person Bukaan Valve}
series5.AddXY(x,pH[x-1],"c1Yellow);
```

end

```
{----- END of OPEN LOOP -----}
```

```
{----- ONLINE -----}
```

else if CheckRadioButton\_ONLINE.Checked=true then  
begin

```
{----- JST CONTROL -----}
```

```
SET_POINT[x-1]:=StrToFloat(ComboBox_SETPOINT.Text);
error:=StrToFloat(ComboBox_SETPOINT.Text)-StrToFloat(ed_PH_PV.Text);
norm:=(error/7);
ed_ERROR.Text:=FloatToStr(error);
ERROR_PLANT[x-1]:=error;
```

for j:=1 to StrToInt(Frm\_Training.Ed\_Hidden.Text) do  
begin

```
Z_in[j]:=vij[StrToInt(Frm_Training.Ed_Input.Text)+1,j]
+(norm*vij[StrToInt(Frm_Training.Ed_Input.Text),j]);
```

if (cmb\_hidden.Text='T') then

begin

```
Z[j]:=f2(z_in[j]);
{Z[r,j]:=(1-exp(-1*z_in[r,j]))/(1+exp(-1*z_in[r,j]));}
```

end

else if (cmb\_hidden.Text='L') then

begin

```
Z[j]:=f4(Z_in[j]);
```

end

else if (cmb\_hidden.Text='BP') then

begin

```
Z[j]:=f1(Z_in[j]);
```

end

else if (cmb\_hidden.Text='BN') then

begin

```
Z[j]:=f3(Z_in[j]);
```

end;

```
{Z[j]:=(1-(exp(-1*z_in[j])))/(1+(exp(-1*z_in[j])));}
```

end;

Y\_in[1]:=0;

for k:=1 to StrToInt(Frm\_Training.Ed\_Output.Text) do

begin

for j:=1 to StrToInt(Frm\_Training.Ed\_Hidden.Text) do

begin

```
Wjk[k,j]:=Wjk[k,j];
```

```
Y_in[k]:=Y_in[k]+Z[j]*wjk[k,j];
```

end;

```
Yin[k]:=Wjk[k,StrToInt(Frm_Training.Ed_Hidden.Text)+1]+Y_in[k];
```

if (cmb\_output.Text='L') then

begin

```
yk[k]:=f4(yin[k]);
```

end

else if (cmb\_output.Text='BP') then

begin

```
yk[k]:=f1(yin[k]);
```

```

end
else if (cmb_output.Text='T') then
begin
yk[k]:=f2(yin[k]);
end
else if (cmb_output.Text='BN') then
begin
yk[k]:=f3(yin[k]);
end;

Rita:=(yk[k]-0.20)*100;
ed_Sinyal_Kontrol.Text:=FloatToStr(Rita);

end; {end loop for k}

{----- Begin Of input Motor Basa -----}
kendali_basa:=Round(StrToFloat(ed_Sinyal_Kontrol.Text));
spSkinScrollBar_Valve_BASA.Position:=kendali_basa;
sp_Motor_Basa[x-1]:=spSkinScrollBar_Valve_BASA.Position;
Data_Inp2:=Input('Motor_Basa');
Persen_Motor_Basa[x-1]:=((Data_Inp2-min_Basa)/(max_Basa-min_Basa))*100;
ed_Valve_Basa_Controller.Text:=IntToStr(Round(Persen_Motor_Basa[x-1]))+' %';
ed_Bukaan_Basa.Caption:=ed_Valve_Basa_Controller.Text;
Frm_Plant.lbl_Valve_Basa.Caption:=ed_Valve_Basa_Controller.Text;
v_Motor_Basa:=(Data_Inp2/255)*5;
ByteToBit(Data_Inp2);
ed_Bin_Basa_Controller.Text:='Bin : '+IntToStr(Bit(7))+IntToStr(Bit(6))+IntToStr(Bit(5))
+IntToStr(Bit(4))+IntToStr(Bit(3))+IntToStr(Bit(2))+IntToStr(Bit(1))+IntToStr(Bit(0));
ed_Volt_Basa_Controller.Text:=FloatToStr(v_Motor_Basa)+' volt';
{end of input Motor Basa}

{----- Begin Of Input Sensor -----}
Data_Inp3:=Input('Sensor');
Bin[x-1]:=Data_Inp3;
Filt_Bin[x-1]:=Data_Inp3;
if spSkinCheckBox1.Checked=True then
begin
if Filt_Bin[x-1]-Filt_Bin[x-4]>4 then
Filt_Bin[x-1]:=Filt_Bin[x-2];
end;
pH[x-1]:=((Data_Inp3/255)*11)+1; {untuk menampilkan nilai pH pada grafik dg range 1 - 12}
ed_PH_PV.Text:=FloatToStr(pH[x-1]);
ed_nilai_pH.Caption:=ed_PH_PV.Text;
Frm_Plant.lbl_nilai_pH.Caption:=ed_PH_PV.Text;
v_pH:=(Data_Inp3/255)*5;
ByteToBit(Data_Inp3);
ed_Bin_PV.Text:=IntToStr(Bit(7))+IntToStr(Bit(6))+IntToStr(Bit(5))
+IntToStr(Bit(4))+IntToStr(Bit(3))+IntToStr(Bit(2))+IntToStr(Bit(1))+IntToStr(Bit(0));
ed_Volt_PV.Text:=FloatToStr(v_pH);

if x>25 then
begin
Chart1.BottomAxis.SetMinMax(0,x+6);
Chart2.BottomAxis.SetMinMax(0,x+6);
end;
Series1.AddXY(x,sp_Motor_Asam[x-1],,clBlue); {Set Point Bukaan Valve Asam}
Series2.AddXY(x,Persen_Motor_Asam[x-1],,clRed); {Persen Bukaan Valve}
Series3.AddXY(x,Sp_Motor_Basa[x-1],,clFuchsia); {Set Point Bukaan Valve Asam}
Series4.AddXY(x,Persen_Motor_Basa[x-1],,clGreen); {Persen Bukaan Valve}
Series5.AddXY(x,pH[x-1],,clYellow);
Series6.AddXY(x,Sp_Motor_Basa[x-1],,clRed);
Series7.AddXY(x,Persen_Motor_Basa[x-1],,clGreen); {Persen Bukaan Valve}
Series8.AddXY(x,SET_POINT[x-1],,clRed);
Series9.AddXY(x,pH[x-1],,clYellow);
{end untuk input Sensor jika ONLINE di contang}

end;
{----- END OF ONLINE -----}

```

```

end;

procedure TfrmTESADC.spSkinXFormButtonSAVEClick(Sender: TObject);
var
  FDATA:TextFile;
  j:Integer;
begin
  Timer_Sampling.Enabled:=False;
  if SaveDialog1.Execute then
    if CheckBox_OpenLOOP.Checked=true then
      begin
        AssignFile(FDATA,SaveDialog1.FileName);
        Rewrite(FDATA);
        Writeln(FDATA,'Time SP Valve Asam Bukanan Valve Asam SP Valve Basa Bukanan Valve Basa pH');
        Writeln(FDATA);
        for j:=0 to x-1 do
          Writeln(FDATA,(j+1):4,' ',SP_MOTOR_ASAM[j],' % ',
            PERSEN_MOTOR_ASAM[j]:5:0,' % ',SP_MOTOR_BASA[j],' % ',
            PERSEN_MOTOR_BASA[j]:5:0,' % ',pH[j]:2:0);
          CloseFile(FDATA);
        SaveDialog3.Title:='Save Grafik Bukanan Valve As';
        SaveDialog4.Title:='Save Grafik pH As';
      end
    else
      begin
        AssignFile(FDATA,SaveDialog1.FileName);
        Rewrite(FDATA);
        Writeln(FDATA,'Time SP Valve Asam Bukanan Valve Asam SP Valve Basa Bukanan Valve Basa pH');
        Writeln(FDATA);
        for j:=0 to x-1 do
          Writeln(FDATA,(j+1):4,' ',SP_MOTOR_ASAM[j],' % ',
            PERSEN_MOTOR_ASAM[j]:5:0,' % ',SP_MOTOR_BASA[j],' % ',
            PERSEN_MOTOR_BASA[j]:5:0,' % ',pH[j]:2:0);
          CloseFile(FDATA);
        end;
      if SaveDialog3.Execute then
        begin
          Chart1.SaveToMetafileEnh(SaveDialog3.FileName);
        end;
      if SaveDialog4.Execute then
        Chart2.SaveToMetafileEnh(SaveDialog4.FileName);
      end;
end;

procedure TfrmTESADC.spSkinXFormButtonCLEARClick(Sender: TObject);
var i:Integer;
begin
  Series1.Clear;
  Series2.Clear;
  Series3.Clear;
  Series4.Clear;
  series5.Clear;
  for i:=0 to x-1 do
    begin
      Persen_Motor_Asam[i]:=0;
      Persen_Motor_Basa[i]:=0;
      pH[i]:=0;
      sp_Motor_Asam[i]:=0;
      sp_Motor_Basa[i]:=0;
    end;
  Timer_Sampling.Enabled:=False;
  Chart1.BottomAxis.SetMinMax(0,100);
  Chart2.BottomAxis.SetMinMax(0,100);
  x:=0;
end;

procedure TfrmTESADC.Button_BrowseClick(Sender: TObject);
begin
  if Edit_Basa.Text="" then
    begin

```



## C-12

```

spSkinOpenDialog1.Title:='Open Data Persentase Buka-an Valve Basa';
spSkinOpenDialog1.Execute;
Edit_Basa.Text:=spSkinOpenDialog1.FileName;
end
else
begin
spSkinOpenDialog1.Title:='Open Data Persentase Buka-an Valve Asam';
spSkinOpenDialog1.Execute;
Edit_Asam.Text:=spSkinOpenDialog1.FileName;
end;
end;

procedure TfrmTESADC.Button_Load_ASAMClick(Sender: TObject);
var
FData:TextFile;
Data:String;
i:integer;
begin
spSkinStringGrid1.Cells[2,0]:='Valve Asam (%)';
spSkinStringGrid1.Cells[3,0]:='pH';
if Edit_Asam.Text='' then MessageDlg('Anda belum menentukan direktori dan nama
filenya.',mtInformation,[mbOK],0)
else
begin
AssignFile(FData,Edit_Asam.Text);
reset(FData);
i:=0;
repeat
inc(i);
spSkinStringGrid1.RowCount:=i+1;
Readln(FData,data);
spSkinStringGrid1.Cells[2,i]:=data;
until
spSkinStringGrid1.Cells[1,i]='';
spSkinStringGrid1.RowCount:=i;
spSkinStringGrid1.Cells[0,i]:='';
MessageDlg('Loading data telah selesai, jumlah data : ' + IntToStr(i-1),mtInformation,[mbOK],0);
jmlData:=i-1;
CloseFile(FData);
spSkinXFormButtonRUN.Enabled:=True;
end;
end;

procedure TfrmTESADC.Button_Load_BASAClick(Sender: TObject);
var
FData:TextFile;
Data:String;
i:integer;
begin
spSkinStringGrid1.Cells[0,0]:='No.';
spSkinStringGrid1.Cells[1,0]:='Valve Basa (%)';
if Edit_Basa.Text='' then MessageDlg('Anda belum menentukan direktori dan nama
filenya.',mtInformation,[mbOK],0)
else
begin
AssignFile(FData,Edit_Basa.Text);
reset(FData);
i:=0;
repeat
inc(i);
spSkinStringGrid1.RowCount:=i+1;
Readln(FData,data);
spSkinStringGrid1.Cells[0,i]:=IntToStr(i);
spSkinStringGrid1.Cells[1,i]:=data;
until
spSkinStringGrid1.Cells[1,i]='';
spSkinStringGrid1.RowCount:=i;
spSkinStringGrid1.Cells[0,i]:='';
MessageDlg('Loading data telah selesai, jumlah data : ' + IntToStr(i-1),mtInformation,[mbOK],0);
jmlData:=i-1;

```

```

        CloseFile(FData);
    end;
end;

procedure TfrmTESADC.BUTTON_RESETClick(Sender: TObject);
VAR i:integer;
begin
    for i:=0 to x-1 do
        begin
            Persen_Motor_Asam[i]:=0;
            Persen_Motor_Basa[i]:=0;
            pH[i]:=0;
            sp_Motor_Asam[i]:=0;
            sp_Motor_Basa[i]:=0;
            spSkinStringGrid1.Cells[0,i]:= "";
            spSkinStringGrid1.Cells[1,i]:= "";
            spSkinStringGrid1.Cells[2,i]:= "";
            spSkinStringGrid1.Cells[3,i]:= "";
        end;
    Chart1.BottomAxis.SetMinMax(0,100);
    Chart2.BottomAxis.SetMinMax(0,100);
    x:=0;
    Timer_Sampling.Enabled:=False;

    spSkinEdit2.Text:=spSkinStringGrid1.Cells[0,x];
    spSkinEdit3.Text:=spSkinStringGrid1.Cells[1,x];
    spSkinEdit4.Text:=spSkinStringGrid1.Cells[2,x];
    spSkinEdit5.Text:=spSkinStringGrid1.Cells[3,x];
    Series1.Clear;
    Series2.Clear;
    Series3.Clear;
    Series4.Clear;
    Series5.Clear;
end;

procedure TfrmTESADC.bt_MENU_CONTROLLERClick(Sender: TObject);
begin
    Form1.Show;
    Frm_Training.Hide;
    frmTESADC.Hide;
end;

procedure TfrmTESADC.bt_LOAD_CONTROLLERClick(Sender: TObject);
begin
    with Form_Load do
        begin
            Show;
            Caption:='Load Bobot Vij dan Bobot Wjk';
            Group_In.Caption:='Bobot Vij';
            Group_Out.Caption:='Bobot Wjk';
            bt_JST_Control.Visible:=True;
            bt_Validasi_Data.Visible:=False;
            bt_LOAD_BOBOT.Visible:=False;
            Button_Training.Visible:=False;
            Open_Dialog_In.Title:='Open Bobot Vij';
            Open_Dialog_Out.Title:='Open Bobot Wjk';
        end;
end;

procedure TfrmTESADC.bt_RUN_CONTROLLERClick(Sender: TObject);
var i,j,k:integer;
begin
    bt_RESET_CONTROLLER.Enabled:=False;

    if CheckRadioButton_ONLINE.Checked=False then
        begin
            MessageDlg('Click dulu check box ONLINE'
                + ' sebelum mulai!',mtInformation,[mbOK],0);
            Timer_Sampling.Enabled:=False;
            Timer_Motor.Enabled:=False;
        end;
end;

```

## C-14

```

end
else
if (Stringgrid_Bobot_Input.Cells[1,1]="" or
(Stringgrid_Bobot_Hidden.Cells[1,1]="" then
MessageDlg('Masukkan Bobot Wjk dan Bobot
+ ' Wjk terlebih dahulu.', mtInformation, [mbOK], 0)
else
begin
for i:=1 to StrToInt(Frm_Training.Ed_Input.Text)+1 do
for j:=1 to StrToInt(Frm_Training.Ed_Hidden.Text) do
begin
Vij[j]:=StrToFloat(Stringgrid_Bobot_Input.Cells[i,j]);
end;

for kc:=1 to StrToInt(Frm_Training.Ed_Output.Text) do
for j:=1 to StrToInt(Frm_Training.Ed_Hidden.Text)+1 do
begin
Wjk[kc,j]:=StrToFloat(Stringgrid_Bobot_Hidden.Cells[kc,j]);
end;
end;
Timer_Motor.Enabled:=True;
Timer_Sampling.Enabled:=True;
Chart3.BottomAxis.Automatic:=True;
Chart4.BottomAxis.Automatic:=True;
bt_RUN_CONTROLLER.Enabled:=False;
end;

procedure TfrmTESADC.bt_STOP_CONTROLLERClick(Sender: TObject);
begin
d:=False;
Timer_Sampling.Enabled:=False;
Timer_Motor.Enabled:=False;
bt_RESET_CONTROLLER.Enabled:=True;
bt_RUN_CONTROLLER.Enabled:=True;
end;

procedure TfrmTESADC.bt_RESET_CONTROLLERClick(Sender: TObject);
var j:integer;
begin
for j:=1 to StrToInt(Frm_Training.Ed_Hidden.Text) do
begin
Stringgrid_Bobot_Input.Cells[StrToInt(Frm_Training.Ed_Input.Text),j]:="";
Stringgrid_Bobot_Input.Cells[StrToInt(Frm_Training.Ed_Input.Text)+1,j]:="";
Stringgrid_Bobot_Hidden.Cells[StrToInt(Frm_Training.Ed_Output.Text),j]:="";
Stringgrid_Bobot_Hidden.Cells[StrToInt(Frm_Training.Ed_Output.Text),j+1]:="";
end;

Chart3.BottomAxis.SetMinMax(0,1);
Chart4.BottomAxis.SetMinMax(0,1);
ed_Sinyal_Kontrol.Text:='0';
ed_PH_PV.Text:='0';
ed_Bin_PV.Text:='0000000';
ed_Volt_PV.Text:='0';
ed_ERROR.Text:='0';
ed_Valve_Basa_Controller.Text:='0 %';
ed_Bin_Basa_Controller.Text:='00000000';
ed_Volt_Basa_Controller.Text:='0 Volt';
Series6.Clear;
Series7.Clear;
Series8.Clear;
Series9.Clear;
ComboBox_SETPOINT.ItemIndex:=2;
bt_RUN_CONTROLLER.Enabled:=True;
x:=0;
end;

procedure TfrmTESADC.bt_SAVE_CONTROLLERClick(Sender: TObject);
var FData:TextFile;
j:integer;

```

```

begin
Timer_Sampling.Enabled:=False;
if SaveDialog2.Execute then
begin
AssignFile(FData,SaveDialog2.FileName);
Rewrite(FDATA);
Writeln(FData,' time Set Point Process Variable ERROR Bukaan Valve Basa ');
Writeln(FData,' (dt) [pH] [pH] % ');
Writeln(FData);
for j:=0 to x-1 do
Writeln(FData,(j+1):4,' ',SET_POINT[j]:2:0,' ',
pH[j]:5:2,' ',ERROR_PLANT[j]:5:2,' ',Sp_Motor_Basa[j]);
CloseFile(FDATA);
SaveDialog3.Title:='Save Grafik Sinyal Control As';
SaveDialog4.Title:='Save Grafik SP & PV As';
end;

if SaveDialog3.Execute then
Chart3.SaveToMetafileEnh(SaveDialog3.FileName);
if SaveDialog4.Execute then
Chart4.SaveToMetafileEnh(SaveDialog4.FileName);

end;

procedure TfrmTESADC.Image1Click(Sender: TObject);
begin
Frm_Training.Hide;
Frm_Plant.Label_Menu_Utama.Hide;
Frm_Plant.Label_OnLine.Show;
Frm_Plant.Show;
frmTESADC.Hide;
end;

end.

```





## LAMPIRAN D

### Listing Program Unit\_IO dan Unit\_Motor\_Positioner

#### Listing Program Unit IO

```
unit Unit_IO;

interface
function Input(ADC:String):Integer;
procedure Output(Alamat:Integer;Data:Integer);
function CableConnection(pin:integer):String;

implementation

uses SysUtils;

function PortIn(Port:Word):Byte;stdcall;external'io.dll';

procedure PortOut(Port:Word;Data:Byte);stdcall;external'io.dll';

function Input(ADC:String):Integer;
var tmp1, tmp2, tmp3,inv:Integer;
begin
  {----- ADC 2 -----}
  if ADC='Motor_Asam' then
  begin
    PortOut($37A,$08);
    tmp1:=PortIn($379) xor $80;
    tmp1:=(tmp1 shr 4) and $0F;
    PortOut($37A,$09);
    Input:=tmp1 or ((PortIn($379) xor $80) and $F0);
  end;

  {----- ADC 3 -----}
  if ADC='Motor_Basa' then
  begin
    PortOut($37A,$02);
    tmp2:=PortIn($379) xor $80;
    tmp2:=(tmp2 shr 4) and $0F;
    PortOut($37A,$03);
    Input:=tmp2 or ((PortIn($379) xor $80) and $F0);
  end;

  {----- ADC 1 -----}
  if ADC='Sensor' then
  begin
    PortOut($37A,$0A);
    tmp3:=PortIn($379) xor $70;
    tmp3:=(tmp3 shr 4) and $0F;
    PortOut($37A,$0B);
    Input:=tmp3 or ((PortIn($379) xor $70) and $F0);
    {input:=not(inv);}
  end;
end;

procedure Output(Alamat:Integer;Data:Integer);
begin
  PortOut(Alamat,Data);
end;

function CableConnection(pin:integer):string;
var temp:integer;
begin
  if pin=15 then
  begin
```



## D-2

```
temp:=PortIn($379) and $08;
if temp=8 then CableConnection:=' Connected' else
CableConnection:=' Disconnected';
end;
end;
end.
```

### Listing Unit Motor Positioner

```
unit Unit_Motor_Positioner;
```

```
interface
```

```
uses Unit_IO;
```

```
function MinMax_Pos_Motor_Asam(x:String):Integer;
function MinMax_Pos_Motor_Basa(y:String):Integer;
function StatusMotor_Asam():String;
function StatusMotor_Basa():String;
Procedure Pos_Motor_Asam(Posisi_Asam:Integer;A7:boolean);
Procedure Pos_Motor_Basa(Posisi_Basa:Integer;B6:boolean);
```

```
var Bit,BitOut:array[0..7] of Integer;
    Left_Asam, Right_Asam, Left_Basa, Right_Basa, Bukaas_Asam, Bukaas_Basa:Integer;
```

```
implementation
```

```
uses SysUtils;
```

```
{Fungsi untuk merubah bilangan biner 8 bit ke bilangan desimal}
{-----}
```

```
function BitToByte(bit0,bit1,bit2,bit3,bit4,bit5,bit6,bit7:Integer):Integer;
begin
    BitToByte:=bit0*1+bit1*2+bit2*4+bit3*8+bit4*16+bit5*32+bit6*64+bit7*128;
end;
```

```
{Prosedur untuk merubah bilangan desimal menjadi bilangan biner 8 bit}
{-----}
```

```
Procedure ByteToBit(nilai:Integer);
```

```
begin
if nilai>=128 then
begin
    bit[7]:=1;
    nilai:=nilai-128;
end
else
begin
    bit[7]:=0;
end;
if nilai>=64 then
begin
    bit[6]:=1;
    nilai:=nilai-64;
end
else
begin
    bit[6]:=0;
end;
if nilai>=32 then
begin
    bit[5]:=1;
    nilai:=nilai-32;
end
else
```

```

begin
  bit[5]:=0;
end;
if nilai>=16 then
begin
  bit[4]:=1;
  nilai:=nilai-16;
end
else
begin
  bit[4]:=0;
end;
if nilai>=8 then
begin
  bit[3]:=1;
  nilai:=nilai-8;
end
else
begin
  bit[3]:=0;
end;
if nilai>=4 then
begin
  bit[2]:=1;
  nilai:=nilai-3;
end
else
begin
  bit[2]:=0;
end;
if nilai>=2 then
begin
  bit[1]:=1;
  nilai:=nilai-2;
end
else
begin
  bit[1]:=0;
end;
if nilai=1 then
begin
  bit[0]:=1;
end
else
begin
  bit[0]:=0;
end;
end;

```

{Fungsi-fungsi dan Prosedur-prosedur untuk mengatur Valve Asam}  
 {-----}

```

function MinMax_Pos_Motor_Asam(x:String):Integer;
var
  min_ASAM,max_ASAM:Integer;
  FData:TextFile;
begin
  AssignFile(FData,ExtractFilePath(ParamStr(0))+'\Valve_Asam.txt');
  Reset(FData);
  Readln(FData,min_ASAM);
  Readln(FData,max_ASAM);
  CloseFile(FData);
  if x='min' then Result:=min_ASAM;
  if x='max' then Result:=max_ASAM;
end;

```

```

Procedure Pos_Motor_Asam(Posisi_Asam:Integer;A7:Boolean);
var ref_posisi:Integer;
    bit0,bit1,bit2,bit3,bit4,bit5,bit6,bit7:Integer;
begin

```



## D-4

```
if Posisi_Asam<MinMax_Pos_Motor_Asam('min') then
  Posisi_Asam:=MinMax_Pos_Motor_Asam('min');
if Posisi_Asam>MinMax_Pos_Motor_Asam('max') then
  Posisi_Asam:=MinMax_Pos_Motor_Asam('max');

Bukaan_Asam:=Posisi_Asam;
if A7=True Then bit7:=1 else bit7:=0;
bit6:=0;
bit5:=0;
bit4:=0;
bit3:=0;
bit2:=0;
bit1:=0;
bit0:=0;
ref:=input('Motor_Asam');
ref_posisi:=ref;
if (ref_posisi<=105) then bit4:=0;
if (ref_posisi>=217) then bit5:=0;
if (ref_posisi>Posisi_Asam) then bit4:=1;
if (ref_posisi<Posisi_Asam) then bit5:=1;
if (ref_posisi>=Posisi_Asam-3) and (ref_posisi<=Posisi_Asam+3) then
  begin
    bit4:=0;
    bit5:=0;
  end;

Left_Asam:=bit4;
Right_Asam:=bit5;

Output($378,BitToByte(bit0,bit1,bit2,bit3,bit4,bit5,bit6,bit7));
end;
```

```
function StatusMotor_Asam():String;
var temp,min_ASAM,max_ASAM:integer;
begin
  min_ASAM:=MinMax_Pos_Motor_Asam('min');
  max_ASAM:=MinMax_Pos_Motor_Asam('max');
  temp:=Round(((Bukaan_Asam-min_ASAM)/(max_ASAM-min_ASAM))*100);
  if Left_Asam=0 then
    begin
      if Right_Asam=0 then
        Result:=' '+IntToStr(temp)+' %Open'
      else
        Result:=' Closing';
    end
  else
    Result:=' Opening';
end;
```

{Fungsi-fungsi dan Prosedur-prosedur untuk mengatur Valve Basa}

```
function MinMax_Pos_Motor_Basa(y:String):Integer;
var
  min_BASA,max_BASA:Integer;
  FData:TextFile;
begin
  AssignFile(FData,ExtractFilePath(ParamStr(0))+'\Valve_Basa.txt');
  Reset(FData);
  Readln(FData,min_BASA);
  Readln(FData,max_BASA);
  CloseFile(FData);
  if y='min' then Result:=min_BASA;
  if y='max' then Result:=max_BASA;
end;
```

```
Procedure Pos_Motor_Basa(Posisi_Basa:Integer;B6:Boolean);
var ref,ref_posisi:integer;
    bit0,bit1,bit2,bit3,bit4,bit5,bit6,bit7:integer;
begin
```

```

if Posisi_Basa<MinMax_Pos_Motor_Basa('min') then
Posisi_Basa:=MinMax_Pos_Motor_Basa('min');
if Posisi_Basa>MinMax_Pos_Motor_Basa('max') then
Posisi_Basa:=MinMax_Pos_Motor_Basa('max');
Bukaan_Basa:=Posisi_Basa;
bit7:=0;
if B6=True then bit6:=1 else bit6:=0;
bit5:=0;
bit4:=0;
bit3:=0;
bit2:=0;
bit1:=0;
bit0:=0;
ref:=Input('Motor_Basa');
ref_posisi:=ref;
if (ref_posisi<=105) then bit2:=0;
if (ref_posisi>=217) then bit3:=0;
if (ref_posisi>Posisi_Basa) then bit2:=1;
if (ref_posisi<Posisi_Basa) then bit3:=1;
if (ref_posisi>=Posisi_Basa-3) and (ref_posisi<=Posisi_Basa+3) then
begin
bit2:=0;
bit3:=0;
end;

Left_Basa:=bit2;
Right_Basa:=bit3;

Output($378,BitToByte(bit0,bit1,bit2,bit3,bit4,bit5,bit6,bit7));
end;

function StatusMotor_Basa():String;
var temp,min_BASA,max_BASA:Integer;
begin
min_BASA:=MinMax_Pos_Motor_Basa('min');
max_BASA:=MinMax_Pos_Motor_Basa('max');
temp:=Round(((Bukaan_Basa-min_BASA)/(max_BASA-min_BASA))*100);
if Left_Basa=0 then
begin
if Right_Basa=0 then
Result:=' '+IntToStr(temp)+' %Open'
else
Result:=' Closing';
end
else
Result:=' Opening';
end;
end.
end.

```



## LAMPIRAN E DATA TRAINING JST

(82 Pasangan Data Error dan Persen Buka-an Valve Basa)

Error (%)	Buka-an Valve Basa (%)	Error (%)	Buka-an Valve Basa (%)	Error (%)	Buka-an Valve Basa (%)	Error (%)	Buka-an Valve Basa (%)	Error (%)	Buka-an Valve Basa (%)
1	2	-23	10	4	31	-2	30	-1	31
1	2	-23	7	5	31	-2	26	0	31
23	2	-22	7	5	34	-1	27	0	30
24	51	-21	10	4	34	-1	30	-1	30
23	55	-20	7	3	35	0	30	0	31
20	54	-18	7	1	34	0	30	0	30
17	51	-16	14	0	30	1	31	1	31
12	50	-14	14	-1	30	0	30	0	6
5	42	-12	15	-1	27	0	27	0	2
0	34	-9	15	-2	27	-1	31	0	2
-6	31	-7	18	-2	27	-1	31		
-10	23	-5	23	-3	26	0	31		
-14	22	-3	23	-4	27	0	30		
-17	18	-1	27	-5	26	-1	30		
-19	11	0	27	-5	26	-1	30		
-21	11	1	27	-4	27	0	30		
-21	11	2	30	-4	23	0	30		
-22	7	3	30	-3	27	-1	30		

Data Training JST didapat dari data close loop (Fahmy, 2006). Nilai error didapat dari persamaan berikut:

$$\text{Error} = \frac{\text{set point} - \text{process variabel}}{\text{spansensor}} \times 100\%$$



Dengan nilai setpoint pH = 6,5

dan span sensor (pH 1 - pH 12) = 11

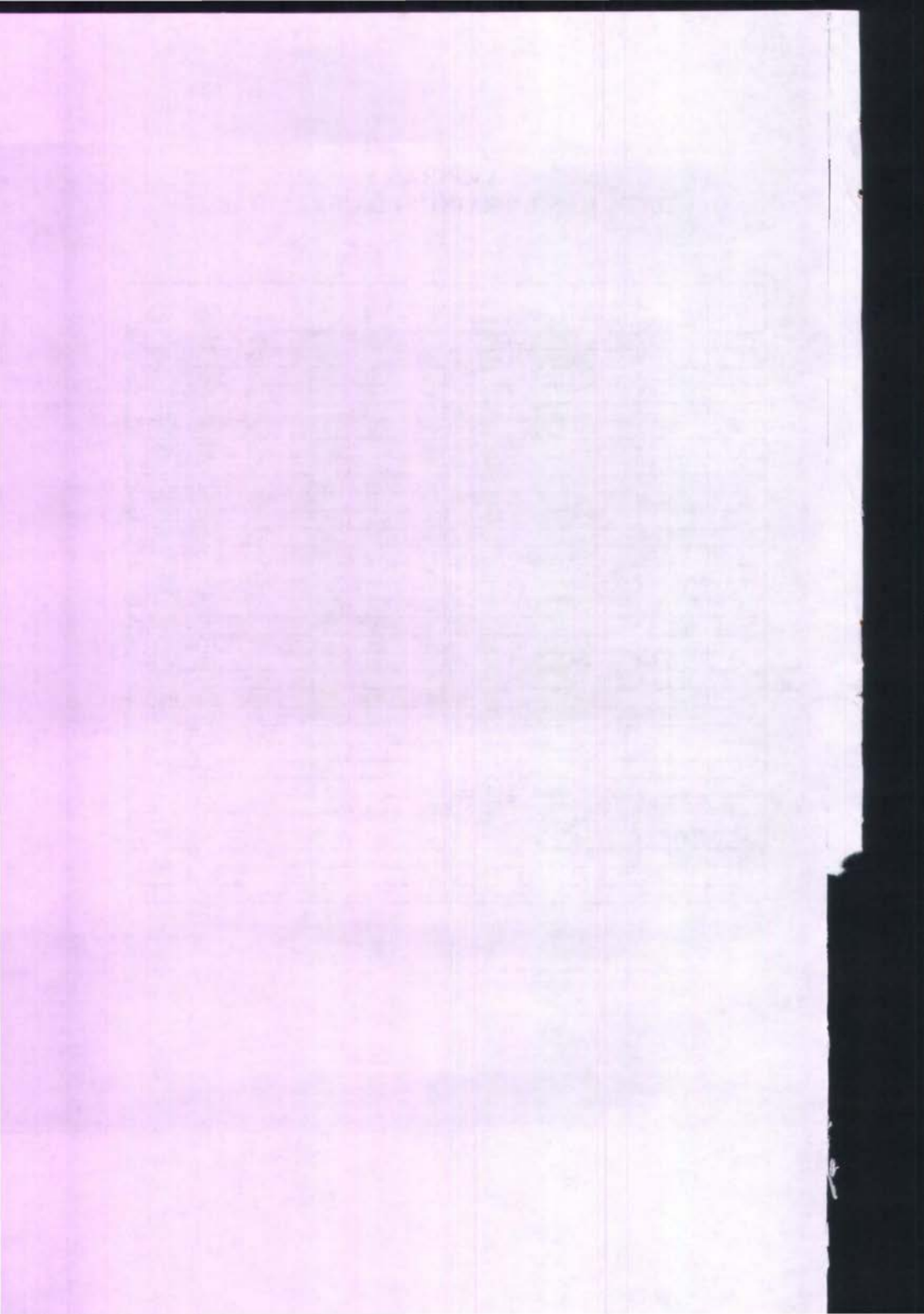
JST hanya bisa menerima sinyal masukan antara -1 sampai dengan +1.

Agar data error bisa digunakan untuk proses training, maka data tersebut harus dinormalisasi dengan cara dibagi dengan data error terbesar yakni dibagi dengan angka 24. Hal yang sama berlaku juga untuk data persen bukaan valve, sehingga data persen bukaan valve dinormalisasi dengan cara dibagi dengan data persen bukaan valve terbesar yakni dibagi dengan angka 55. Sehingga hasil normalisasinya adalah sebagai berikut:

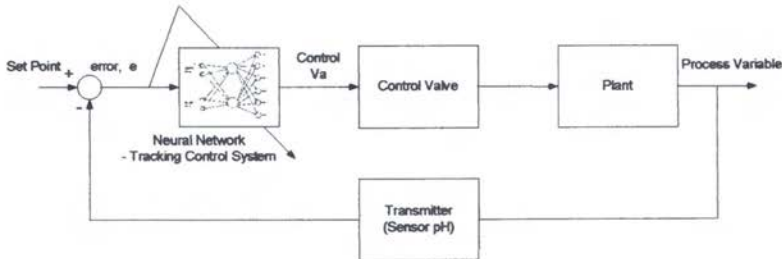
Error (%)	Bukaan Valve Basa (%)	Error (%)	Bukaan Valve Basa (%)	Error (%)	Bukaan Valve Basa (%)	Error (%)	Bukaan Valve Basa (%)	Error (%)	Bukaan Valve Basa (%)
0.0417	0.0364	-0.9583	0.1818	0.1667	0.5636	-0.0833	0.5455	-0.0417	0.5636
0.0417	0.0364	-0.9583	0.1273	0.2083	0.5636	-0.0833	0.4727	0.0000	0.5636
0.9583	0.0364	-0.9167	0.1273	0.2083	0.6182	-0.0417	0.4909	0.0000	0.5455
1.0000	0.9273	-0.8750	0.1818	0.1667	0.6182	-0.0417	0.5455	-0.0417	0.5455
0.9583	1.0000	<b>-0.8333</b>	0.1273	<b>0.1250</b>	0.6364	0.0000	0.5455	0.0000	<b>0.5636</b>
0.8333	0.9818	-0.7500	0.1273	0.0417	0.6182	0.0000	0.5455	0.0000	0.5455
0.7083	0.9273	-0.6667	0.2545	0.0000	0.5455	0.0417	0.5636	0.0417	0.5636
0.5000	0.9091	-0.5833	0.2545	-0.0417	0.5455	0.0000	0.5455	0.0000	0.1091
0.2083	0.7636	-0.5000	0.2727	-0.0417	0.4909	0.0000	0.4909	0.0000	0.0364
0.0000	0.6182	-0.3750	0.2727	-0.0833	0.4909	-0.0417	0.5636	0.0000	0.0364
-0.2500	0.5636	-0.2917	<b>0.3273</b>	-0.0833	<b>0.4909</b>	-0.0417	0.5636		
-0.4167	0.4182	-0.2083	0.4182	-0.1250	0.4727	0.0000	0.5636		
-0.5833	0.4000	<b>-0.1250</b>	0.4182	-0.1667	0.4909	0.0000	0.5455		
-0.7083	0.3273	-0.0417	0.4909	-0.2083	0.4727	-0.0417	0.5455		
-0.7917	0.2000	0.0000	0.4909	-0.2083	0.4727	-0.0417	0.5455		
-0.8750	0.2000	0.0417	0.4909	-0.1667	0.4909	0.0000	0.5455		
-0.8750	0.2000	0.0833	0.5455	<b>-0.1667</b>	<b>0.4182</b>	<b>0.0000</b>	<b>0.5455</b>		
-0.9167	0.1273	0.1250	0.5455	-0.1250	0.4909	-0.0417	0.5455		

## LAMPIRAN F DATA HASIL TRAINING DAN VALIDASI

no	hidd en	$\alpha$	$\mu$	RMSE Training	EPOCH	RMSE Validasi	no	hidd en	$\alpha$	$\mu$	RMSE Training	EPOCH	RMSE Validasi
1	6	0.05	0.7	0.03	2298	0.077271	33	20	0.05	0.7	0.03	2334	0.077422
2			0.5	0.03	2302	0.077607	34			0.5	0.03	2327	0.077108
3			0.3	0.03	2327	0.079509	35			0.3	0.03	2321	0.076766
4			0.1	0.03	2283	0.077264	36			0.1	0.03	2326	0.076736
5		0.1	0.7	0.03	2257	0.076658	37		0.1	0.7	0.03	2282	0.075776
6			0.5	0.03	2275	0.076619	38			0.5	0.03	2266	0.07584
7			0.3	0.03	2257	0.076657	39			0.3	0.03	2284	0.075772
8			0.1	0.03	2271	0.076589	40			0.1	0.03	2267	0.075981
9		0.4	0.7	0.03	2222	0.079542	41		0.4	0.7	0.03	2326	0.076133
10			0.5	0.03	2142	0.092358	42			0.5	0.03	2085	0.096146
11			0.3	0.03	2107	0.091253	43			0.3	0.03	2045	0.104757
12			0.1	0.03	2106	0.098027	44			0.1	0.03	2106	0.091822
13		0.7	0.7	0.03	2199	0.092704	45		0.7	0.7	0.03	2238	0.082895
14			0.5	0.03	2161	0.097151	46			0.5	0.03	2237	0.08293
15			0.3	0.03	2161	0.09715	47			0.3	0.03	2238	0.082913
16			0.1	0.03	2161	0.09715	48			0.1	0.03	2236	0.082975
17	10	0.05	0.7	0.03	2318	0.077633	49	30	0.05	0.7	0.03	2339	0.076682
18			0.5	0.03	2308	0.077455	50			0.5	0.03	2330	0.076064
19			0.3	0.03	2299	0.077298	51			0.3	0.03	2337	0.076069
20			0.1	0.03	2298	0.077342	52			0.1	0.03	2339	0.076512
21		0.1	0.7	0.03	2256	0.076534	53		0.1	0.7	0.03	2298	0.07574
22			0.5	0.03	2241	0.076654	54			0.5	0.03	2179	0.078107
23			0.3	0.03	2319	0.076348	55			0.3	0.03	2232	0.076431
24			0.1	0.03	2317	0.076433	56			0.1	0.03	2211	0.077217
25		0.4	0.7	0.03	2054	0.111201	57		0.4	0.7	0.03	2308	0.077251
26			0.5	0.03	2101	0.092175	58			0.5	0.03	2103	0.098054
27			0.3	0.03	2082	0.104249	59			0.3	0.03	2305	0.07741
28			0.1	0.03	2105	0.09097	60			0.1	0.03	2108	0.09459
29		0.7	0.7	0.03	2161	0.097151	61		0.7	0.7	0.03	2232	0.082755
30			0.5	0.03	2161	0.097151	62			0.5	0.03	2236	0.082652
31			0.3	0.03	2161	0.097152	63			0.3	0.03	2233	0.082724
32			0.1	0.03	2161	0.128873	64			0.1	0.03	2234	0.082721



**LAMPIRAN G**  
**BLOK DIAGRAM SISTEM PENGENDALIAN pH DAN**  
**FUNGSI TRANSFER**



Fungsi Transfer Transmitter (Sensor pH):

$$\frac{G_t}{1 + \tau s}$$

dengan,  $G_t = \frac{\Delta Out}{\Delta in} = \frac{0,564(volt)}{11(pH)} = 0,0512$

$$\tau = 5 \times 0,623 = 3,115$$

Sehingga Fungsi Transfer Transmitter (Sensor pH) adalah:

$$\frac{0,0512}{1 + 3,115s}$$

Fungsi Transfer Control Valve Basa:

$$\frac{G_v}{1 + \tau s}$$

dengan,  $G_v = 1$

$$\tau = 4 \times 0,623 = 2,492$$

Sehingga Fungsi Transfer Control Valve Basa:

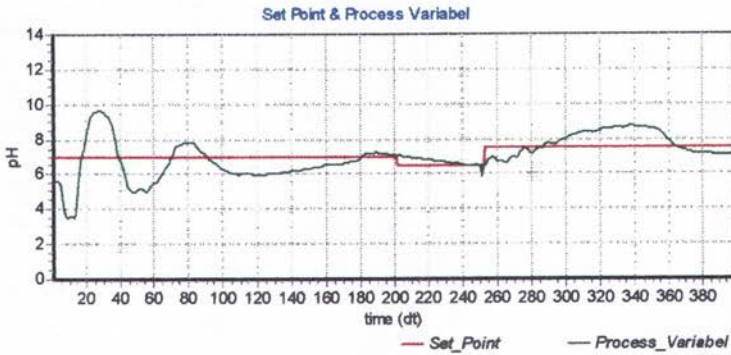
$$\frac{1}{1 + 2,492s}$$



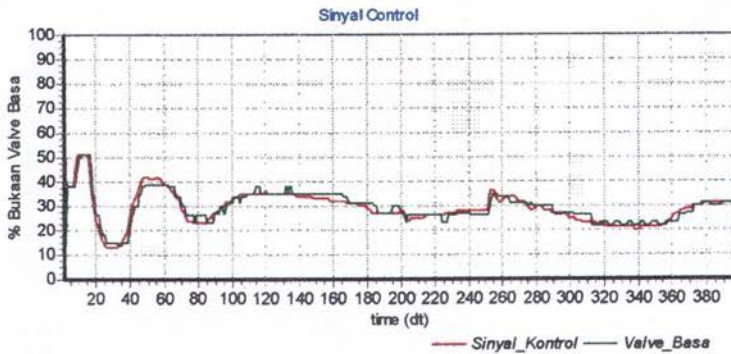


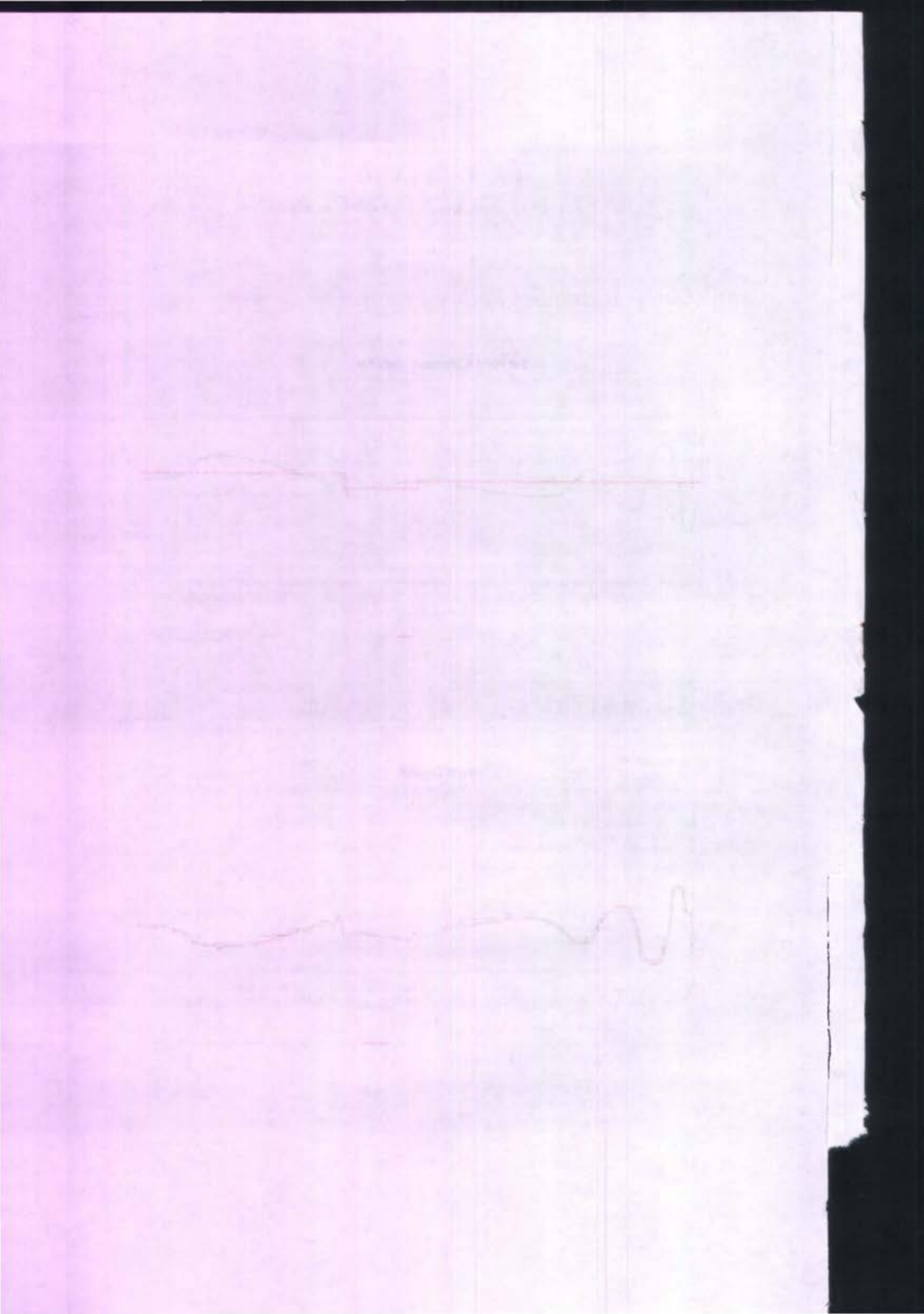
## LAMPIRAN H GRAFIK UJI TRACKING SET POINT

Grafik Uji Tracking Set Point



Grafik Sinyal Kontrol Uji Tracking Set Point





**LAMPIRAN I**  
**GAMBAR KOMPONEN MINIPLANT SISTEM**  
**PENGENDALIAN pH**

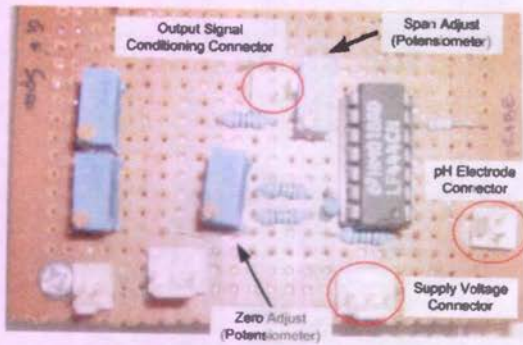


Gambar pH Electrode Type PE-11 (Sensor pH)

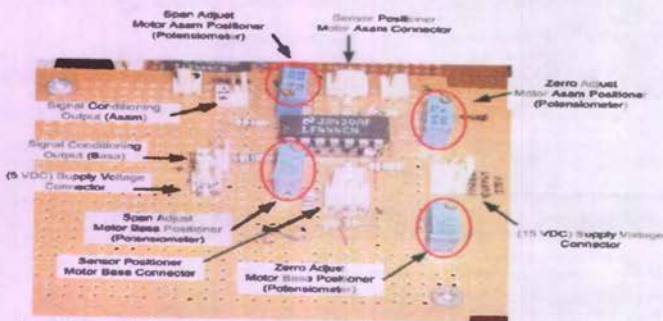
Tabel Datasheet pH Electrode Type PE-11

Features	Fast Response time, general purpose, laboratory & field usage
Measuring Range	1 to 13 pH (typical 0 to 14 pH)
Measuring Temperature	5 to 60C (41 to 140 F)
Electrode Structure	Combination Type
Zero Potential for pH Value	71 pH
Body Material	Epoxy
Connector	BNC
Mechanical Protection	With protection bottle on the electrode head
Dimensions	Body length = 130 mm Body Diameter = 10 mm Cable Length = 1000 mm
Applications	Water Conditioning, aquariums, beverage, fish, hatcheries, food processing, photography, laboratory, paper industry, plating industry, quality control, school & college

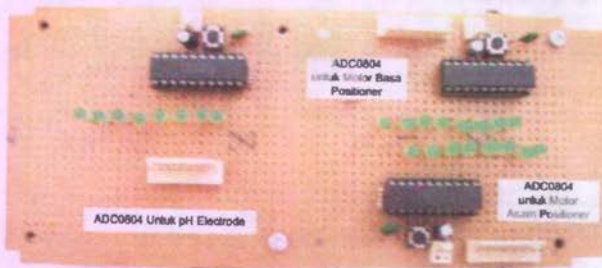




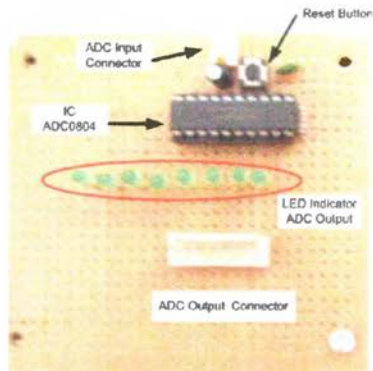
Gambar Rangkaian Pengkondisi Sinyal Untuk pH Electrode



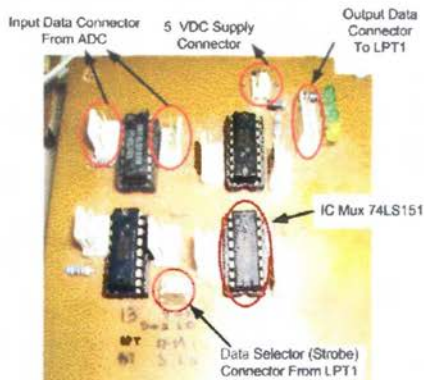
Gambar Rangkaian Pengkondisi Sinyal Untuk Motor Positioner



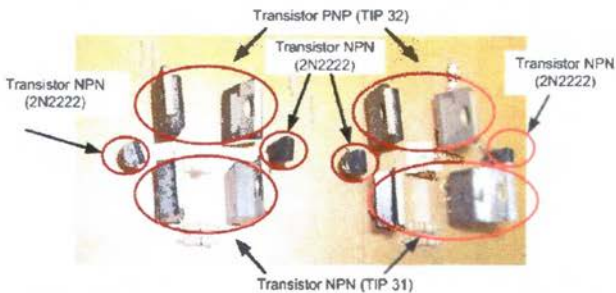
Gambar Rangkaian ADC



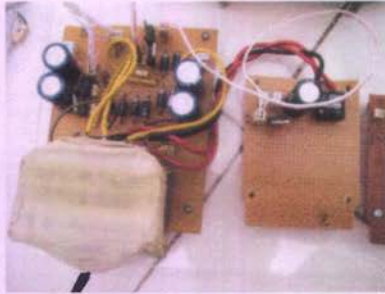
Gambar Rangkaian ADC Detail



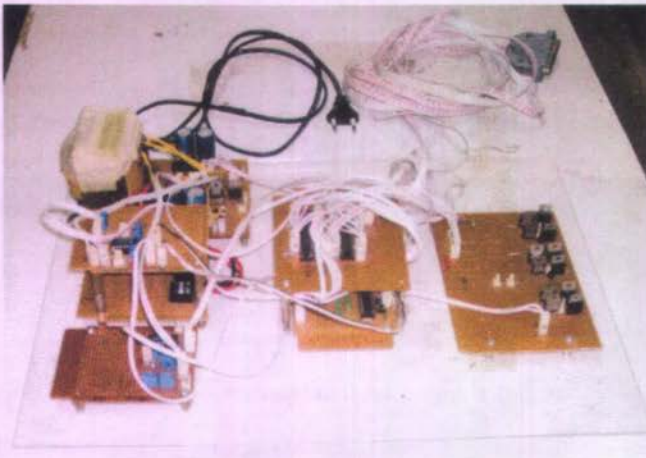
Gambar Rangkaian Multiplexer 74LS151



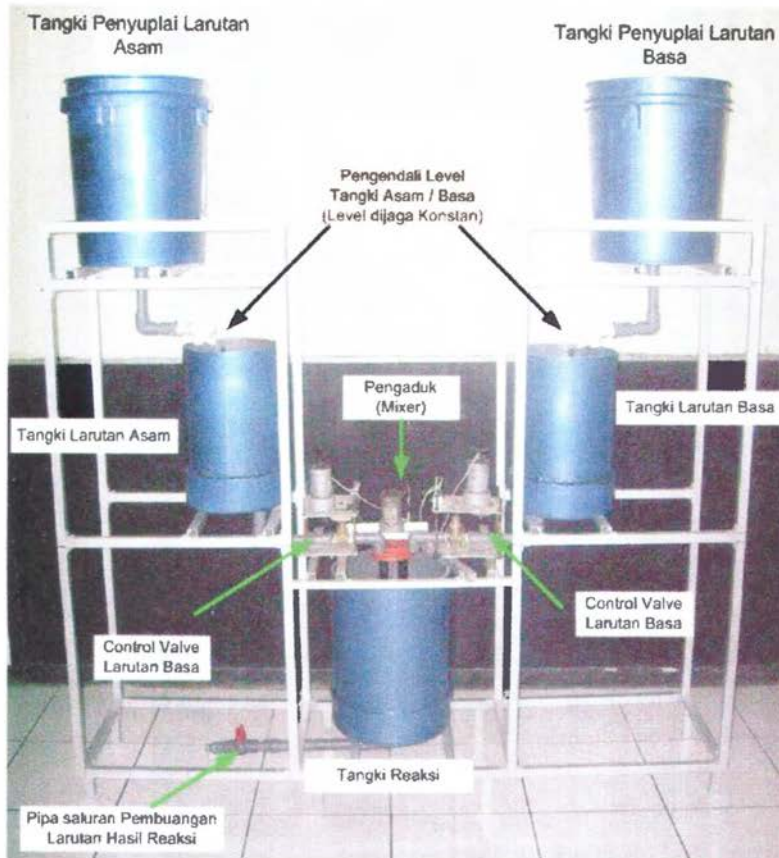
Gambar Rangkaian Driver Motor Asam dan Motor Basa



Gambar Rangkaian Power Supply



Gambar Rangkaian Tugas Akhir



Gambar Miniplant Sistem Pengendalian pH

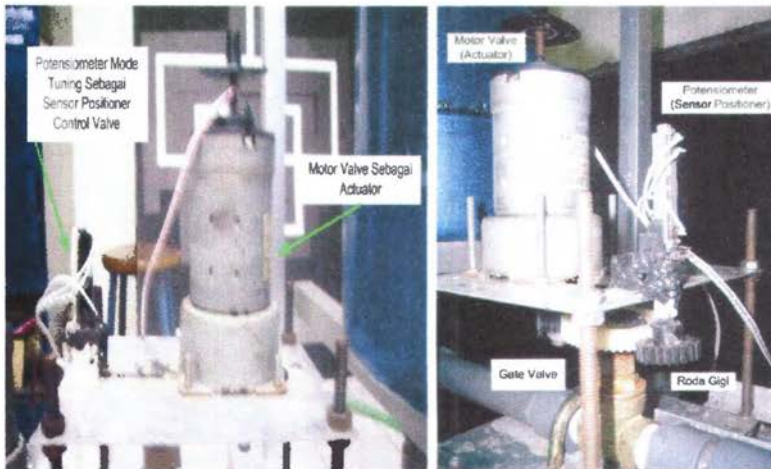




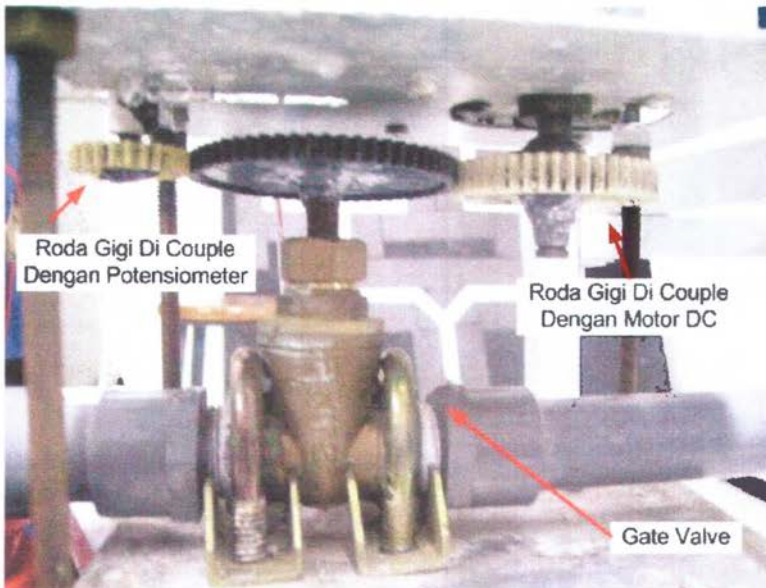
**Gambar Control Valve dan Mixer**



**Gambar Control Valve**



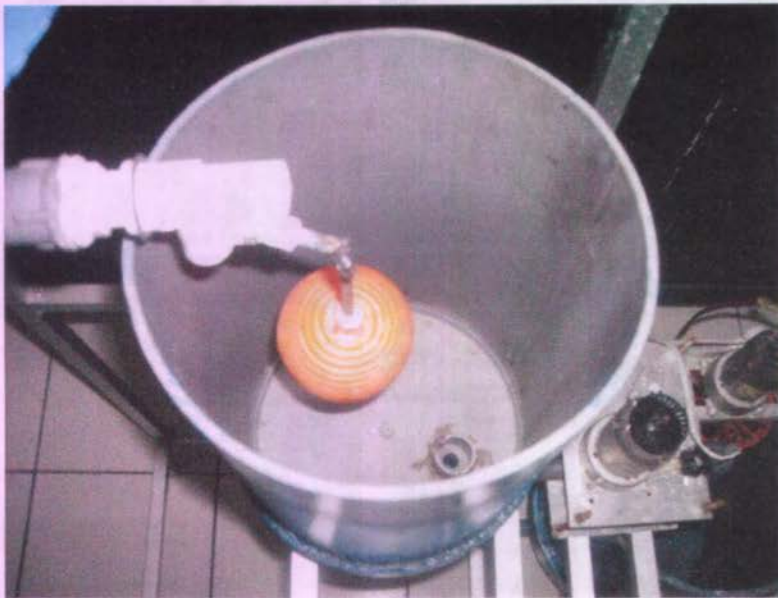
Gambar Motor Valve (Actuator) dan Potensiometer (Sensor Positioner)



Gambar Roda Gigi (Couple) dan Gate Valve



Gambar Pengaduk (Mixer)



Gambar Pengendali Level Tangki Larutan Asam dan Basa

## LAMPIRAN J

### PEMBUATAN LARUTAN ASAM DAN LARUTAN BASA

#### Pembuatan Larutan Asam

$$\rho_{HCl} = 1.19 \frac{gr}{cm^3} = 1.19 \frac{gr}{ml} = 1.19 \times 1000 \frac{gr}{l} \quad ; \quad Mr \text{ HCl} = 36,46$$

Jika kadar HCl pekat adalah 32 %, maka nilai Molaritasnya (Konsentrasi) adalah sebagai berikut:

$$M_{HCl} = \frac{\rho_{HCl} \times \text{persen kadar HCl}}{Mr \text{ HCl}} = \frac{1.19 \text{ gr ml}^{-1} \times 32\%}{36.46 \text{ gr mol}^{-1}}$$

$$M_{HCl} = \frac{1.19 \text{ gr l}^{-1} \times 32 \times 1000}{36.46 \text{ gr mol}^{-1} \times 100} = \frac{1.19 \times 32 \times 10 \text{ mol}}{36.46 \text{ l}} = 10.44M$$

Jika ingin membuat 10 liter larutan Asam (HCl) dengan konsentrasi 0,1M maka dapat dicari dengan cara sebagai berikut:

$$V_1 \cdot M_1 = V_2 \cdot M_2$$

dengan,

$V_1$  = Volume HCl yang akan diencerkan (liter)

$V_2$  = Volume larutan HCl yang diinginkan (liter)

$M_1$  = Molaritas (Konsentrasi) HCl yang akan diencerkan

$M_2$  = Konsentrasi HCl yang diinginkan

$$V_1 \times 10.44M = 10 \text{ liter} \times 0.1M$$

$$V_1 = 0.09578 \text{ liter} = 95.78 \text{ ml}$$

Artinya bahwa untuk mendapatkan larutan HCl 0.1M, maka diperlukan 95.78 ml HCl pekat untuk diencerkan dengan menggunakan Aquades hingga 10 liter.



J-2

### Pembuatan Larutan Basa

$$\rho_{\text{NaOH}} = 1.5 \frac{\text{gr}}{\text{cm}^3} = 1.5 \frac{\text{gr}}{\text{ml}} = 1.5 \times 1000 \frac{\text{gr}}{\text{l}} ; \text{Mr NaOH} = 40$$

Jika kadar NaOH pekat adalah 48%, maka nilai Molaritasnya (Konsentrasi) adalah sebagai berikut:

$$M_{\text{NaOH}} = \frac{\rho_{\text{NaOH}} \times \text{persen kadar NaOH}}{\text{Mr NaOH}} = \frac{1.5 \text{ gr ml}^{-1} \times 48\%}{40 \text{ gr mol}^{-1}}$$

$$M_{\text{NaOH}} = \frac{1.5 \text{ gr l}^{-1} \times 48 \times 1000}{40 \text{ gr mol}^{-1} \times 100} = \frac{1.5 \times 48 \times 10 \text{ mol}}{40 \text{ l}} = 18 \text{ M}$$

Jika ingin membuat 10 liter larutan Basa (NaOH) dengan konsentrasi 0,1M maka dapat dicari dengan cara sebagai berikut:

$$V_1 \cdot M_1 = V_2 \cdot M_2$$

dengan,

$V_1$  = Volume NaOH yang akan diencerkan (liter)

$V_2$  = Volume larutan NaOH yang diinginkan (liter)

$M_1$  = Konsentrasi NaOH yang akan diencerkan

$M_2$  = Konsentrasi NaOH yang diinginkan

$$V_1 \times 18 \text{ M} = 10 \text{ liter} \times 0.1 \text{ M}$$

$$V_1 = 0.05555 \text{ liter} = 55.55 \text{ ml}$$

Artinya bahwa untuk mendapatkan larutan NaOH 0.1M, maka diperlukan 55.55 ml NaOH pekat untuk diencerkan dengan menggunakan Aquades hingga 10 liter.